

PROJEKT:

Glasbrüstungssystem Defender DF810DK (DE)

INHALT:

01 Ermittlung Widerstände des Systems mittels statischer Bemessung

REV.: 00

DATUM: 13/12/2023

Auftraggeber:

Logli Massimo S.p.A
Via Giovanni Bensi, 8
I - 20152 Milano

solidic
STRUCTURAL ENGINEERING

Nicolodistraße 39
I-39100 Bozen (BZ)

T +39 0471 180 00 23

info@solidic.it

www.solidic.it

Bearbeiter

DI Felix Bertagnolli



Felix Bertagnolli

Änderungen

REV.	Datum	Bearbeiter	Kommentare
00	13.12.2023	BF	Erstfassung

INHALTSVERZEICHNIS

1	Grundlagen.....	5
1.1	Beschreibung.....	5
1.2	Aufstellungsort.....	8
1.3	Lebensdauer.....	8
1.4	Statisches Konzept.....	8
1.5	Berücksichtigte Grenzzustände.....	8
1.6	Absturzsicherheit - Pendelschlagversuch.....	8
1.7	Geometrie.....	9
1.8	Normative Grundlagen Deutschland.....	13
1.8.1	Allgemeines.....	13
1.8.2	Lastannahmen.....	13
1.8.3	Aluminium.....	13
1.8.4	Glasbau.....	13
1.9	Teilsicherheitsbeiwerte auf der Einwirkungsseite laut DIN.....	14
1.10	Dauerhaftigkeit lt. EN 1990 2.4.....	14
1.11	Verwendete Programme.....	14
2	Materialien.....	15
2.1	Aluminium nach EN 1999-1-1.....	15
2.2	Glas nach DIN 18008.....	17
2.3	Zwischenfolie.....	17
2.3.1	PVB.....	17
2.3.2	SGP-Folie.....	18
3	Lasten.....	19
3.1	Horizontale Holmlast.....	19
3.2	Lastkombination Holm + Wind.....	19

4	Statische Berechnung.....	20
4.1	Glasbemessung.....	20
4.1.1	Allgemeines.....	20
4.1.2	Glasbemessung mit Mepla	24
4.1.3	Ergebnistabellen Glasbemessung DF810DK - Lasten nach außen.....	30
4.1.4	Ergebnistabellen Glasbemessung DF810DK - Lasten nach innen	37
4.2	Bemessung Aluminiumprofil.....	41
4.2.1	Allgemeine Informationen	41
4.2.2	Ergebnistabellen Profilbemessung DF810DK - nach außen.....	43
4.2.3	Ergebnistabellen Profilbemessung DF810DK - nach innen	45
5	Zusammenfassung Ergebnisse Glas- und Profilbemessung	47
5.1	Maximale zusätzlich zur Holmlast aufnehmbare Windlast wk.....	47
5.2	Zusammenfassung Systemwiderstand für Holmlasten	50
5.3	Reaktionskräfte Verankerung	52
	Anhang - Numerische Berechnung	54
a)	Grundlagen der numerischen Berechnung	54
b)	Ergebnisse numerische Berechnung DF810DK	60

1 Grundlagen

1.1 Beschreibung

Auf den folgenden Seiten ist die Ermittlung der maximalen Traglast des Ganzglasgeländers **Defender DF810DK** der Firma **Massimo Logli** für die Anwendung in Deutschland (DE) dokumentiert. Die Berechnung des Brüstungssystems (Glas + Basisprofil in Aluminium) erfolgt nach den in Deutschland geltenden Vorschriften und dem Stand der Technik. Das absturzsichernde Glasgeländer entspricht einer unten eingespannten Glasbrüstung der Kategorie B nach DIN 18008-4. Die statischen Berechnungen wurden unter Berücksichtigung einer variablen Brüstungshöhe von 600 mm bis 1600 mm für eine lineare Holmlast h_k von 0.5 kN/m, 1.0 kN/m und 2.0 kN/m in Absturzrichtung sowie für 0.50 kN/m und 1.0 kN/m entgegen der Absturzrichtung entsprechend der DIN EN 1991-1-1.NA durchgeführt. Die minimale Glasbreite in den Berechnungen beträgt 500 mm. Bei absturzsichernden Einbausituationen (Kat. B lt. DIN 18008-4) sind zusätzlich die minimalen und maximalen Abmessungen aus der **AbP-P-2023-3022** (Absturzsicherheit) einzuhalten.

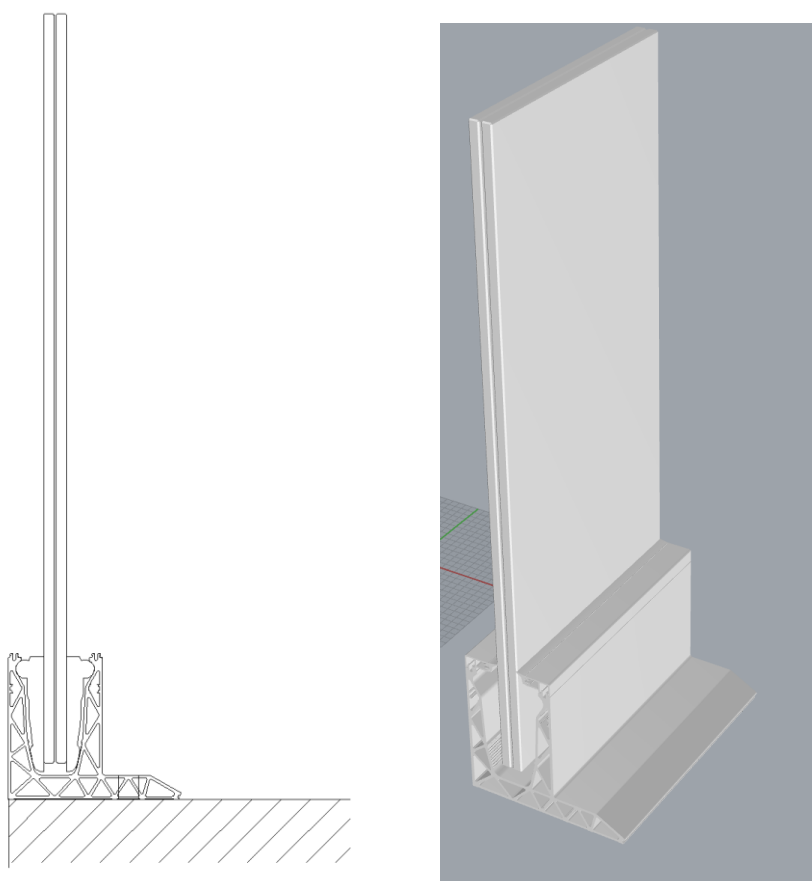
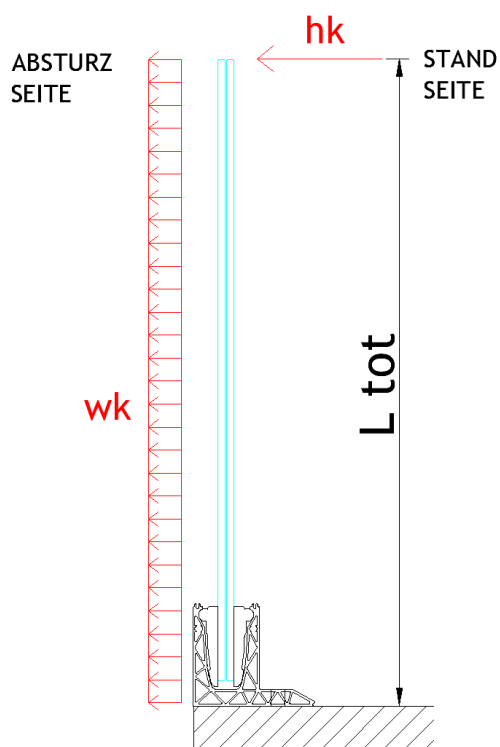


Abb: Brüstungssystem Defender DF810DK

Die Referenzhöhen L_{tot} in den Ergebnistabellen und -grafiken beziehen sich für das System DF810DK auf den Abstand von Oberkante Glas bis zum tragenden Untergrund, auf dem das Profil befestigt ist - siehe nachfolgende Grafik:



Die berechneten Glasaufbauten für den Einsatz mit dem Profil Defender DF810DK sind folgende:

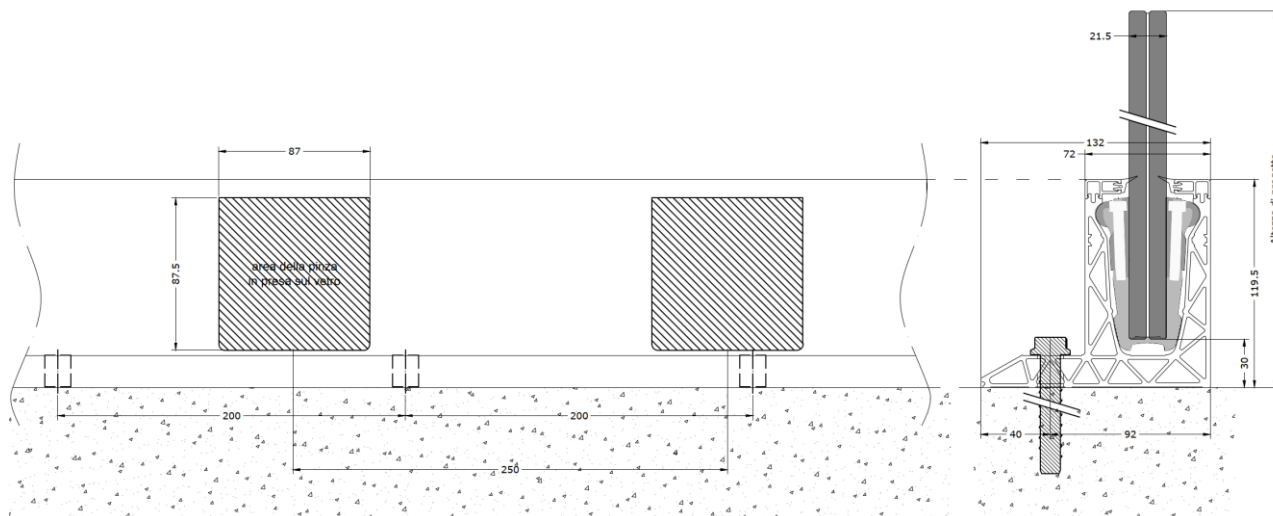
- VSG aus 8+8 ESG mit ≥ 0.76 mm PVB-Folie
- VSG aus 10+10 ESG mit ≥ 0.76 mm PVB-Folie
- VSG aus 8+8 ESG mit ≥ 0.76 mm SGP-Folie
- VSG aus 10+10 ESG mit ≥ 0.76 mm SGP-Folie

Der Einsatz von ESG-H wird empfohlen.

Die Bemessung berücksichtigt Glas ohne Oberflächenbehandlungen. Der Einsatz von Emailierungen und Siebdrucken ist projektbezogen zu untersuchen.

Für die Glasbemessung mit PVB-Folie ist entsprechend den Vorgaben aus der DIN 18008-1 kein Schubverbund angesetzt worden. Für die SGP-Folie ist ein Schubverbund je nach Einsatzort- und Zweck und maximaler Zwischenschichttemperatur entsprechend der AbZ-Z-70.3-253 berücksichtigt - siehe entsprechende nachfolgende Kapitel.

Die Fixierung der Scheibe im Aluminiumprofil erfolgt über lokale Kunststoffklemmen, welche alle ≤ 250 mm vorgesehen werden müssen, bei einem Randabstand von ≤ 125 mm. Dies ist in der Glasbemessung entsprechend als lokale Linienlagerung berücksichtigt worden.



Das Strangpressprofil in Aluminium DF810DK wird aus der Legierung EN AW6063-T6 hergestellt und ist mittels Dübel oder anderen geeigneten mechanischen Verbindungsmitteln im Abstand von maximal 200 mm am Untergrund zu befestigen.

Der Nachweis der Befestigungsmittel ist nicht Teil dieses Dokumentes und muss projektbezogen entsprechend den vorherrschenden Randbedingungen durch einen qualifizierten Techniker erfolgen.

Alle Kanten der Brüstung sind zu schützen. Der maximale Abstand zwischen den Verglasungen muss ≤ 30 mm betragen. An der Oberkante der Verglasung ist ein **Handlauf bzw. Kantenschutz** vorzusehen entsprechend den Vorgaben der DIN 18008-4 bzw. des **AbP-P-2023-3022**. Alle Vorgaben des AbP sind einzuhalten.

Es ist außerdem der Nachweis des **Ausfalls** einer Scheibe nach DIN 18008-4, Abschnitt 6.1.2 geführt und in den Ergebnistabellen und -grafiken entsprechend berücksichtigt (Minimum aus Berechnung im GZT und als Ausfall). Da alle Kanten zu schützen sind, wird nur der Ausfall der stoßzugewandten Scheibe als außergewöhnliche Lastsituation angesetzt.

Die Bestimmung, Bewertung und Kombination der horizontalen Holmlasten, der Windlasten oder eventueller weiterer Lasten, die Überprüfung der maximalen baurechtlichen Geländerhöhe, die Bemessung der Befestigungsmittel **bzw. die generelle Eignung des Geländers für die Einbausituation** muss auf Basis des realen Ausführungsprojektes von einem qualifizierten Techniker gemäß den derzeit geltenden europäischen und deutschen Vorschriften durchgeführt werden.

1.2 Aufstellungsort

Deutschland

1.3 Lebensdauer

50 Jahre wie für gewöhnliche Tragwerke

1.4 Statisches Konzept

Das für die Berechnung der Brüstung verwendete statische System entspricht einem oben freien und an der Basis eingespanntem Kragarm mit doppelter Linienlagerung unten.

1.5 Berücksichtigte Grenzzustände

In der nachfolgend dokumentierten Berechnung werden folgende Grenzzustände berücksichtigt:

- Grenzzustand der Tragfähigkeit - Tragfähigkeit (ruhende Belastung)

1.6 Absturzsicherheit - Pendelschlagversuch

Die Absturzsicherheit (Pendelschlagversuch - weicher Stoß) wird über das bauaufsichtliche Prüfzeugnis **P-2023-3022** nachgewiesen und erfüllt. Alle Vorgaben des AbP sind einzuhalten.

1.7 Geometrie

Sistema per parapetti DF810DK21
per posa a pavimento con "piede laterale" di vetri stratificati 10.10/2 o 10.10/4 (in figura rappresentato 10.10/4)
alluminio 6063 T6

pinze e cunei in POM viti M6 in acciaio INOX
profili di finitura in alluminio

SCALA 1:2
misure in mm se non diversamente indicato

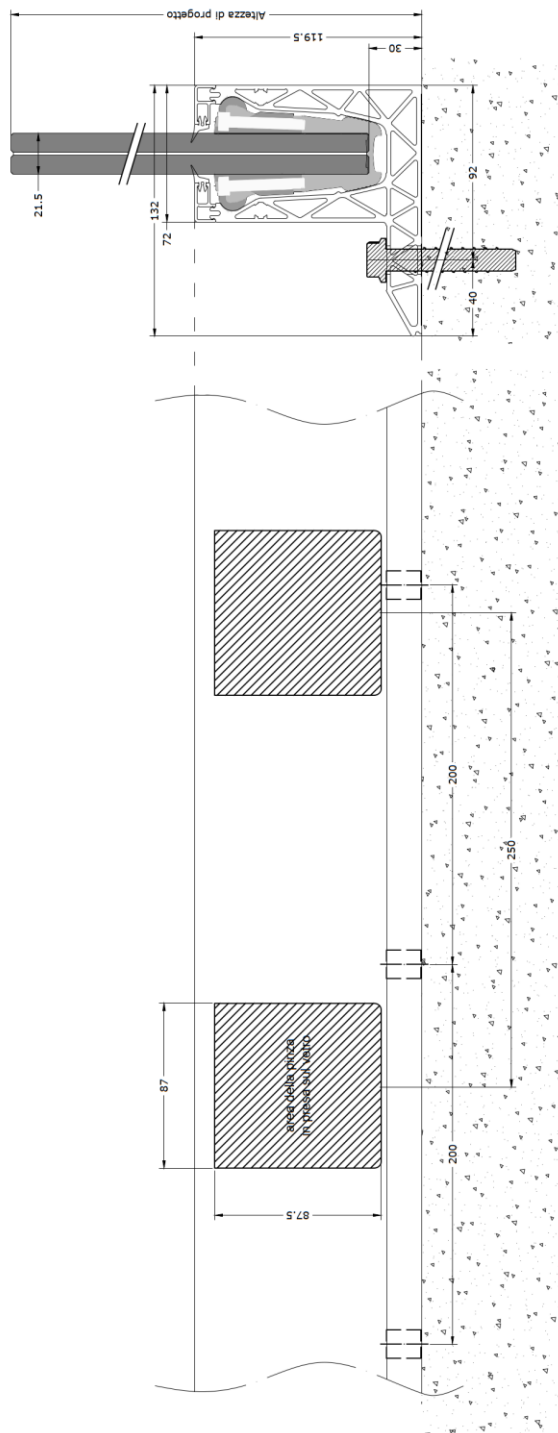


Abb: System DF810DK21

Sistema per parapetti DF810DK17
per posa a pavimento con "piede laterale" di vetri stratificati 8.8/2 o 8.8/4 (in figura rappresentato 8.8/4)
alluminio 6063 T6

pinze e cunei in POM viti M6 in acciaio INOX
profili di finitura in alluminio

SCALA 1:2
misure in mm se non diversamente indicato

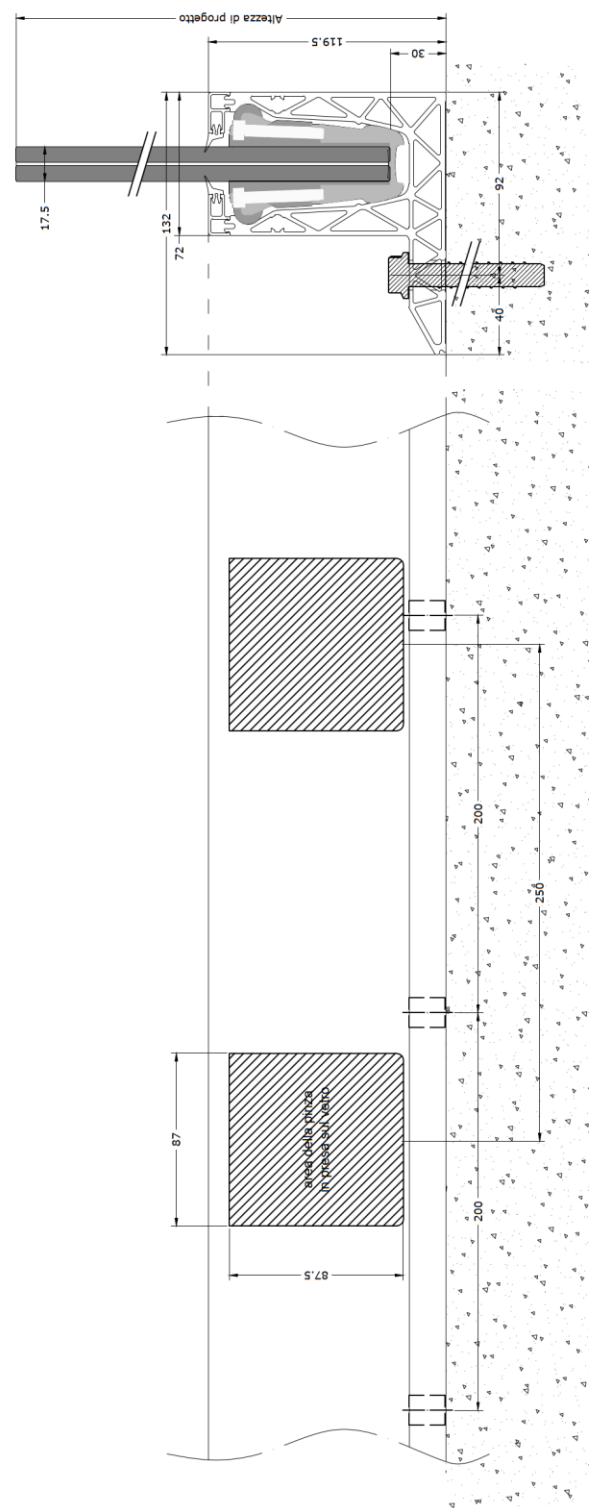


Abb: System DF810DK17

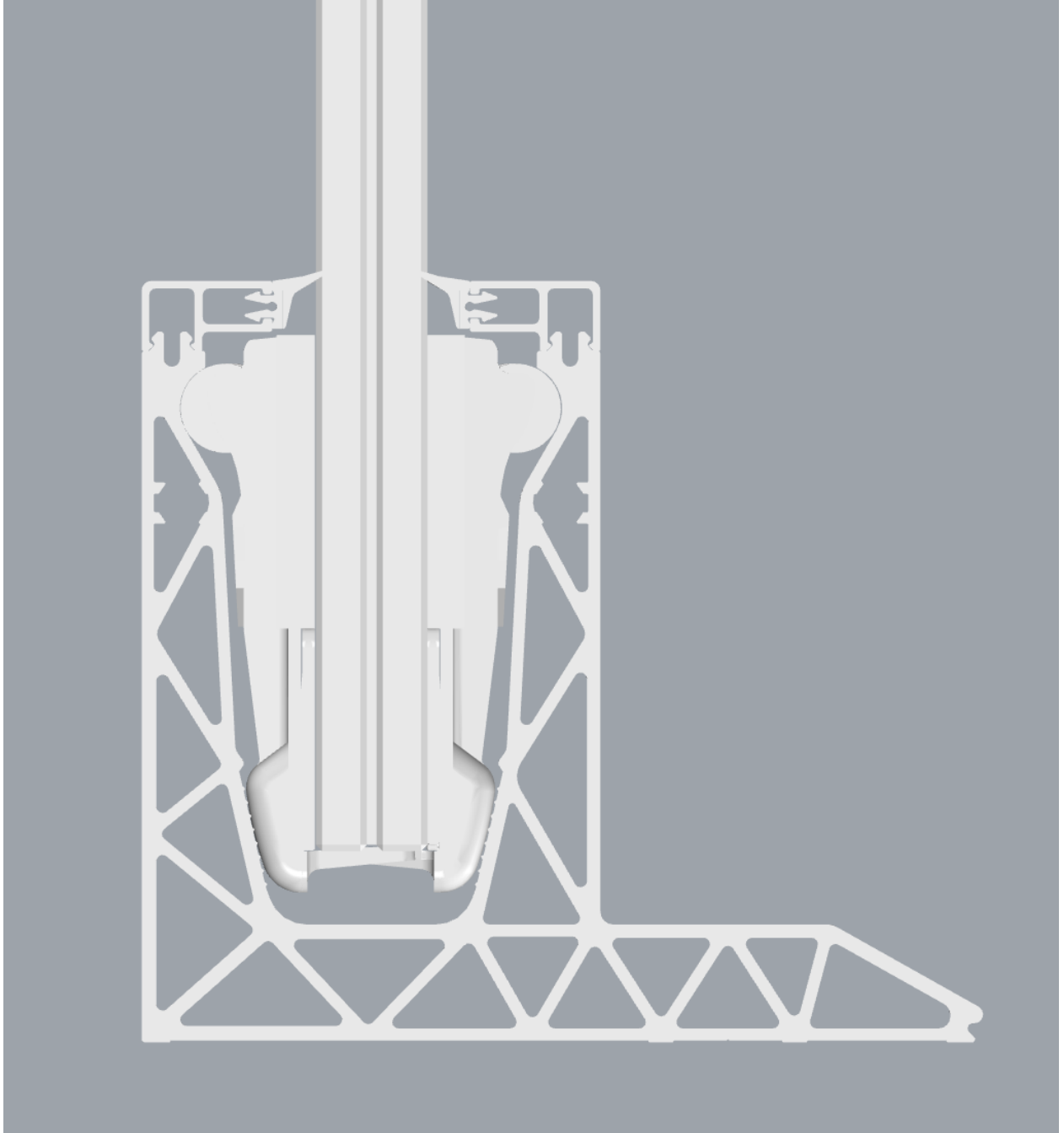


Abb: Querschnitt DF810DK

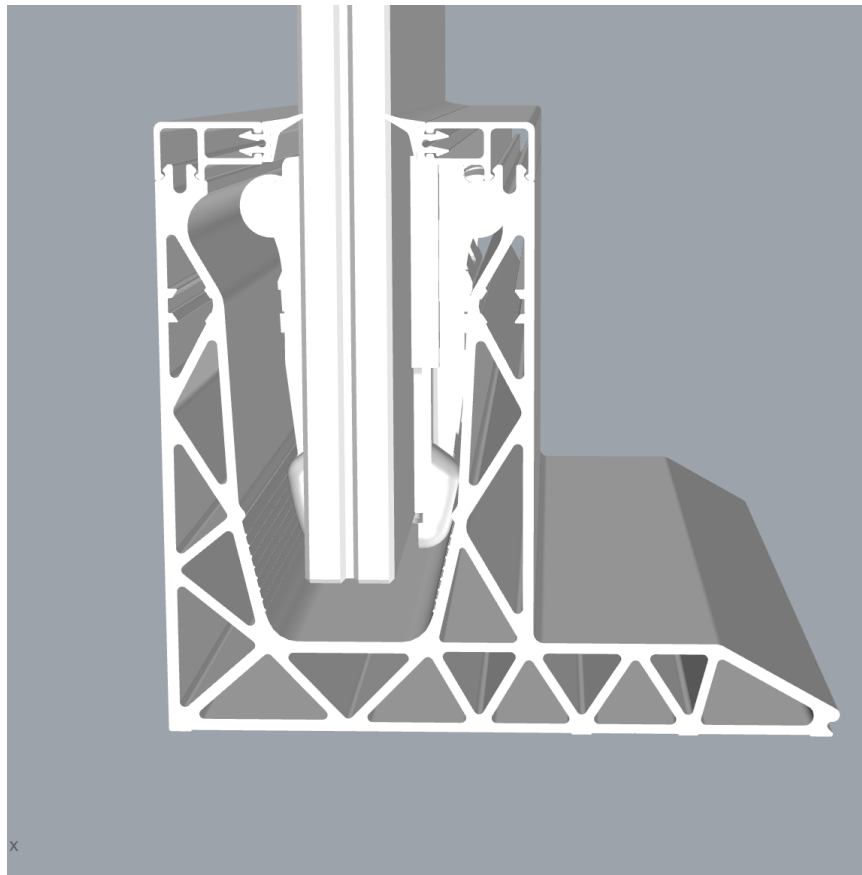
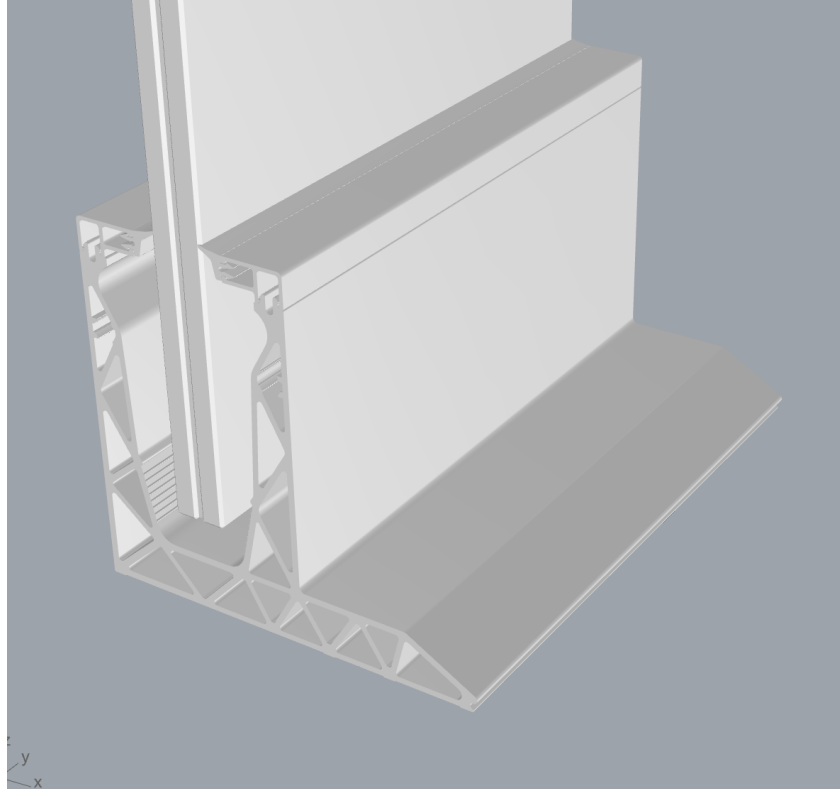


Abb: 3D-Ansichten DF810DK

1.8 Normative Grundlagen Deutschland

1.8.1 Allgemeines

EN 1090 Ausführung von Aluminium- und Stahltragwerken

DIN EN 1090-1	Teil1: Konformitätsnachweisverfahren für tragende Bauteile	02.2012
DIN EN 1090-2	Teil2: Technische Anforderungen an Tragwerke aus Stahl	09.2018
DIN EN 1090-3	Teil3: Technische Regeln für die Ausführung von Aluminiumtragwerken	07.2019

1.8.2 Lastannahmen

Eurocode 0: Grundlagen der Tragwerksplanung

DIN EN 1990	Grundlagen der Tragwerksplanung	10.2021
DIN EN 1990/NA	NAD Grundlagen der Tragwerksplanung	10.2012
DIN EN 1990/NA/A1	NAD Grundlagen der Tragwerksplanung	08.2012

Eurocode 1: Einwirkungen auf Tragwerke

DIN EN 1991-1-1	Teil 1-1: Allgemeine Einwirkungen - Wichten, Eigengewicht und Nutzlasten im Hochbau	12.2010
DIN EN 1991-1-1/NA	NAD Teil 1-1: Allgemeine Einwirkungen auf Tragwerke - Wichten, Eigengewicht und Nutzlasten im Hochbau	12.2010
DIN EN 1991-1-4	Teil 1-4: Allgemeine Einwirkungen - Windlasten	12.2010

1.8.3 Aluminium

Eurocode 9: Bemessung und Konstruktion von Aluminiumtragwerken

DIN EN 1999-1-1	Teil 1-1: Allgemeine Bemessungsregeln	03.2014
DIN EN 1999-1-1/NA	NAD Teil 1-1: Allgemeine Bemessungsregeln	03.2021
DIN EN 1999-1-5	Teil 1-5: Schalentragwerke	03.2017
DIN EN 1999-1-5/NA	NAD Teil 1-5: Schalentragwerke	12.2010

1.8.4 Glasbau

Glas im Bauwesen - Bemessungs- und Konstruktionsregeln

DIN 18008-1	Teil 1: Begriffe und allgemeine Grundlagen	12.2010
DIN 18008-2	Teil 2: Linienförmig gelagerte Verglasungen	12.2010
DIN 18008-2 Berichtigung 1	Teil 2: Linienförmig gelagerte Verglasungen	04.2011
DIN 18008-3	Teil 3: Punktförmig gelagerte Verglasungen	07.2013

DIN 18008-4	Teil 4: Zusatzanforderungen an absturzsichernde Verglasungen	07.2013
DIN 18008-5	Teil 5: Zusatzanforderungen an begehbare Verglasungen	07.2013

1.9 Teilsicherheitsbeiwerte auf der Einwirkungsseite laut DIN

Die Teilsicherheitsbeiwerte müssen ungünstig angesetzt werden.

Teilsicherheitsbeiwerte auf der Einwirkungsseite:

- Ständige Lasten 1.35/1.00
- Variable Lasten 1.50/0.00

1.10 Dauerhaftigkeit lt. EN 1990 2.4

Die in diesem Dokument vorgegebene Nutzung der Bauteile und deren Nutzungsdauer sind in der konstruktiven Ausbildung und bei Wahl des Korrosionsschutzes zu berücksichtigen. Inspektion und Instandhaltung der einzelnen Bauteile ist sicherzustellen, bzw. ein dauerhafter Korrosionsschutz vorzusehen.

1.11 Verwendete Programme

Programm	Softwarehaus/Lieferant	Version
Sofistik	Sofistik AG	2023
SMath Studio	SMath	1.0.8253
SJ Mepla	SJ Software GmbH	5.0.14
Microsoft Excel	Microsoft	365

2 Materialien

2.1 Aluminium nach EN 1999-1-1

Materialkennwerte für die für das Basisprofil verwendete Legierung **EN AW 6063-T6** und EP (extrudierte Profile) für $t \leq 25\text{mm}$:

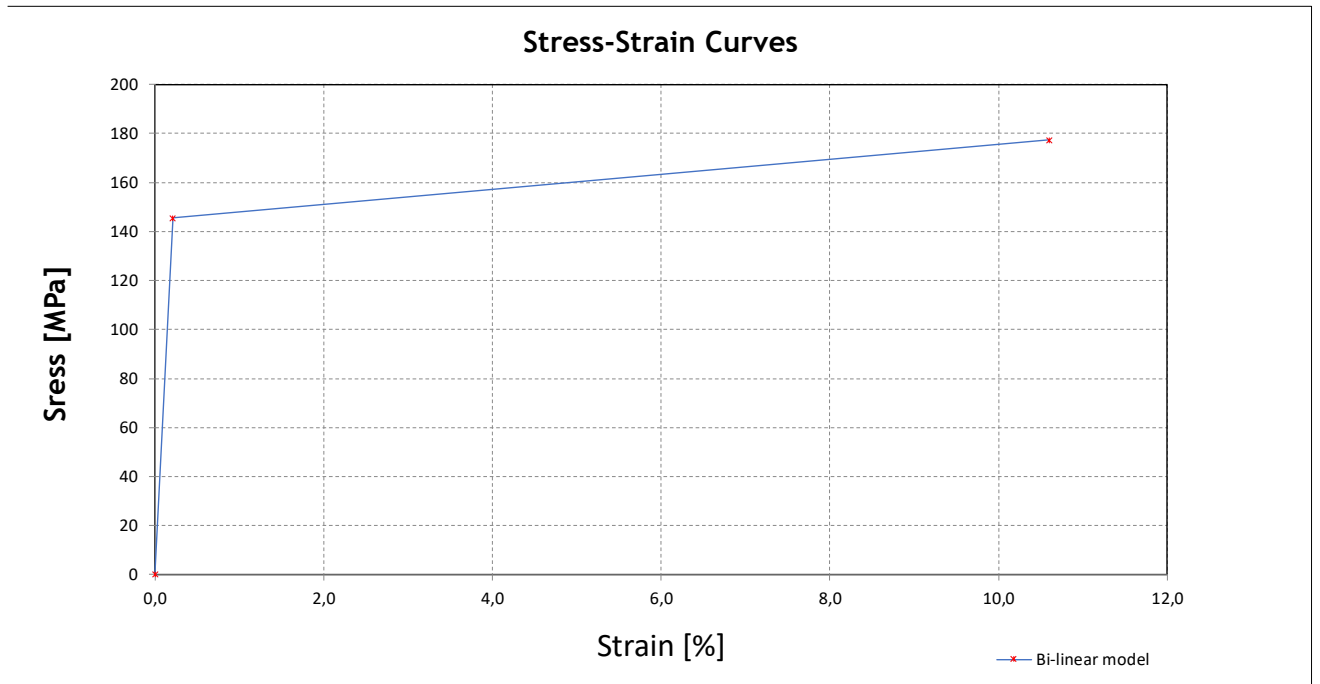
E-Modul:	$E=70000 \text{ N/mm}^2$
Querdehnzahl nach Poisson:	$\nu=0.30$
Thermischer Ausdehnungskoeffizient:	$\alpha=23 \cdot 10^{-6} \text{ 1/K}$
Dichte:	$\rho=2700 \text{ kg/m}^3$
Streckgrenze:	$f_{ok}=160 \text{ N/mm}^2$
Zugfestigkeit:	$f_{uk}=195 \text{ N/mm}^2$
Teilsicherheitsbeiwert Material:	$\gamma_m=1.10$

Für die numerische Berechnung des Profils mittels finiter Elemente ist ein bilineares elastisch-plastisches Materialgesetz mit Wiederverfestigung angesetzt:

Stress - Strain curves According to EN 1999-1-1 Annex E

Standard	Material	γ_M	E	$f_o = f_y$	$f_{Max} = f_u$	f_{od}	f_{ud}
DIN-EN 1999-1-1	EN AW 6063 T6 t ≤ 25	[-]	[N/mm ²]	[N/mm ²]	[N/mm ²]	[N/mm ²]	[N/mm ²]
		1,1	70000	160	195	145,455	177,2727

Bi-linear model



Formulas

$\sigma = E \times \epsilon$	<i>for</i> $0 \leq \epsilon \leq \epsilon_p$	(E.1)	<table border="1" style="width: 100%; text-align: center;"> <thead> <tr> <th colspan="2">Bi-linear model</th> </tr> <tr> <th>σ (MPa)</th> <th>ϵ</th> </tr> </thead> <tbody> <tr> <td>0</td> <td>0,0</td> </tr> <tr> <td>145,5</td> <td>0,20779</td> </tr> <tr> <td>177,3</td> <td>10,60000</td> </tr> </tbody> </table>	Bi-linear model		σ (MPa)	ϵ	0	0,0	145,5	0,20779	177,3	10,60000
Bi-linear model													
σ (MPa)	ϵ												
0	0,0												
145,5	0,20779												
177,3	10,60000												
$\sigma = f_p + E1 \times (\epsilon - \epsilon_p)$	<i>for</i> $\epsilon_p \leq \epsilon \leq \epsilon_{max}$	(E.2)											
$\epsilon_u = 0.3 - 0.22 \times \frac{f_o}{400}$	= 21,2	[%] (E.2.1.1)											
$\epsilon_p = \frac{f_o}{E}$	= 0,2078	[%]											
$\epsilon_{max} = 0.5 \times \epsilon_u$	= 10,600	[%]											
$E1 = \frac{(f_u - f_o)}{(\epsilon_u - \epsilon_p)}$	= 2	[N/mm ²]											

2.2 Glas nach DIN 18008

E-Modul:	$E=70000 \text{ N/mm}^2$
Querdehnzahl nach Poisson:	$\nu=0.23$
Thermischer Ausdehnungskoeffizient:	$\alpha=9 \cdot 10^{-6} \text{ 1/K}$
Dichte:	$\rho=2500 \text{ kg/m}^3$

Charakteristische Glasfestigkeiten f_k :

Einscheibensicherheitsglas (ESG) nach EN 12150-1 (2000):	$f_k=120 \text{ N/mm}^2$
Teilvorgespanntes Glas (TVG) nach EN 1863-1 (2011):	$f_k=70 \text{ N/mm}^2$
Floatglas (FL) nach EN 572-1 (2012):	$f_k=45 \text{ N/mm}^2$

Bemessungswert des Tragwiderstandes gegen Spannungsversagen f_{Rd} :

Einscheibensicherheitsglas (ESG) nach DIN 18008-1 und DIN 18008-2	$f_{Rd}=80 \text{ N/mm}^2$
Teilvorgespanntes Glas (TVG) nach DIN 18008-1 und DIN 18008-2	$f_{Rd}=46.66 \text{ N/mm}^2$
Floatglas (FL) nach DIN 18008-1 und DIN 18008-2	$f_{Rd}=25.2 \text{ N/mm}^2$ *

* für Floatglas mit $k_{mod}=0.7$ für kurze Lasteinwirkungsdauer wie Wind und Holm sowie mit Reduktion auf 80% der charakteristischen Biegezugfestigkeit wegen planmäßig unter Zugbeanspruchung stehenden Kanten.

2.3 Zwischenfolie

2.3.1 PVB

Polyvinyl-Butyral-Interlayer (PVB)

Mechanische Eigenschaften bei 23°C:

Bruchlast	$> 20 \text{ N/mm}^2$
Bruchdehnung	$> 250 \%$

Diese Eigenschaften müssen vom Hersteller der Zwischenfolien mit der Konformitätsbescheinigung 2.1 nach EN 10204: 1995-08 bestätigt werden.

Die Norm DIN 18008 erlaubt für PVB-Folien keinen Schubverbund wenn er günstig wirkt.

2.3.2 SGP-Folie

Die Steifigkeitskennwerte der SGP-Folie sind der AbZ Z-70.3-253, gültig bis 14.04.2025, entnommen.

Tabelle 1: Kennwerte für Einfachverglasungen

Lastfall		Schubmodul G [N/mm ²]	k _{vsg} ²	k _{mod}
Fassadenbereich	Verglasungen ohne absturzsichernde Funktion			
	Lastfall Wind	100	1	0,7
	Verglasungen mit absturzsichernder Funktion			
	Lastfall horizontale Nutzlast infolge von Personen ³	4	1	0,7
	Lastfall Holm und Wind	65	1	0,7
Innenbereich	Verglasungen ohne absturzsichernde Funktion			
	Lastfall Wind	100	1	0,7
	Verglasungen mit absturzsichernder Funktion			
	Lastfall Holm	65	1	0,7
	Lastfall Holm und Wind	65	1	0,7
Überkopf-bereich	Lastfall Schnee	60	1	0,4
	Lastfall Wind und Schnee	60	1	0,7
	Lastfall Eigengewicht	0	1,1	0,25

Tabelle 2: Kennwerte für Schubmodule entsprechend der Zwischenschichttemperatur

Zwischenschichttemperatur T [°C]	30	35	40	45	50	55	60
Schubmodul G [N/mm ²]	65	30	9	7	4	3	2

Dabei werden in der statischen Berechnung 2 Einsatzsituationen untersucht:

Einsatz im Fassadenbereich (EXTERN): $G_{\text{ext}}=4 \text{ N/mm}^2 \rightarrow E_{\text{ext}} = G \cdot 2 \cdot (1+\nu)=11.92 \text{ N/mm}^2$

Einsatz im Innenbereich (INTERN): $G_{\text{int}}=65 \text{ N/mm}^2 \rightarrow E_{\text{int}} = G \cdot 2 \cdot (1+\nu)=193.7 \text{ N/mm}^2$

3 Lasten

3.1 Horizontale Holmlast

Laut der DIN EN 1991-1-1 sind folgende horizontalen Linienlasten als variable Nutzlasten am Holm (Handlauf) bzw. Oberkante der Verglasung je nach Nutzungskategorie ungünstig aufzubringen: 0.5 kN/m, 1.0 kN/m und 2.0 kN/m.

Dabei sind die Lasten an der Oberkante des Geländers sowohl in Hauptrichtung=Absturzrichtung in voller Größe als auch in Gegenrichtung= gegen die Absturzrichtung in halber Größe aber zumindest mit 0.50 kN/m anzusetzen.

➔ Nach außen: 0.50 kN/m, 1.00 kN/m, 2.00 kN/m

➔ Nach innen: 0.50 kN/m, 1.00 kN/m

3.2 Lastkombination Holm + Wind

Die auf die Oberkante der Glasscheibe aufgebraachte lineare Holmlast und der Wind, der auf die gesamte Oberfläche der Brüstung einwirkt, werden nach den Vorgaben der DIN EN 1990 durch die folgenden Beziehungen kombiniert:

$$f_{Ed1} = \gamma_Q \cdot f_{hk} + \psi_{0, \text{Wind}} \cdot \gamma_Q \cdot f_{wk}$$

$$f_{Ed2} = \gamma_Q \cdot f_{hk} \cdot \psi_{0, \text{Holm}} + \gamma_Q \cdot f_{wk}$$

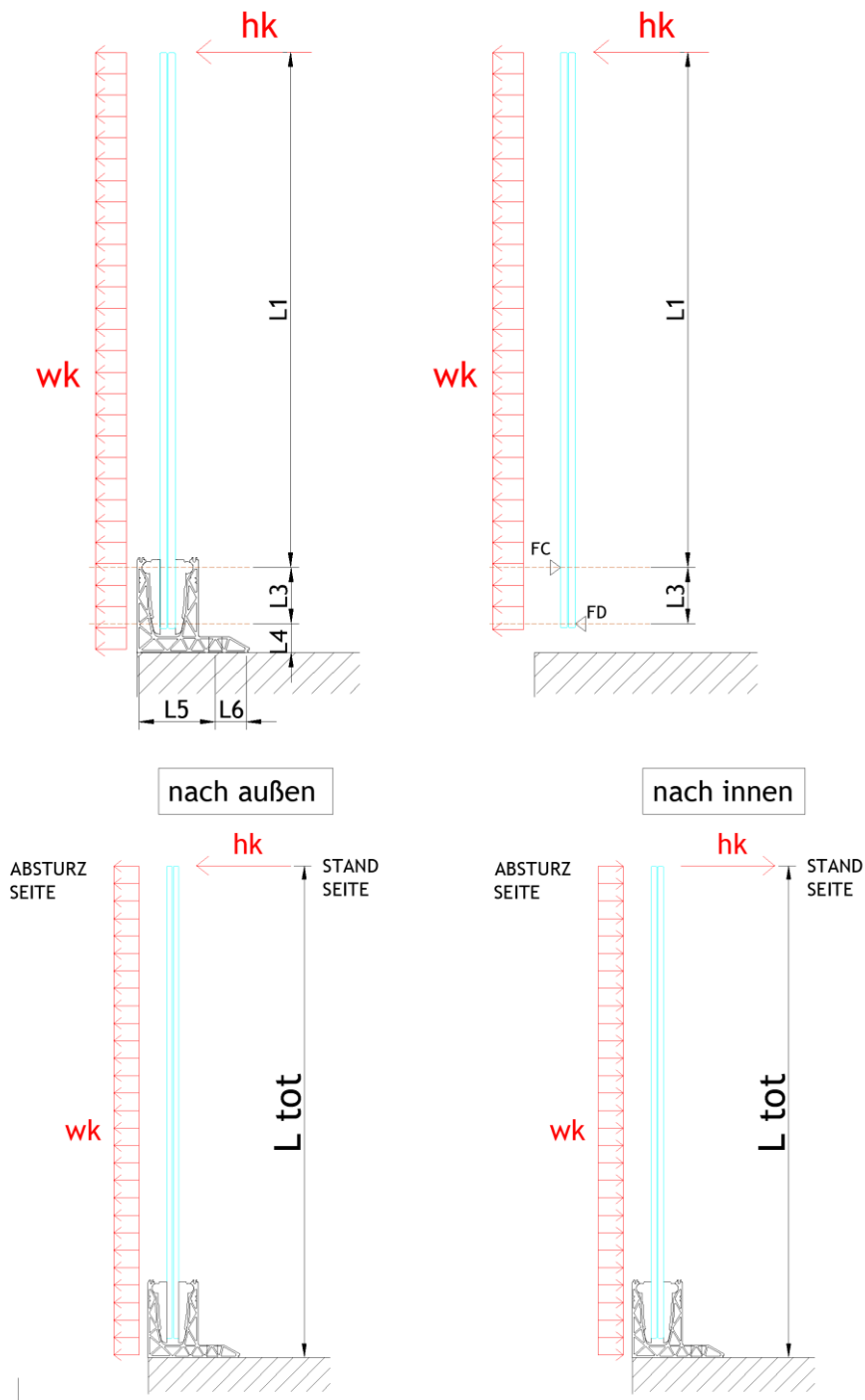
mit $\gamma_Q = 1.50$, $\psi_{0, \text{Wind}} = 0.60$, $\psi_{0, \text{Holm}} = 0.70$

4 Statische Berechnung

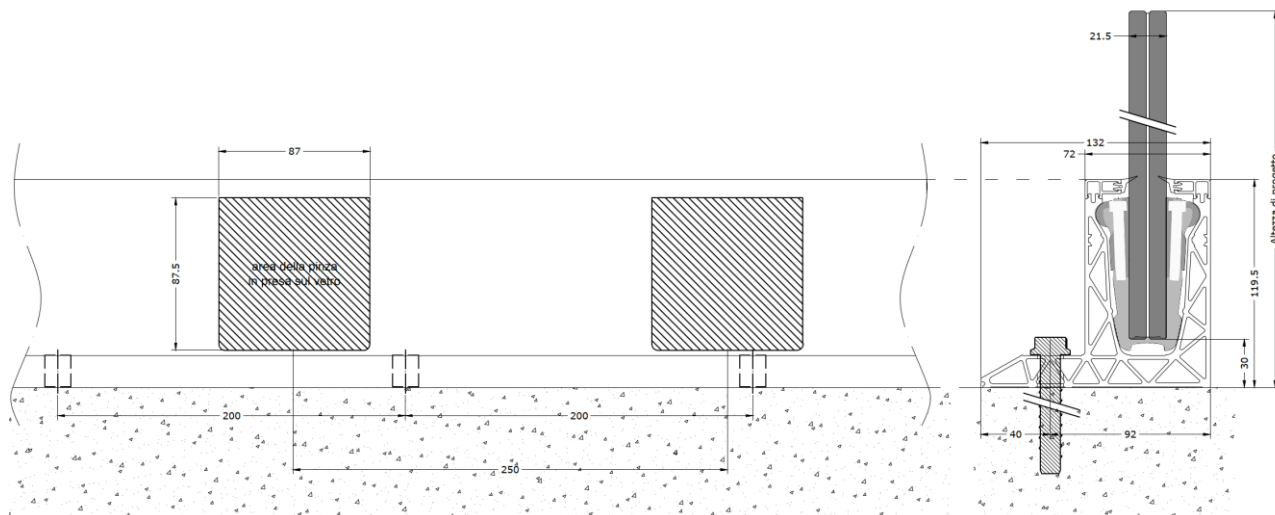
4.1 Glasbemessung

4.1.1 Allgemeines

Der statische Nachweis der Verglasung wird mit dem Programm SJ Mepla durchgeführt.

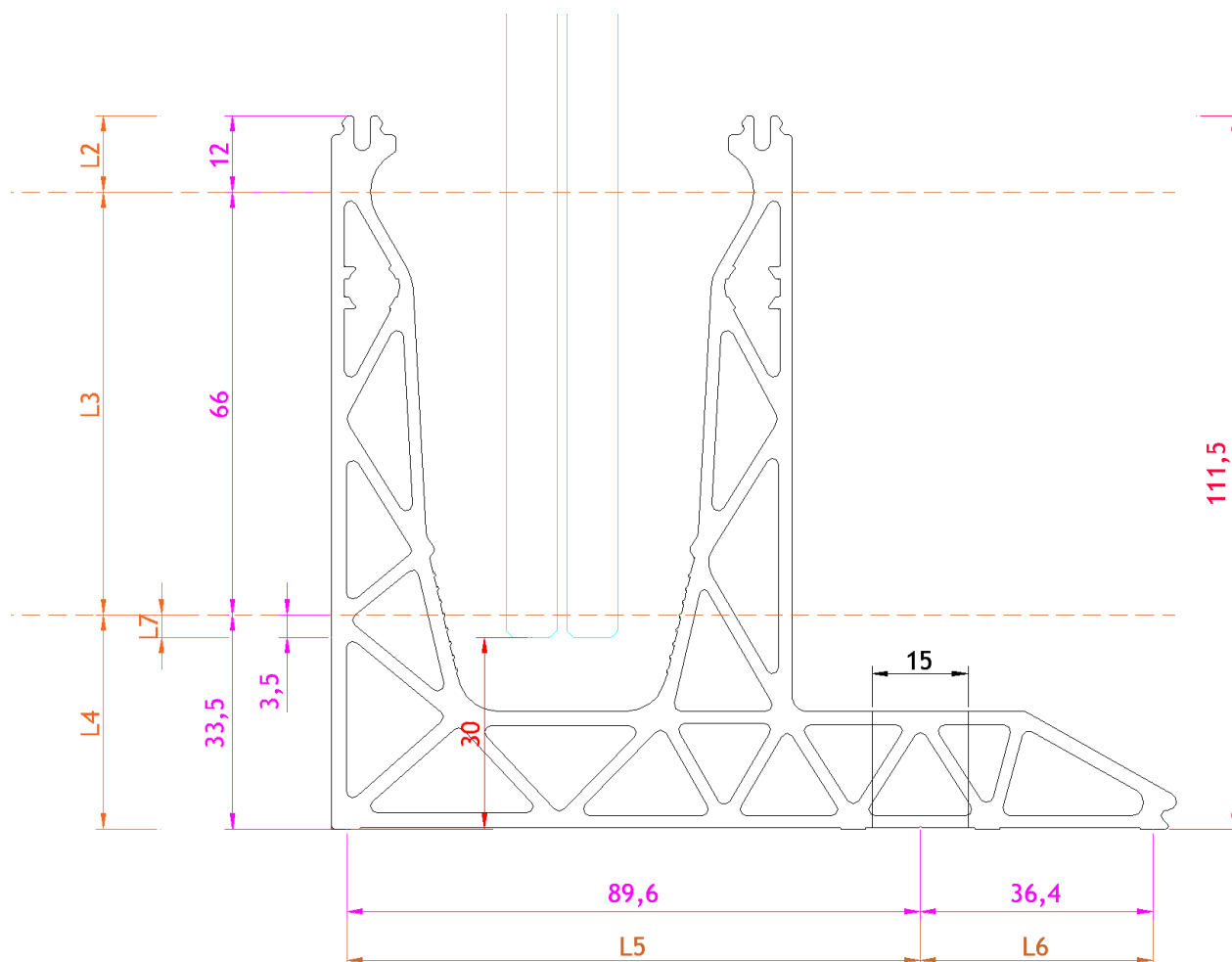


Für die Berechnung der Spannungen in der Glasscheibe ist eine realitätsnahe Lagerung auf den Kunststoffklemmen als abschnittsweise elastische Linienlagerung mit der Länge von 87 mm, einem Abstand von 250 mm sowie einem Randabstand von 125 mm berücksichtigt. Die Breite der Glasscheibe beträgt dabei 500 mm, d.h. es sind 2 Klemmen pro Scheibe vorgesehen.



Es werden für die Berechnung folgende Parameter verwendet - siehe dazu auch Grafik auf der nächsten Seite:

Profil	Abmessungen [mm]								
	L2	L3	L4	L5	L6	L7	e fix	b Klemme	e Klemme
DF810DK17 / DF810DK21	12	66	33,5	89,6	36,4	3,5	200	87	250



Die Berechnung der maximalen Spannungen in den Glasscheiben erfolgt in zwei Schritten. Im ersten Schritt wird eine gleichmäßig verteilte Linienlast von $h_u = 1.0 \text{ kN/m}$ auf den Holm (Oberkante) der Glasbrüstung aufgebracht, wobei in 50-mm-Schritten unterschiedliche Höhen von 600 mm bis 1600 mm simuliert werden.

In einem zweiten Schritt kann dann bei Kenntnis der maximal zulässigen Spannung im Glas die zusätzlich zur Holmlast h_k noch eventuell aufnehmbare gleichmäßig über die Höhe der Glasscheibe verteilte Windlast w_k berechnet werden.

$$f_{d,\text{Glas}} = \gamma_Q \cdot \sigma_{h_k} + \psi_{0,\text{Wind}} \cdot \gamma_Q \cdot \sigma_{w_{k1}}$$

$$f_{d,\text{Glas}} = \gamma_Q \cdot \sigma_{h_k} \cdot \psi_{0,\text{Holm}} + \gamma_Q \cdot \sigma_{w_{k2}}$$

$$\sigma_{w_{k1}} = (f_{d,\text{Glas}} - \gamma_Q \cdot \sigma_{h_k}) / (\psi_{0,\text{Wind}} \cdot \gamma_Q) \quad \rightarrow \quad w_{k1} = \sigma_{w_{k1}} / \sigma_{\text{max},w_u} \quad \rightarrow \quad w_{k\text{min}} = \min(w_{k1}, w_{k2})$$

$$\sigma_{w_{k2}} = (f_{d,\text{Glas}} - \gamma_Q \cdot \sigma_{h_k} \cdot \psi_{0,\text{Holm}}) / \gamma_Q \quad \rightarrow \quad w_{k2} = \sigma_{w_{k2}} / \sigma_{\text{max},w_u}$$

mit $\gamma_Q=1.50$, $\psi_{0.Wind}=0.60$, $\psi_{0.Holm}=0.70$

Dazu sind auch die Spannungen des Glases aus der gleichmäßig über die Höhe und Länge verteilten Windlast mit einem Einheitsdruck w_u von 1 kN/m^2 berechnet.

Nachfolgend ist exemplarisch für einen Glasaufbau und eine bestimmte Höhe die Mepla-Berechnung für die Einheitslasten $h_u=1 \text{ kN/m}$ und $w_u=1 \text{ kN/m}^2$ sowie Ausfallsszenario dargestellt.

Für alle anderen Glasaufbauten und Glashöhen wurde die Berechnung auf die gleiche Weise durchgeführt, indem die Variablen wie Glashöhe, E-Modul Folie und Glasstärke angepasst wurden.

Hinweis: Die Glasbemessung in Mepla ist auf Basis des Profils DF810LM durchgeführt, welches das idente Klemmsystem hat und daher in gleicher Weise für das Profil DF810DK gültig ist.

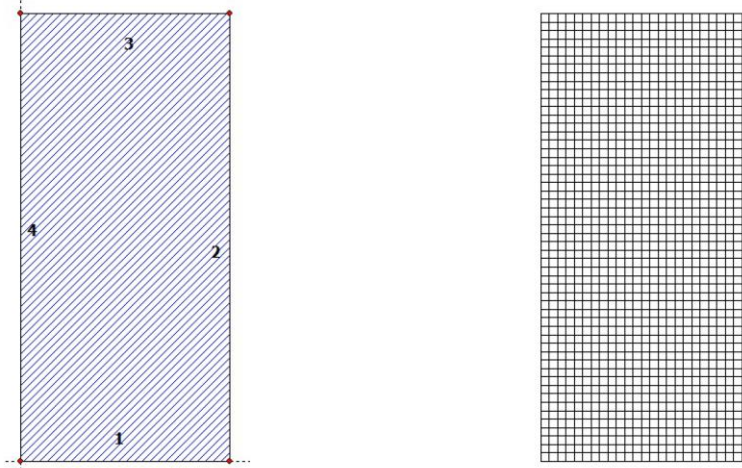
4.1.2 Glasbemessung mit Mepla

Berechnung für Einheitslinienlast hu an der Oberkante der Brüstung - intakte VSG-Scheibe:

Projekt: 23065 Defender 810 - GER+CH, Logli - DF810LM_H - 10_10_500_1070_87_2

23.08.2023
Seite: 1

SJ MEPLA Berechnungsprotokoll:



Geometrie:

Rand	Randpunkt	Bogenmitte	Drehrichtung
	mm	mm	+/-
1	0.00	0.00	
2	500.00	0.00	

Dieser Ausdruck wurde durch das Programm SJ MEPLA erstellt. Copyright 2000-2022 by SJ Software GmbH Aachen.

Projekt: 23065 Defender 810 - GER+CH, Logli - DF810LM_H - 10_10_500_1070_87_2

23.08.2023
Seite: 2

3	500.00	1070.00
4	0.00	1070.00

Lager:

Randlager:

Rand	Lagerungsart
2	u,φ : fest - w,v,θ : frei (Symmetrie in x-Richtung)
4	u,φ : fest - w,v,θ : frei (Symmetrie in x-Richtung)

Elastische Linienlager:

Nr	x	y	nach	E-Modul	Breite	Höhe	Kontakt
	mm	mm	mm	N/mm ²	mm	mm	
1	81.50	69.50	168.50 69.50	3000.00	20.00	10.00	0
2	331.50	69.50	418.50 69.50	3000.00	20.00	10.00	0
3	81.50	3.50	168.50 3.50	3000.00	20.00	10.00	0
4	331.50	3.50	418.50 3.50	3000.00	20.00	10.00	0

Federlager:

Paket	Schicht	x	y	z	C_x	C_y	C_z	C_φ	C_θ
		mm	mm	mm	N/mm	N/mm	N/mm	Nmm	Nmm
1	1	0.0	0.0	0.0	1.000e+00	1.000e+00	0.000e+00	0.00e+00	0.00e+00
1	1	500.0	0.0	0.0	0.000e+00	1.000e+00	0.000e+00	0.00e+00	0.00e+00

Schichten:

Schichtenaufbau:

Paket	Schicht	Beschreibung
1	3	ESG
1	2	PVB Langzeitbelastung
1	1	ESG

Kennwerte:

Paket	Schicht	E-Mod.	ν	Dicke	Dichte	αt	ΔT
		N/mm ²		mm	kg/m ³	1/K	K
1	3	70000.00	0.23	10.00	2550.00	1.0000e-05	0.00
1	2	0.00	0.50	0.76	1070.00	8.0000e-05	0.00
1	1	70000.00	0.23	10.00	2550.00	1.0000e-05	0.00

Dieser Ausdruck wurde durch das Programm SJ MEPLA erstellt. Copyright 2000-2022 by SJ Software GmbH Aachen.

Projekt: 23065 Defender 810 - GER+CH, Logli - DF810LM_H - 10_10_500_1070_87_2

23.08.2023
Seite: 3

Lasten:

Linienlasten:

Paket	--- von ---		-- nach --		qx	qy	qz
	x	y	x	y	N/mm	N/mm	N/mm
1	0.00	1070.00	500.00	1070.00	0.00	0.00	1.00

Flächenlasten:
- konstant verteilt:

Paket	Druck
	N/mm ²
1	0.00000e+00

Berechnungsverfahren:

geometrisch linear
statische Berechnung

Kenndaten des finiten Element Netzes:

Elementgröße : 20.0 mm
Anzahl der Elemente : 1325
Anzahl der Knoten : 5457 (pro Paket)
Anzahl der Unbekannten : 48257

Berechnungsergebnis:

Minimale und maximale Verformungen w:

Paket	--- Ort ---		Verformung
	x	y	
	mm	mm	mm
1	500.00	0.00	-0.10 (min)
	10.00	1070.00	29.94 (max)

Maximale Hauptzugspannung:

Paket	Schicht	x	y	σ	σ (max)
		mm	mm	N/mm ²	N/mm ²
1	3 (oben)	162.25	2.28	15.52	38.86
	(unten)	370.00	78.48	38.86	
1	1 (oben)	162.25	2.28	15.52	38.86
	(unten)	370.00	78.48	38.86	

Dieser Ausdruck wurde durch das Programm SJ MEPLA erstellt. Copyright 2000-2022 by SJ Software GmbH Aachen.

Projekt: 23065 Defender 810 - GER+CH, Logli - DF810LM_H - 10_10_500_1070_87_2

23.08.2023
Seite: 4

Extremale Spannungen und Reaktionskraft in der elastischen Linienlagerung:

Nr.	σ	Reaktionskraft
	N/mm ²	(Fz) N
1	3.759 (max)	4039.77
	1.637 (min)	
2	3.759 (max)	4039.77
	1.637 (min)	
3	-0.522 (max)	-3789.77
	-6.323 (min)	
4	-0.522 (max)	-3789.77
	-6.323 (min)	

Extremwerte:

x	y	σ
mm	mm	N/mm ²
332.37	69.50	3.759 (max)
332.37	3.50	-6.323 (min)

Federn:

Paket	Schicht	u	v	w	φ	θ	Fx	Fy	Fz	M _φ	M _θ
(x / y)		mm	mm	mm	rad	rad	N	N	N	Nmm	Nmm
(0.00 / 0.00)											
1	1	0.00	0.00	-0.10	0.0000	-0.0013	0.00	0.00	-0.00	0.00	-0.00
(500.00 / 0.00)											
1	1	0.00	0.00	-0.10	0.0000	-0.0013	0.00	0.00	-0.00	0.00	-0.00

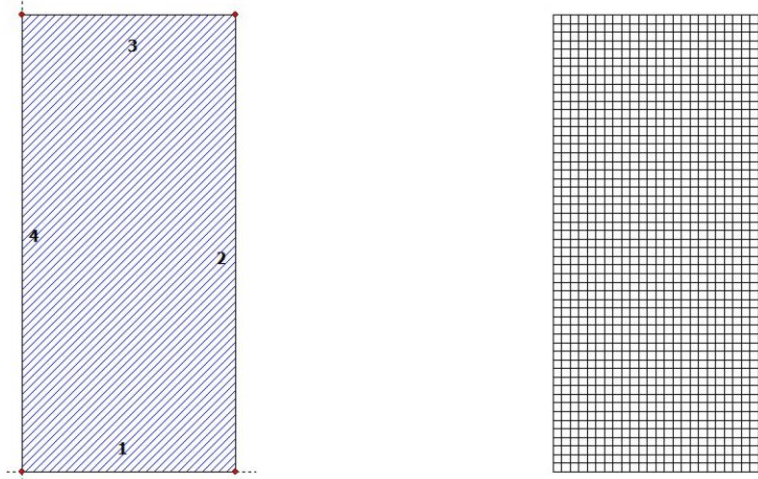
Dieser Ausdruck wurde durch das Programm SJ MEPLA erstellt. Copyright 2000-2022 by SJ Software GmbH Aachen.

Berechnung für Einheitsflächenlast wu auf der gesamten Fläche der Brüstung - intakte VSG-Scheibe:

Projekt: 23065 Defender 810 - GER+CH, Logli - DF810LM_W - 10_10_500_1070_87_2

23.08.2023
Seite: 1

SJ MEPLA Berechnungsprotokoll:



Geometrie:

Rand	Randpunkt	Bogenmitte	Drehrichtung
	mm	mm	+/-
1	0.00	0.00	
2	500.00	0.00	

Dieser Ausdruck wurde durch das Programm SJ MEPLA erstellt. Copyright 2000-2022 by SJ Software GmbH Aachen.

Projekt: 23065 Defender 810 - GER+CH, Logli - DF810LM_W - 10_10_500_1070_87_2

23.08.2023
Seite: 2

3	500.00	1070.00
4	0.00	1070.00

Lager:

Randlager:

Rand	Lagerungsart
2	u,φ : fest - w,v,θ : frei (Symmetrie in x-Richtung)
4	u,φ : fest - w,v,θ : frei (Symmetrie in x-Richtung)

Elastische Linienlager:

Nr	von		nach		E-Modul N/mm ²	Breite mm	Höhe mm	Kontakt
	x	y	x	y				
1	81.50	69.50	168.50	69.50	3000.00	20.00	10.00	0
2	331.50	69.50	418.50	69.50	3000.00	20.00	10.00	0
3	81.50	3.50	168.50	3.50	3000.00	20.00	10.00	0
4	331.50	3.50	418.50	3.50	3000.00	20.00	10.00	0

Federlager:

Paket	Schicht	x	y	z	C_x		C_y		C_z		C_φ	
					N/mm	N/mm	N/mm	N/mm	Nmm	Nmm		
1	1	0.0	0.0	0.0	1.000e+00	1.000e+00	0.000e+00	0.00e+00	0.00e+00	0.00e+00	0.00e+00	
1	1	500.0	0.0	0.0	0.000e+00	1.000e+00	0.000e+00	0.00e+00	0.00e+00	0.00e+00	0.00e+00	

Schichten:

Schichtenaufbau:

Paket	Schicht	Beschreibung
1	3	ESG
1	2	PVB Langzeitbelastung
1	1	ESG

Kennwerte:

Paket	Schicht	E-Mod. N/mm ²	v	Dicke mm	Dichte kg/m ³	αt 1/K	ΔT K
1	3	70000.00	0.23	10.00	2550.00	1.0000e-05	0.00
1	2	0.00	0.50	0.76	1070.00	8.0000e-05	0.00
1	1	70000.00	0.23	10.00	2550.00	1.0000e-05	0.00

Dieser Ausdruck wurde durch das Programm SJ MEPLA erstellt. Copyright 2000-2022 by SJ Software GmbH Aachen.

Projekt: 23065 Defender 810 - GER+CH, Logli - DF810LM_W - 10_10_500_1070_87_2

23.08.2023
Seite: 3

Lasten:

Flächenlasten:
- konstant verteilt:
Paket Druck
 N/mm²
1 1.00000e-03

Berechnungsverfahren:
geometrisch linear
statische Berechnung

Kenndaten des finiten Element Netzes:
Elementgröße : 20.0 mm
Anzahl der Elemente : 1325
Anzahl der Knoten : 5457 (pro Paket)
Anzahl der Unbekannten : 48257

Berechnungsergebnis:

Minimale und maximale Verformungen w:

Paket	--- Ort ---			Verformung w mm
	x mm	y mm		
1	500.00	0.00		-0.05 (min)
	500.00	1070.00		11.59 (max)

Maximale Hauptzugspannung:

Paket	Schicht		x	y	σ	σ (max)
			mm	mm	N/mm ²	N/mm ²
1	3	(oben)	162.25	2.28	7.57	19.50
		(unten)	370.00	78.48	19.50	19.50
1	1	(oben)	162.25	2.28	7.57	19.50
		(unten)	130.00	78.48	19.50	19.50

Extremale Spannungen und Reaktionskraft in der elastischen Linienlagerung:

Nr.	σ	Reaktionskraft
	N/mm ²	(Fz) N
1	2.063 (max)	2154.19

Dieser Ausdruck wurde durch das Programm SJ MEPLA erstellt. Copyright 2000-2022 by SJ Software GmbH Aachen.

Projekt: 23065 Defender 810 - GER+CH, Logli - DF810LM_W - 10_10_500_1070_87_2

23.08.2023
Seite: 4

2	0.845 (min)	
	2.063 (max)	2154.19
3	0.845 (min)	
	-0.281 (max)	-1886.69
4	-3.095 (min)	
	-0.281 (max)	-1886.69
	-3.095 (min)	

Extremwerte:

x	y	σ
mm	mm	N/mm ²
332.37	69.50	2.063 (max)
332.37	3.50	-3.095 (min)

Federn:

Paket	Schicht	u	v	w	φ	θ	Fx	Fy	Fz	M _φ	M _θ
(x / y)		mm	mm	mm	rad	rad	N	N	N	Nmm	Nmm
(0.00 /	0.00)									
1	1	0.00	0.00	-0.05	0.0000	-0.0007	0.00	0.00	-0.00	0.00	-0.00
(500.00 /	0.00)									
1	1	0.00	0.00	-0.05	0.0000	-0.0007	0.00	0.00	-0.00	0.00	-0.00

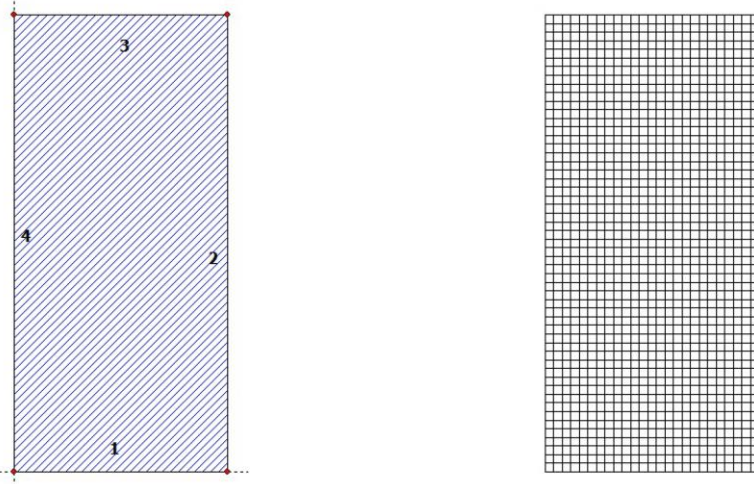
Dieser Ausdruck wurde durch das Programm SJ MEPLA erstellt. Copyright 2000-2022 by SJ Software GmbH Aachen.

Berechnung für Einheitslinienlast hu an der Oberkante der Brüstung - Ausfall einer Scheibe:

Projekt: 23065 Defender 810 - GER+CH, Logli - DF810LM_H_Ausfall - 0,000001_10_500_1070_87_2

23.08.2023
Seite: 1

SJ MEPLA Berechnungsprotokoll:



Geometrie:

Rand	Randpunkt	Bogenmitte	Drehrichtung
	mm	mm	+/-
1	0.00	0.00	
2	500.00	0.00	

Dieser Ausdruck wurde durch das Programm SJ MEPLA erstellt. Copyright 2000-2022 by SJ Software GmbH Aachen.

Projekt: 23065 Defender 810 - GER+CH, Logli - DF810LM_H_Ausfall - 0,000001_10_500_1070_87_2

23.08.2023
Seite: 2

3	500.00	1070.00
4	0.00	1070.00

Lager:

Randlager:

Rand	Lagerungsart
2	u,φ : fest - w,v,θ : frei (Symmetrie in x-Richtung)
4	u,φ : fest - w,v,θ : frei (Symmetrie in x-Richtung)

Elastische Linienlager:

Nr	von	nach	E-Modul	Breite	Höhe	Kontakt		
	x	y	N/mm ²	mm	mm			
1	81.50	69.50	168.50	69.50	3000.00	20.00	10.00	0
2	331.50	69.50	418.50	69.50	3000.00	20.00	10.00	0
3	81.50	3.50	168.50	3.50	3000.00	20.00	10.00	0
4	331.50	3.50	418.50	3.50	3000.00	20.00	10.00	0

Federlager:

Paket	Schicht	x	y	z	C x	C y	C z	C φ	C θ
		mm	mm	mm	N/mm	N/mm	N/mm	Nmm	Nmm
1	1	0.0	0.0	0.0	1.000e+00	1.000e+00	0.000e+00	0.00e+00	0.00e+00
1	1	500.0	0.0	0.0	0.000e+00	1.000e+00	0.000e+00	0.00e+00	0.00e+00

Schichten:

Schichtenaufbau:

Paket	Schicht	Beschreibung
1	3	ESG
1	2	PVB Langzeitbelastung
1	1	ESG

Kennwerte:

Paket	Schicht	E-Mod.	ν	Dicke	Dichte	αT	ΔT
		N/mm ²		mm	kg/m ³	1/K	K
1	3	70000.00	0.23	0.00	2550.00	1.0000e-05	0.00
1	2	0.00	0.50	0.76	1070.00	8.0000e-05	0.00
1	1	70000.00	0.23	10.00	2550.00	1.0000e-05	0.00

Dieser Ausdruck wurde durch das Programm SJ MEPLA erstellt. Copyright 2000-2022 by SJ Software GmbH Aachen.

Projekt: 23065 Defender 810 - GER+CH, Logli - DF810LM_H_Ausfall - 0,000001_10_500_1070_87_2

23.08.2023
Seite: 3

Lasten:

Linienlasten:

Paket	--- von ---		-- nach --		qx	qy	qz
	x	y	x	y	N/mm	N/mm	N/mm
1	0.00	1070.00	500.00	1070.00	0.00	0.00	1.00

Flächenlasten:

- konstant verteilt:
Paket Druck
N/mm²

1	0.00000e+00
---	-------------

Berechnungsverfahren:

geometrisch linear
statische Berechnung

Kenndaten des finiten Element Netzes:

Elementgröße : 20.0 mm
Anzahl der Elemente : 1325
Anzahl der Knoten : 5457 (pro Paket)
Anzahl der Unbekannten : 48257

Berechnungsergebnis:

Minimale und maximale Verformungen w:

Paket	--- Ort ---		Verformung
	x	y	w
	mm	mm	mm
1	500.00	0.00	-0.18 (min)
	490.00	1070.00	59.53 (max)

Maximale Hauptzugspannung:

Paket	Schicht	x	y	σ	σ (max)
		mm	mm	N/mm ²	N/mm ²
1	3 (oben)	497.75	2.28	-0.01	-0.01
	(unten)	2.25	2.28	-0.01	
1	1 (oben)	162.25	2.28	33.49	75.98
	(unten)	142.25	78.48	75.98	

Dieser Ausdruck wurde durch das Programm SJ MEPLA erstellt. Copyright 2000-2022 by SJ Software GmbH Aachen.

Projekt: 23065 Defender 810 - GER+CH, Logli - DF810LM_H_Ausfall - 0,000001_10_500_1070_87_2

23.08.2023
Seite: 4

Extremale Spannungen und Reaktionskraft in der elastischen Linienlagerung:

Nr.	σ	Reaktionskraft
	N/mm ²	(Fz) N
1	4.868 (max)	4039.77
	1.246 (min)	
2	4.868 (max)	4039.77
	1.246 (min)	
3	-0.262 (max)	-3789.77
	-8.391 (min)	
4	-0.262 (max)	-3789.77
	-8.391 (min)	

Extremwerte:

x	y	σ
mm	mm	N/mm ²
332.37	69.50	4.868 (max)
417.63	3.50	-8.391 (min)

Federn:

Paket	Schicht	u	v	w	φ	θ	Fx	Fy	Fz	M _φ	M _θ
(x / y)		mm	mm	mm	rad	rad	N	N	N	Nmm	Nmm
(0.00 / 0.00)											
1	1	0.00	0.00	-0.18	0.0000	-0.0023	0.00	0.00	-0.00	0.00	-0.00
(500.00 / 0.00)											
1	1	0.00	0.00	-0.18	0.0000	-0.0023	0.00	0.00	-0.00	0.00	-0.00

Dieser Ausdruck wurde durch das Programm SJ MEPLA erstellt. Copyright 2000-2022 by SJ Software GmbH Aachen.

DFB10DK17 - 8.8.2 und 8.8.4 ESG mit PVB - Folie - Ausfall einer Scheibe - Belastung in Absturzurichtung nach außen

Ein. Horizontale Einheitslast als Linienlast an der Oberkante Glasabstützung
 R_{Ed,ESG} 120 kN/m
 γ_{Ed,ESG} 1.5 N/mm²
 γ_{Ed,ESG} 80.00 N/mm²
 γ_{Ed,ESG} 0.7 N/mm²
 γ_{Q,exp} 1.0

Charakteristisches Bemessungsfestigkeits-ESG nach DIN 18008
 Teilsicherheitsbeiwert Materialbeiwert für ESG nach DIN 18008
 Bemessungswert der Biegezugfestigkeit ESG nach DIN 18008 für eine Scheibe
 Kombinationsbeiwert für Holmlasten (k_{1,C}) bei außergewöhnlicher Lastfallkombination nach DIN EN 1990
 Teilsicherheitsbeiwert Lastbeiwert für variable Lasten bei außergewöhnlicher Lastfallkombination nach DIN EN 1990

Lstc mm	L1 mm	L Glas mm	hu N/mm ²	DFB10DK17 - 8.8.2 und 8.8.4 ESG mit PVB - Folie - Ausfall einer Scheibe - Belastung in Absturzurichtung nach außen																		
				hk=0.5 kN/m					hk=1.0 kN/m					hk=2.0 kN/m								
600	950.5	570.0	58.80	gEd,0.5.exp	hk 0.5.exp	L1,max.exp	L1,min.exp	L1,max.exp	L1,min.exp	L1,max.exp	L1,min.exp	gEd,1.0.exp	hk 1.0.exp	L1,max.exp	L1,min.exp	L1,max.exp	L1,min.exp	gEd,2.0.exp	hk 2.0.exp	L1,max.exp	L1,min.exp	
600	950.5	570.0	58.80	0.35	20.58	1946	2015	2045	2015	600	0.70	41.16	0.51	973	1042	1042	1072	82.22	1.03	486	556	
650	950.5	620.0	65.38	0.35	22.88	1925	1994	2024	1994	650	0.70	45.77	0.57	962	1032	1032	1062	91.53	1.14	481	551	
700	950.5	670.0	73.60	0.35	24.71	1927	2014	2044	2014	700	0.70	49.42	0.62	942	1012	1012	1042	98.84	1.24	485	556	
750	950.5	720.0	81.35	0.35	26.54	1927	2013	2043	2013	750	0.70	53.07	0.67	922	992	992	1022	106.15	1.34	489	557	
800	950.5	770.0	89.39	0.35	28.84	1943	2013	2043	2013	800	0.70	57.67	0.72	902	972	972	1002	115.35	1.44	486	555	
850	950.5	820.0	97.55	0.35	31.13	1929	1998	2028	1998	850	0.70	62.25	0.78	882	952	952	982	124.50	1.56	482	552	
900	850.5	870.0	94.18	0.35	32.96	0.41	1943	2012	2042	900	0.70	65.93	0.82	862	932	932	962	131.85	1.65	486	555	
950	850.5	920.0	100.70	0.35	35.25	0.44	1930	2000	2030	950	0.70	70.49	0.88	842	912	912	942	140.98	1.76	483	552	
1000	950.5	970.0	105.96	0.35	37.09	0.46	1943	2012	2042	1000	0.70	74.17	0.93	822	892	892	922	148.34	1.85	486	555	
1050	950.5	1020.0	112.47	0.35	39.26	0.49	1942	2001	2031	1050	0.70	78.73	0.98	802	872	872	902	157.46	1.97	483	552	
1100	1000.5	1070.0	117.75	0.35	41.21	0.52	1942	2002	2032	1100	0.70	82.43	1.03	782	852	852	882	164.85	2.06	486	555	
1150	1050.5	1120.0	124.24	0.35	43.48	0.54	1933	2002	2032	1150	0.70	86.97	1.09	762	832	832	862	173.94	2.17	483	553	
1200	1100.5	1170.0	129.53	0.35	45.34	0.57	1925	2001	2031	1200	0.70	90.67	1.13	742	812	812	842	181.34	2.27	485	555	
1250	1150.5	1220.0	134.81	0.35	47.49	0.59	1925	2001	2031	1250	0.70	94.37	1.18	722	792	792	822	188.74	2.37	485	555	
1300	1200.5	1270.0	140.11	0.35	49.66	0.62	1942	2004	2034	1300	0.70	98.92	1.24	702	772	772	802	197.83	2.47	485	555	
1350	1250.5	1320.0	147.78	0.35	51.72	0.65	1934	2004	2034	1350	0.70	103.45	1.29	682	752	752	782	206.89	2.59	484	553	
1400	1300.5	1370.0	153.08	0.35	53.58	0.67	1942	2011	2041	1400	0.70	107.16	1.34	662	732	732	762	214.31	2.68	485	555	
1450	1350.5	1420.0	159.55	0.35	55.84	0.70	1935	2004	2034	1450	0.70	111.69	1.40	642	712	712	742	223.37	2.79	484	553	
1500	1400.5	1470.0	164.86	0.35	57.70	0.72	1942	2011	2041	1500	0.70	115.40	1.44	622	692	692	722	230.85	2.89	485	555	
1550	1450.5	1520.0	171.32	0.35	59.96	0.75	1935	2005	2035	1550	0.70	119.92	1.50	602	672	672	702	239.85	3.00	484	553	
1600	1500.5	1570.0	176.64	0.35	61.82	0.77	1942	2011	2041	1600	0.70	123.65	1.55	582	652	652	682	247.30	3.09	485	551	
							Minimum	1994	2024					Minimum	1032	1062				Minimum	551	581

DF810DK21 - 10.10.2 und 10.10.4 ESG mit PVB - Folie - Ausfall einer Scheibe - Belastung in Abstrichrichtung nach außen

Fu: Horizontale Einheitslast als Linienlast an der Oberkante Glasbrüstung
 Fu,ESG: 120 kN/m
 Fu,ESG: 1,5 N/mm²
 Fu,ESG: 80.00 N/mm²
 Fu,ESG: 0,7 N/mm²
 Fu,ESG: 1,0 N/mm²

Charakteristische Beanspruchung für ESG nach DIN 18008
 Teilsicherheitsbeiwert Materialseite für eine Scheibe
 Bemessungswert der Belegzugfestigkeit ESG nach DIN 18008 für eine Scheibe
 Kombinationsbeiwert für Homlasten (Kat.C) bei außergewöhnlicher Lastfallkombination nach DIN EN 1990
 Teilsicherheitsbeiwert Lastseite für variable Lasten bei außergewöhnlicher Lastfallkombination nach DIN EN 1990

Licht mm	L1 mm	L Glas mm	hu mm	DF810DK21 - 10.10.2 und 10.10.4 ESG mit PVB - Folie - Ausfall einer Scheibe - Belastung in Abstrichrichtung nach außen																				
				hk=0,5 kN/m					hk=1,0 kN/m					hk=2,0 kN/m										
				hk 0,5 exp	qEd,0,5 exp	ut 0,5 exp	L1,max,exp	L Glas,max,exp	Ltot,max,exp	Ltot,min,0,5	hk 1,0 exp	qEd,1,0 exp	ut 1,0 exp	L1,max,exp	L Glas,max,exp	Ltot,max,exp	Ltot,min,1,0	hk 2,0 exp	qEd,2,0 exp	ut 2,0 exp	L1,max,exp	L Glas,max,exp	Ltot,max,exp	Ltot,min,2,0
600	530,5	570,0	37,93	0,35	13,28	0,17	3016	3086	3116	600	0,70	26,55	0,33	1508	1578	1608	600	1,40	53,10	0,65	754	824	854	600
700	630,5	670,0	47,93	0,35	15,94	0,20	3013	3083	3113	700	0,70	31,89	0,40	1507	1576	1606	700	1,40	63,37	0,80	753	823	853	700
750	680,5	720,0	49,67	0,35	17,38	0,22	2993	3063	3093	750	0,70	34,77	0,43	1497	1566	1596	750	1,40	69,54	0,87	748	818	848	750
800	730,5	770,0	51,16	0,35	18,61	0,23	3012	3081	3111	800	0,70	37,21	0,47	1506	1575	1605	800	1,40	74,42	0,93	753	822	852	800
850	780,5	820,0	57,27	0,35	20,64	0,25	2995	3065	3095	850	0,70	40,09	0,50	1498	1567	1597	850	1,40	80,18	1,00	749	818	848	850
900	830,5	870,0	60,77	0,35	21,27	0,27	3011	3080	3110	900	0,70	42,54	0,53	1505	1574	1604	900	1,40	85,08	1,06	753	822	852	847
950	880,5	920,0	64,87	0,35	22,70	0,28	2997	3066	3096	950	0,70	45,41	0,57	1498	1568	1598	950	1,40	90,82	1,14	749	819	849	847
1000	930,5	970,0	68,38	0,35	23,93	0,30	3010	3080	3110	1000	0,70	47,87	0,60	1505	1574	1604	1000	1,40	95,73	1,20	753	822	852	847
1050	980,5	1020,0	72,47	0,35	25,36	0,32	2998	3067	3097	1050	0,70	50,73	0,63	1499	1568	1598	1050	1,40	101,46	1,27	749	819	849	847
1100	1030,5	1070,0	75,98	0,35	26,59	0,33	2999	3068	3098	1100	0,70	53,19	0,66	1505	1574	1604	1100	1,40	106,37	1,33	752	822	852	847
1150	1080,5	1120,0	79,09	0,35	27,82	0,34	3000	3069	3099	1150	0,70	55,65	0,69	1505	1574	1604	1150	1,40	111,30	1,40	752	822	852	847
1200	1130,5	1170,0	83,59	0,35	29,26	0,37	3009	3079	3109	1200	0,70	58,51	0,73	1505	1574	1604	1200	1,40	117,03	1,46	752	822	852	847
1250	1180,5	1220,0	87,99	0,35	30,68	0,38	3000	3069	3099	1250	0,70	61,37	0,77	1500	1569	1599	1250	1,40	122,74	1,53	750	819	849	847
1300	1230,5	1270,0	91,19	0,35	31,92	0,40	3009	3079	3109	1300	0,70	63,83	0,80	1505	1574	1604	1300	1,40	127,67	1,60	752	822	852	847
1350	1280,5	1320,0	95,27	0,35	33,34	0,42	3000	3070	3100	1350	0,70	66,69	0,83	1500	1570	1600	1350	1,40	133,38	1,67	750	820	850	847
1400	1330,5	1370,0	98,79	0,35	34,58	0,43	3009	3078	3108	1400	0,70	69,15	0,86	1504	1574	1604	1400	1,40	138,31	1,73	752	822	852	847
1450	1380,5	1420,0	102,87	0,35	36,00	0,45	3001	3070	3100	1450	0,70	72,01	0,90	1500	1570	1600	1450	1,40	144,02	1,80	750	820	850	847
1500	1430,5	1470,0	106,40	0,35	37,24	0,47	3009	3078	3108	1500	0,70	74,48	0,93	1504	1574	1604	1500	1,40	148,96	1,86	752	822	852	847
1550	1480,5	1520,0	110,47	0,35	38,66	0,48	3001	3071	3101	1550	0,70	77,33	0,97	1501	1570	1600	1550	1,40	154,66	1,93	750	820	850	847
1600	1530,5	1570,0	114,00	0,35	39,90	0,50	3009	3078	3108	1600	0,70	79,80	1,00	1504	1574	1604	1600	1,40	159,60	2,00	752	822	852	847
							Minimum	3080	3090					Minimum	1585	1595					Minimum	817	847	

DF810DK17 - 8.8.2 und 8.8.4 ESG mit SGP - Folie - EXT - Lasten in Absturzrichtung nach außen (OUT)

- L3 66 mm Abstand oberer zu unterer Lagerpunkt Glas im Profil
- L4 38,5 mm Abstand unterer Lagerpunkt Glas/Profil zu Unterkante Profil
- L7 3,5 mm Abstand unterer Lagerpunkt Glas/Profil zu Unterkante Glas
- Fu 1 mm Horizontale Einheitslast als Linienlast an der Oberkante Glasbrüstung
- Wu 1 mm Horizontale Einheitslast als Flächenlast auf der gesamten Glasbrüstung
- E-Folie 11,92 E-Modul SGP-Folie nach AbZ 2.70.3-253 für Landdauer 1h und Zwischenschichttemperatur von 50° - extern
- HR-ESG 120 Charakteristische Biegesteifigkeit ESG nach DIN 18008
- HR-ESG 80,00 Bemessungswert der Biegesteifigkeit ESG nach DIN 18008 für VSG-Scheibe mit kvgs=1.0 nach AbZ 2.70.3-253
- 0-Hohm 0,7 Kombinationsbeiwert für Hohlasten (Kat.C) nach DIN EN 1990
- 0-Wind 0,6 Kombinationsbeiwert für Windlasten nach DIN EN 1990
- Q 1,5 Teilsicherheitsbeiwert Lastseite für variable Lasten nach DIN EN 1990

Lst	L1	L Glas	emx-hu	der-hu	emx-wu	der-wu	HR-glas	HR-0,5	DF810DK17 - 8.8.2 und 8.8.4 ESG mit SGP - Folie - EXT - Lasten in Absturzrichtung nach außen (OUT)							
									emx-0,5	der-0,5	emx-1,0	der-1,0	emx-2,0	der-2,0	emx-3,0	der-3,0
600	500,5	620,0	24,67	4,22	6,42	0,90	1,62	12,34	18,50	0,23	68,33	44,70	10,64	5,96	6,27	7,85
650	550,5	670,0	27,37	5,30	7,81	1,24	1,61	13,69	20,53	0,26	66,08	43,75	8,46	5,60	6,95	8,94
700	600,5	720,0	29,41	6,54	9,10	1,67	1,63	14,71	22,06	0,28	64,38	43,04	7,07	4,73	7,90	10,36
750	650,5	770,0	32,10	7,93	10,78	2,19	1,62	16,05	24,08	0,30	62,14	42,10	5,76	3,91	8,97	11,54
800	700,5	820,0	34,15	9,50	12,29	2,83	1,64	17,08	25,61	0,32	60,43	41,38	4,92	3,37	9,93	13,10
850	750,5	870,0	36,83	11,25	14,22	3,38	1,63	18,42	27,62	0,35	58,20	40,84	4,09	2,84	10,85	14,42
900	800,5	920,0	39,48	13,16	16,47	4,16	1,65	19,77	29,76	0,38	56,26	40,49	3,36	2,41	11,74	15,55
950	850,5	970,0	41,56	15,13	18,15	5,11	1,64	20,78	31,17	0,41	54,26	38,79	2,98	2,14	12,59	17,55
1000	900,5	1020,0	43,61	17,65	20,10	6,72	1,65	22,81	32,71	0,41	52,55	38,07	2,61	1,89	13,37	19,37
1050	950,5	1070,0	46,29	20,20	22,51	8,11	1,64	25,15	34,72	0,43	50,31	37,13	2,24	1,65	14,13	20,98
1100	1000,5	1120,0	48,34	22,97	24,72	9,70	1,66	28,17	36,26	0,45	48,61	36,41	1,97	1,47	14,79	22,93
1150	1050,5	1170,0	51,02	25,97	27,38	11,50	1,65	30,51	38,27	0,48	46,37	35,48	1,69	1,30	15,29	24,67
1200	1100,5	1220,0	53,08	29,21	29,81	13,53	1,66	32,54	39,81	0,50	44,66	34,76	1,50	1,17	15,77	26,77
1250	1150,5	1270,0	55,75	32,70	32,00	15,80	1,65	34,86	41,43	0,52	42,43	34,10	1,35	1,05	16,22	28,67
1300	1200,5	1320,0	57,85	36,45	33,57	18,34	1,66	36,81	43,36	0,54	40,30	33,10	1,15	0,94	16,63	30,91
1350	1250,5	1370,0	60,47	40,46	35,53	21,21	1,65	39,24	45,35	0,57	38,50	32,17	1,00	0,83	17,01	32,95
1400	1300,5	1420,0	62,54	44,74	41,40	24,36	1,66	41,27	46,91	0,59	36,77	31,44	0,89	0,76	17,31	34,95
1450	1350,5	1470,0	65,20	49,31	44,81	27,84	1,66	43,60	48,90	0,61	34,56	30,51	0,77	0,68	18,50	35,35
1500	1400,5	1520,0	67,27	54,17	47,91	31,67	1,67	45,50	50,45	0,63	32,83	29,79	0,69	0,62	19,69	37,54
1550	1450,5	1570,0	69,93	59,33	51,57	35,88	1,66	47,97	52,45	0,66	30,81	28,86	0,59	0,56	20,08	40,11
1600	1500,5	1620,0	72,00	64,80	54,89	40,48	1,67	50,00	54,00	0,68	28,89	28,13	0,53	0,51	21,30	42,44
																45,18

DF810DK17 - 8.8.2 und 8.8.4 ESG mit SGP - Folie - EXT - Lasten in Absturzrichtung nach außen (OUT)

Lst	L1	L Glas	emx-hu	der-hu	emx-wu	der-wu	HR-glas	HR-0,5	DF810DK17 - 8.8.2 und 8.8.4 ESG mit SGP - Folie - EXT - Lasten in Absturzrichtung nach außen (OUT)													
									emx-0,5	der-0,5	emx-1,0	der-1,0	emx-2,0	der-2,0	emx-3,0	der-3,0	emx-4,0	der-4,0	emx-5,0	der-5,0		
600	500,5	620,0	24,67	4,22	6,42	0,90	1,62	12,34	18,50	0,23	68,33	44,70	10,64	5,96	6,27	7,85	9,00	10,60	12,00	13,08	14,00	
650	550,5	670,0	27,37	5,30	7,81	1,24	1,61	13,69	20,53	0,26	66,08	43,75	8,46	5,60	6,95	8,94	10,00	11,50	13,00	14,00	15,00	
700	600,5	720,0	29,41	6,54	9,10	1,67	1,63	14,71	22,06	0,28	64,38	43,04	7,07	4,73	7,90	10,36	11,50	13,00	14,00	15,00	16,00	
750	650,5	770,0	32,10	7,93	10,78	2,19	1,62	16,05	24,08	0,30	62,14	42,10	5,76	3,91	8,97	11,54	13,00	14,00	15,00	16,00	17,00	
800	700,5	820,0	34,15	9,50	12,29	2,83	1,64	17,08	25,61	0,32	60,43	41,38	4,92	3,37	9,93	13,10	14,00	15,00	16,00	17,00	18,00	
850	750,5	870,0	36,83	11,25	14,22	3,38	1,63	18,42	27,62	0,35	58,20	40,84	4,09	2,84	10,85	14,42	15,00	16,00	17,00	18,00	19,00	
900	800,5	920,0	39,48	13,16	16,47	4,16	1,65	19,77	29,76	0,38	56,26	40,49	3,36	2,41	11,74	15,55	16,00	17,00	18,00	19,00	20,00	
950	850,5	970,0	41,56	15,13	18,15	5,11	1,64	20,78	31,17	0,41	54,26	38,79	2,98	2,14	12,59	17,55	18,00	19,00	20,00	21,00	22,00	
1000	900,5	1020,0	43,61	17,65	20,10	6,72	1,65	22,81	32,71	0,41	52,55	38,07	2,61	1,89	13,37	19,37	20,00	21,00	22,00	23,00	24,00	
1050	950,5	1070,0	46,29	20,20	22,51	8,11	1,64	25,15	34,72	0,43	50,31	37,13	2,24	1,65	14,13	20,98	21,00	22,00	23,00	24,00	25,00	
1100	1000,5	1120,0	48,34	22,97	24,72	9,70	1,66	28,17	36,26	0,45	48,61	36,41	1,97	1,47	14,79	22,93	23,00	24,00	25,00	26,00	27,00	
1150	1050,5	1170,0	51,02	25,97	27,38	11,50	1,65	30,51	38,27	0,48	46,37	35,48	1,69	1,30	15,29	24,67	25,00	26,00	27,00	28,00	29,00	
1200	1100,5	1220,0	53,08	29,21	29,81	13,53	1,66	32,54	39,81	0,50	44,66	34,76	1,50	1,17	15,77	26,77	27,00	28,00	29,00	30,00	31,00	
1250	1150,5	1270,0	55,75	32,70	32,00	15,80	1,65	34,86	41,43	0,52	42,43	34,10	1,35	1,05	16,22	28,67	29,00	30,00	31,00	32,00	33,00	
1300	1200,5	1320,0	57,85	36,45	33,57	18,34	1,66	36,81	43,36	0,54	40,30	33,10	1,15	0,94	16,63	30,91	31,00	32,00	33,00	34,00	35,00	
1350	1250,5	1370,0	60,47	40,46	35,53	21,21	1,65	39,24	45,35	0,57	38,50	32,17	1,00	0,83	17,01	32,95	33,00	34,00	35,00	36,00	37,00	
1400	1300,5	1420,0	62,54	44,74	41,40	24,36	1,66	41,27	46,91	0,59	36,77	31,44	0,89	0,76	17,31	34,95	35,00	36,00	37,00	38,00	39,00	
1450	1350,5	1470,0	65,20	49,31	44,81	27,84	1,66	43,60	48,90	0,61	34,56	30,51	0,77	0,68	18,50	37,54	38,00	39,00	40,00	41,00	42,00	
1500	1400,5	1520,0	67,27	54,17	47,91	31,67	1,67	45,50	50,45	0,63	32,83	29,79	0,69	0,62	19,69	40,11	41,00	42,00	43,00	44,00	45,00	
1550	1450,5	1570,0	69,93	59,33	51,57	35,88	1,66	47,97	52,45	0,66	30,81	28,86	0,59	0,56	20,08	42,44	43,00	44,00	45,00	46,00	47,00	
1600	1500,5	1620,0	72,00	64,80	54,89	40,48	1,67	50,00	54,00	0,68	28,89	28,13	0,53	0,51	21,30	44,44	45,00	46,00	47,00	48,00	49,00	

DF810DK17 - 8.8.2 und 8.8.4 ESG mit SGP - Folie - EXT - Lasten in Absturzrichtung nach außen (OUT)

Lst	L1	L Glas	emx-hu	der-hu	emx-wu	der-wu	HR-glas	HR-0,5	DF810DK17 - 8.8.2 und 8.8.4 ESG mit SGP - Folie - EXT - Lasten in Absturzrichtung nach außen (OUT)												
									emx-0,5	der-0,5	emx-1,0	der-1,0	emx-2,0	der-2,0	emx-3,0	der-3,0	emx-4,0	der-4,0	emx-5,0	der-5,0	
600	500,5	620,0	24,67	4,22	6,42	0,90	1,62	12,34	18,50	0,23	68,33	44,70	10,64	5,96	6,27	7,85	9,00	10,60	12,00	13,08	14,00
650	550,5	670,0	27,37	5,30	7,81	1,24	1,61	13,69	20,53	0,26	66,08	43,75	8,46	5,60	6,95	8,94	10,00	11,50	13,00	14,00	15,00
700	600,5	720,0	29,41	6,54	9,10	1,67	1,63	14,71	22,06	0,28	64,38	43,04	7,07	4,73	7,90	10,36	11,50	13,00	14,00	15,00	16,00
750	650,5	770,0	32,10	7,93	10,78	2,19	1,62	16,05	24,08	0,30	62,14	42,10	5,76	3,91	8,97	11,54	13,00	14,00	15,00	16,00	17,00
800	700,5	820,0	34,15	9,50	12,29	2,83	1,64	17,08	25,61	0,32	60,43	41,38	4,92	3,37	9,93	13,10	14,00	15,00	16,00	17,00	18,00
850	750,5	870,0	36,83	11,25	14,22	3,38	1,63	18,42	27,62	0,35	58,20	40,84	4,09	2,84	10,85	14,42	15,00	16,00	17,00	18,00	19,00
900	800,5	920,0	39,48	13,16	16,47	4,16	1,65	19,77	29,76	0,38	56,26	40,49	3,36	2,41	11,74	15,55	16,00	17,00	18,00	19,00	20,00
950	850,5	970,0	41,56	15,13	18,15	5,11	1,64	20,78	31,17	0,41	54,26	38,79	2,98	2,14	12,59	17,55	18,00	19,00	20,00	21,00	22,00
1000	900,5	1020,0	43,61	17,65	20,10	6,72	1,65	22,81	32,71	0,41	52,55	38,07	2,61	1,89	13,37	19,37	20,00	21,00	22,00	23,00	24,00
1050	950,5	1070,0	46,29	20,20	22,51	8,11	1,64	25,15	34,72	0,43	50,31	37,13	2,24	1,65	14,13	20,98	21,00	22,00	23,00	24,00	25,00
1100	1000,5	1120,0	48,34	22,97	24,72	9															

4.1.4 Ergebnistabellen Glasbemessung DF810DK - Lasten nach innen

DF810DK17 - 8.8.2 und 8.8.4 ESG mit PVB - Folie - Lasten gegen die Abstrichrichtung nach innen (IN)

- L3 64 mm Abstand oberer zu unterer Lagerpunkt Glas im Profil
- L4 33,5 mm Abstand unterer Lagerpunkt Glas Profil zu Unterkante Profil
- L7 3,5 mm Abstand unterer Lagerpunkt Glas/Profil zu Unterkante Glas
- Fu 1 kN/m² Horizontale Einheitslast als Linienlast an der Oberkante Glasbrüstung
- wu 1 kN/m² Horizontale Einheitslast als Flächenlast auf der gesamten Glasbrüstung
- E-Folie 0,0001 E-Modul PVB-Folie nach den Vorgaben der DIN 18008
- FR-ESG 120 Charakteristische Biegezugfestigkeit ESG nach DIN 18008
- FR-ESG 88,00 Bruchdehnung bei Bruch der Folie nach DIN 18008
- FR-ESG 88,00 Bruchdehnung bei Bruch der Folie nach DIN 18008 für VSG-Scheibe
- γ0,Edm 0,7 Kombinationsbeiwert für Einheitslasten (k&S-C) nach DIN EN 1990
- γ0,Wind 0,6 Kombinationsbeiwert für Windlasten nach DIN EN 1990
- γQ 1,5 Teilsicherheitsbeiwert Lastseite für variable Lasten nach DIN EN 1990

Lbrt	L1	L-Glas	hu		wu		del.hu	del.wu	FRmax.0.5		def.SLE									
			emkx.hu	del.hu	emkx.wu	del.wu			FRmax.0.5		FRmax.0.5									
600	500,5	570,0	29,63	7,93	7,47	1,57	1,49	14,82	22,22	14,82	22,22	14,82	22,22	14,82	22,22	14,82	22,22	14,82	22,22	13,18
650	550,5	620,0	32,87	10,39	9,15	2,26	1,49	16,44	24,65	16,44	24,65	16,44	24,65	16,44	24,65	16,44	24,65	16,44	24,65	15,63
700	600,5	670,0	35,58	13,32	10,74	3,14	1,49	17,79	26,69	17,79	26,69	17,79	26,69	17,79	26,69	17,79	26,69	17,79	26,69	18,61
750	650,5	720,0	38,81	16,74	12,73	4,27	1,47	19,41	29,11	19,41	29,11	19,41	29,11	19,41	29,11	19,41	29,11	19,41	29,11	21,54
800	700,5	770,0	41,53	20,71	14,60	5,67	1,48	20,77	31,15	20,77	31,15	20,77	31,15	20,77	31,15	20,77	31,15	20,77	31,15	25,07
850	750,5	820,0	44,74	25,25	16,90	7,39	1,48	22,37	33,26	22,37	33,26	22,37	33,26	22,37	33,26	22,37	33,26	22,37	33,26	28,50
900	800,5	870,0	47,95	30,34	19,44	9,44	1,48	24,14	35,44	24,14	35,44	24,14	35,44	24,14	35,44	24,14	35,44	24,14	35,44	32,50
950	850,5	920,0	50,68	36,25	21,67	11,96	1,48	25,34	38,01	25,34	38,01	25,34	38,01	25,34	38,01	25,34	38,01	25,34	38,01	36,52
1000	900,5	970,0	53,42	42,77	24,13	14,92	1,48	26,31	40,07	26,31	40,07	26,31	40,07	26,31	40,07	26,31	40,07	26,31	40,07	41,14
1050	950,5	1020,0	56,61	50,04	27,02	18,40	1,48	28,31	42,46	28,31	42,46	28,31	42,46	28,31	42,46	28,31	42,46	28,31	42,46	45,70
1100	1000,5	1070,0	59,36	58,08	29,78	22,45	1,48	29,68	44,52	29,68	44,52	29,68	44,52	29,68	44,52	29,68	44,52	29,68	44,52	50,89
1150	1050,5	1120,0	62,55	66,95	32,97	27,13	1,48	31,28	46,91	31,28	46,91	31,28	46,91	31,28	46,91	31,28	46,91	31,28	46,91	56,01
1200	1100,5	1170,0	65,30	76,59	36,02	32,51	1,48	33,65	48,98	33,65	48,98	33,65	48,98	33,65	48,98	33,65	48,98	33,65	48,98	61,82
1250	1150,5	1220,0	67,94	86,94	38,94	38,54	1,48	35,82	50,74	35,82	50,74	35,82	50,74	35,82	50,74	35,82	50,74	35,82	50,74	67,94
1300	1200,5	1270,0	71,24	98,84	42,86	45,63	1,48	38,62	53,43	38,62	53,43	38,62	53,43	38,62	53,43	38,62	53,43	38,62	53,43	73,96
1350	1250,5	1320,0	74,42	111,38	46,66	53,50	1,48	37,21	55,82	37,21	55,82	37,21	55,82	37,21	55,82	37,21	55,82	37,21	55,82	79,96
1400	1300,5	1370,0	77,18	124,93	50,30	62,36	1,48	38,59	57,89	38,59	57,89	38,59	57,89	38,59	57,89	38,59	57,89	38,59	57,89	86,29
1450	1350,5	1420,0	80,36	139,54	54,40	72,27	1,48	40,18	60,27	40,18	60,27	40,18	60,27	40,18	60,27	40,18	60,27	40,18	60,27	93,33
1500	1400,5	1470,0	83,12	155,24	58,32	83,31	1,48	41,56	62,34	41,56	62,34	41,56	62,34	41,56	62,34	41,56	62,34	41,56	62,34	102,06
1550	1450,5	1520,0	86,30	172,08	62,73	95,58	1,48	43,15	64,73	43,15	64,73	43,15	64,73	43,15	64,73	43,15	64,73	43,15	64,73	109,68
1600	1500,5	1570,0	89,65	190,99	66,94	109,13	1,48	44,53	66,73	44,53	66,73	44,53	66,73	44,53	66,73	44,53	66,73	44,53	66,73	118,10

DF810DK17 - 8.8.2 und 8.8.4 ESG mit PVB - Folie - Lasten gegen die Abstrichrichtung nach innen (IN)

Lbrt	L1	L-Glas	hu		wu		del.hu	del.wu	FRmax.1.0		def.SLE									
			emkx.hu	del.hu	emkx.wu	del.wu			FRmax.1.0											
600	500,5	570,0	29,63	7,93	7,47	1,57	1,49	14,82	22,22	14,82	22,22	14,82	22,22	14,82	22,22	14,82	22,22	14,82	22,22	13,18
650	550,5	620,0	32,87	10,39	9,15	2,26	1,49	16,44	24,65	16,44	24,65	16,44	24,65	16,44	24,65	16,44	24,65	16,44	24,65	15,63
700	600,5	670,0	35,58	13,32	10,74	3,14	1,49	17,79	26,69	17,79	26,69	17,79	26,69	17,79	26,69	17,79	26,69	17,79	26,69	18,61
750	650,5	720,0	38,81	16,74	12,73	4,27	1,47	19,41	29,11	19,41	29,11	19,41	29,11	19,41	29,11	19,41	29,11	19,41	29,11	21,54
800	700,5	770,0	41,53	20,71	14,60	5,67	1,48	20,77	31,15	20,77	31,15	20,77	31,15	20,77	31,15	20,77	31,15	20,77	31,15	25,07
850	750,5	820,0	44,74	25,25	16,90	7,39	1,48	22,37	33,26	22,37	33,26	22,37	33,26	22,37	33,26	22,37	33,26	22,37	33,26	28,50
900	800,5	870,0	47,95	30,34	19,44	9,44	1,48	24,14	35,44	24,14	35,44	24,14	35,44	24,14	35,44	24,14	35,44	24,14	35,44	32,50
950	850,5	920,0	50,68	36,25	21,67	11,96	1,48	25,34	38,01	25,34	38,01	25,34	38,01	25,34	38,01	25,34	38,01	25,34	38,01	36,52
1000	900,5	970,0	53,42	42,77	24,13	14,92	1,48	26,31	40,07	26,31	40,07	26,31	40,07	26,31	40,07	26,31	40,07	26,31	40,07	41,14
1050	950,5	1020,0	56,61	50,04	27,02	18,40	1,48	28,31	42,46	28,31	42,46	28,31	42,46	28,31	42,46	28,31	42,46	28,31	42,46	45,70
1100	1000,5	1070,0	59,36	58,08	29,78	22,45	1,48	29,68	44,52	29,68	44,52	29,68	44,52	29,68	44,52	29,68	44,52	29,68	44,52	50,89
1150	1050,5	1120,0	62,55	66,95	32,97	27,13	1,48	31,28	46,91	31,28	46,91	31,28	46,91	31,28	46,91	31,28	46,91	31,28	46,91	56,01
1200	1100,5	1170,0	65,30	76,59	36,02	32,51	1,48	33,65	48,98	33,65	48,98	33,65	48,98	33,65	48,98	33,65	48,98	33,65	48,98	61,82
1250	1150,5	1220,0	67,94	86,94	38,94	38,54	1,48	35,82	50,74	35,82	50,74	35,82	50,74	35,82	50,74	35,82	50,74	35,82	50,74	67,94
1300	1200,5	1270,0	71,24	98,84	42,86	45,63	1,48	38,62	53,43	38,62	53,43	38,62	53,43	38,62	53,43	38,62	53,43	38,62	53,43	73,96
1350	1250,5	1320,0	74,42	111,38	46,66	53,50	1,48	37,21	55,82	37,21	55,82	37,21	55,82	37,21	55,82	37,21	55,82	37,21	55,82	79,96
1400	1300,5	1370,0	77,18	124,93	50,30	62,36	1,48	38,59	57,89	38,59	57,89	38,59	57,89	38,59	57,89	38,59	57,89	38,59	57,89	86,29
1450	1350,5	1420,0	80,36	139,54	54,40	72,27	1,48	40,18	60,27	40,18	60,27	40,18	60,27	40,18	60,27	40,18	60,27	40,18	60,27	93,33
1500	1400,5	1470,0	83,12	155,24	58,32	83,31	1,48	41,56	62,34	41,56	62,34	41,56	62,34	41,56	62,34	41,56	62,34	41,56	62,34	102,06
1550	1450,5	1520,0	86,30	172,08	62,73	95,58	1,48	43,15	64,73	43,15	64,73	43,15	64,73	43,15	64,73	43,15	64,73	43,15	64,73	109,68
1600	1500,5	1570,0	89,65	190,99	66,94	109,13	1,48	44,53	66,73	44,53	66,73	44,53	66,73	44,53	66,73	44,53	66,73	44,53	66,73	118,10

DF810DK21 - 10.10.2 und 10.10.4 ESG mit PVB - Folie - Lasten gegen die Absturzrichtung nach innen (IN)

- L3 66 mm
- L4 33,5 mm
- L7 2,5 mm
- Fu mm
- wu 1 mm
- E_Folie 0,0001 mm
- FRK_ESG 120 N/mm²
- FRK_ESG 120 N/mm²
- FRK_ESG 88,00 N/mm²
- 0-Hoim 0,7
- 0-Wind 0,6
- Q 1,5

- Abstand oberer zu unterer Lagerpunkt Glas im Profil
- Abstand unterer Lagerpunkt Glas/Profil zu Unterkante Profil
- Abstand unterer Lagerpunkt Glas/Profil zu Unterkante Glas
- Horizontale Einheitlast als Linienlast an der Oberkante Glasabstützung
- Horizontale Einheitlast als Fiktionlast auf der gesamten Glasabstützung
- E-Modul PVB-Folie nach den Vorgaben der DIN 18008
- Charakteristische Biegezugfestigkeit ESG nach DIN 18008
- Elastizitätsmodul Magnesiaanteile für ESG nach DIN 18008
- Bruchdehnung für ESG nach DIN 18008
- Kombinationsbeiwert für Windlasten (k_{1,c}) nach DIN EN 1990
- Kombinationsbeiwert für Windlasten (k_{2,c}) nach DIN EN 1990
- Teilsicherheitsbeiwert Lastseite für variable Lasten nach DIN EN 1990

Lot	L1	L Glas	hu			wu			DF810DK21 - 10.10.2 und 10.10.4 ESG mit PVB - Folie - Lasten gegen die Absturzrichtung nach innen (IN)										
			g _{max,hu}	def _{hu}	g _{max,wu}	def _{wu}	MkD _{glas}	k _{0,0.5}	g _{EL,max,0.5}	g _{EL,min,0.5}	u _{0,0.5}	g _{wk,1}	g _{wk,2}	h _{ik,0.5} RN/m	wk ₂	wk _{min,0.5}	def _{wk,1}	def _{wk,2}	def _{SLE}
600	500,5	570,0	19,41	4,11	4,89	0,82	2,25	0,50	0,50	14,56	0,17	31,40	51,13	13,37	10,51	2,69	13,68	8,70	10,27
650	590,5	670,0	21,53	5,38	5,97	1,17	2,25	0,50	0,50	10,77	0,18	79,84	51,13	11,15	8,56	8,56	15,65	10,02	12,08
700	600,5	720,0	23,30	6,89	7,03	1,63	2,27	0,50	0,50	11,65	0,20	78,36	50,51	11,15	7,19	3,45	18,17	11,71	14,35
750	650,5	770,0	25,41	8,66	8,32	2,21	2,25	0,50	0,50	12,71	0,22	76,60	49,77	9,21	5,98	4,33	20,35	13,22	16,54
800	700,5	820,0	27,19	10,70	9,57	2,94	2,27	0,50	0,50	13,60	0,23	75,12	49,15	7,85	5,14	5,15	23,08	15,10	19,20
850	750,5	870,0	29,30	13,04	11,05	3,82	2,25	0,50	0,50	14,65	0,25	73,36	48,41	6,84	4,38	6,82	25,36	16,74	21,74
900	800,5	920,0	31,18	18,70	14,18	6,19	2,26	0,50	0,50	16,59	0,28	70,13	47,05	4,95	3,32	9,35	30,61	20,54	27,72
1000	900,5	1020,0	37,07	25,80	17,69	9,51	2,27	0,50	0,50	17,49	0,30	68,64	46,43	4,34	2,94	11,03	33,49	22,66	31,13
1050	950,5	1070,0	40,95	34,49	19,5	11,59	2,27	0,50	0,50	19,43	0,33	65,39	45,07	3,78	2,58	12,90	35,96	24,56	34,47
1100	1000,5	1120,0	42,75	39,49	21,59	14,01	2,26	0,50	0,50	20,48	0,35	63,65	44,33	2,95	2,05	14,97	38,87	26,79	38,29
1200	1100,5	1170,0	46,64	47,75	23,99	16,78	2,27	0,50	0,50	21,38	0,36	62,15	43,70	2,63	1,85	17,25	41,31	28,77	42,03
1300	1200,5	1220,0	48,72	50,89	26,07	23,53	2,27	0,50	0,50	23,32	0,40	58,91	42,34	2,10	1,51	19,75	44,21	31,09	46,27
1350	1300,5	1320,0	48,72	57,33	30,56	27,59	2,26	0,50	0,50	24,36	0,42	57,18	41,61	1,87	1,36	21,45	46,38	33,49	50,64
1400	1300,5	1420,0	50,52	64,29	32,94	32,14	2,27	0,50	0,50	25,26	0,43	55,68	40,98	1,69	1,24	23,15	48,33	35,99	54,74
1450	1350,5	1470,0	52,61	71,80	35,62	37,24	2,26	0,50	0,50	26,31	0,45	53,94	40,25	1,51	1,13	25,00	50,39	38,29	58,73
1500	1400,5	1520,0	54,41	79,86	38,19	42,93	2,27	0,50	0,50	27,21	0,46	52,44	39,62	1,37	1,04	26,79	52,36	40,88	62,73
1550	1400,5	1520,0	56,99	88,51	41,08	49,34	2,26	0,50	0,50	28,25	0,48	50,70	38,90	1,23	0,95	28,77	54,31	43,49	66,73
1600	1500,5	1570,0	59,30	97,76	43,83	56,22	2,26	0,50	0,50	29,13	0,50	49,19	38,28	1,12	0,87	31,09	56,39	46,28	70,30

Lot	L1	L Glas	hu			wu			DF810DK21 - 10.10.2 und 10.10.4 ESG mit PVB - Folie - Lasten gegen die Absturzrichtung nach innen (IN)									
			g _{max,hu}	def _{hu}	g _{max,wu}	def _{wu}	MkD _{glas}	k _{0,0.5}	g _{EL,max,0.5}	g _{EL,min,0.5}	u _{0,0.5}	g _{wk,1}	g _{wk,2}	h _{ik,0.5} RN/m	wk ₂	wk _{min,0.5}	def _{wk,1}	def _{wk,2}
1,00	19,41	29,12	0,33	65,43	43,68	13,38	9,22	4,11	10,97	7,56	12,13	8,54	10,69					
1,00	21,53	32,30	0,37	61,89	43,60	10,37	7,30	5,38	12,13	8,54	12,66							
1,00	23,30	34,95	0,40	58,94	42,36	8,38	6,03	6,89	13,67	9,82	15,09							
1,00	25,41	38,12	0,43	55,43	40,88	6,66	4,91	8,66	14,72	10,86	17,49							
1,00	27,19	40,79	0,46	52,46	39,63	5,48	4,14	10,70	16,12	12,18	20,37							
1,00	29,30	43,16	0,49	49,83	38,16	4,45	3,45	12,66	17,49	13,91	23,25							
1,00	31,18	46,62	0,53	45,98	35,94	3,68	2,96	15,70	18,94	14,48	26,32							
1,00	33,18	49,77	0,57	42,48	35,44	3,00	2,50	18,70	18,54	15,47	29,83							
1,00	34,97	52,46	0,60	39,49	34,19	2,50	2,16	22,06	19,27	16,68	33,62							
1,00	37,07	55,61	0,63	35,99	32,72	2,03	1,85	25,80	19,35	17,59	37,41							
1,00	38,86	58,29	0,66	33,01	31,46	1,69	1,61	29,84	19,62	18,70	41,71							
1,00	40,95	61,43	0,70	29,53	30,00	1,37	1,39	34,49	19,16	19,47	45,99							
1,00	42,75	63,73	0,73	26,53	29,74	1,12	1,22	39,49	18,97	20,41	50,81							
1,00	44,75	66,28	0,76	23,99	29,44	0,93	0,93	44,95	18,46	21,41	56,19							
1,00	46,64	69,96	0,80	20,94	24,02	0,71	0,93	50,89	16,80	21,81	60,97							
1,00	48,72	73,08	0,83	16,58	24,55	0,54	0,80	57,33	14,97	22,18	66,31							
1,00	50,52	75,78	0,86	13,58	23,30	0,41	0,71	64,29	13,25	22,74	72,24							
1,00	52,61	81,62	0,90	10,09	21,84	0,28	0,61	71,80	10,55	22,83	78,13							
1,00	54,41	84,74	0,93	7,09	20,58	0,19	0,54	79,86	7,97	23,13	84,64							
1,00	56,99	88,74	0,96	3,63	19,12	0,09	0,47	88,51	4,35	22,92	91,12							
1,00	59,30	97,43	0,99	0,01	17,86	0,01	0,41	97,76	0,78	22,60	98,23							

DF810DK17 - 8.8.2 und 8.4 ESG mit SGP - Folie - EXT - Lasten gegen die Absturzrichtung nach innen (IN)

- L3 66 mm
L4 33,5 mm
L7 2,5 mm
Fu 1 mm
E_Folie 11,92 mm
FRK_ESG 120 mm
FRK_ESG 80,00 mm
-0-Wind 0,7
-0-Wind 0,6
-0-Wind 1,5

- Abstand oberer zu unterer Lagerpunkt Glas im Profil
Abstand unterer Lagerpunkt Glas/Profil zu Unterkante Profil
Abstand unterer Lagerpunkt Glas/Profil zu Unterkante Glas
Horizontale Einheitlast als Linienlast an der Oberkante Glasabstützung
Horizontale Einheitlast als Flächenlast auf der gesamten Glasabstützung
E-Modul SGP-Folie nach Abz. Z7.0.3-25.3 für Lastdauer 1h und Zwischenschichttemperatur von 50°
Charakteristische Biegezugfestigkeit ESG nach DIN 18008
Elastizitätsmodul Materialglas für ESG nach DIN 18008
Kombinationsbeiwert für Windlasten (k1,c) nach DIN EN 1990
Kombinationsbeiwert für Windlasten (k1,c) nach DIN EN 1990
Teilsicherheitsbeiwert Lastseite für variable Lasten nach DIN EN 1990

Table with columns: Lot, L1, L Glas, hu, def.hu, qmax.hu, def.wu, wu, MEd.glas, kN.0.5, qEd, qEd.m,0.5, qEd.m,0.5, ut.0.5, qwk.1, qwk.2, hEd.0.5 KN/m, wk.2, wk.m,0.5, def.hk, def.wk.1, def.wk.2, def.SLE

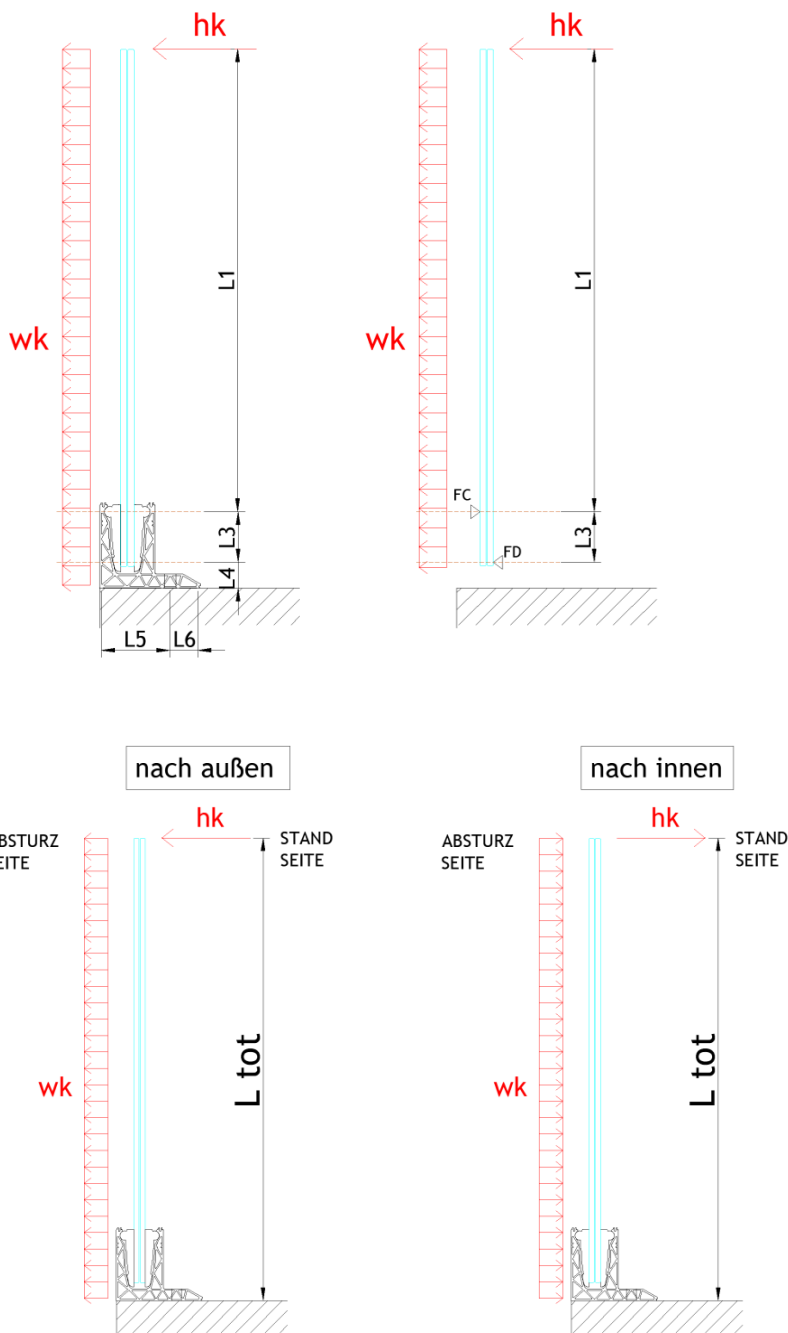
DF810DK17 - 8.8.2 und 8.4 ESG mit SGP - Folie - EXT - Lasten gegen die Absturzrichtung nach innen (IN)

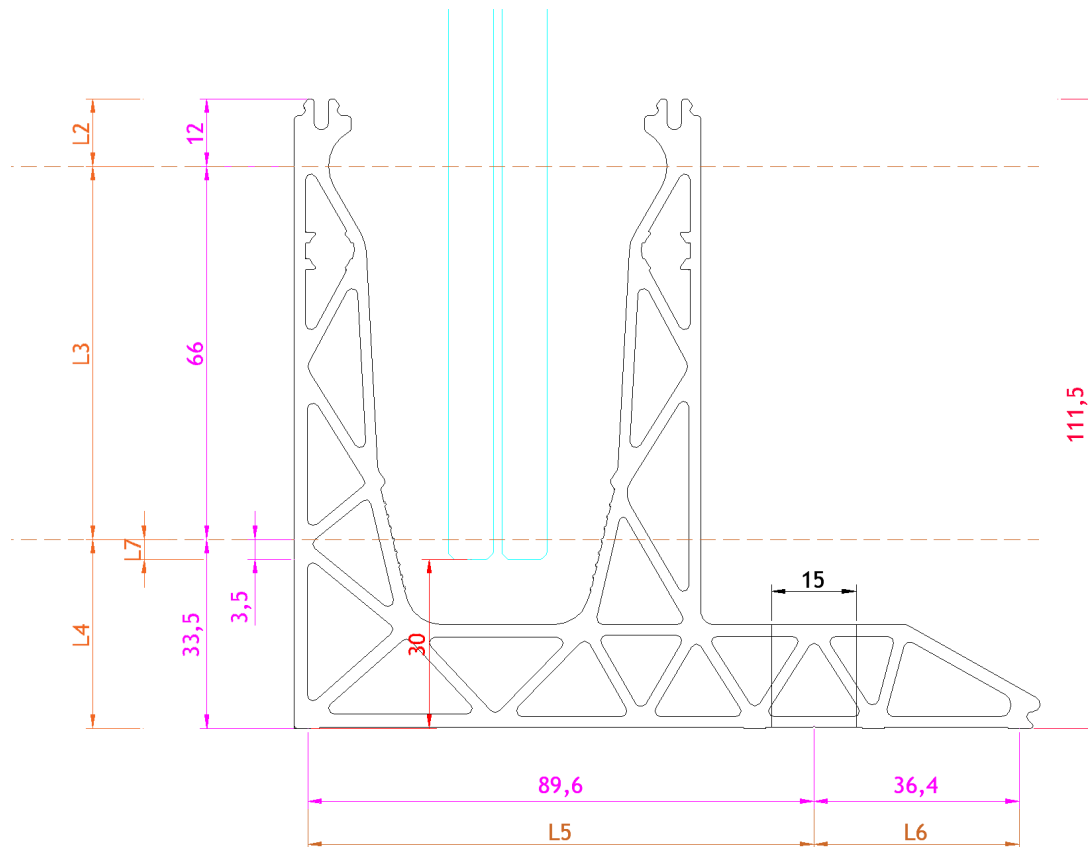
Table with columns: kN.1.0, qEd, qEd.m,1.0, qEd.m,1.0, ut.1.0, qwk.1, qwk.2, hEd.1.0 KN/m, wk.2, wk.m,1.0, def.hk, def.wk.1, def.wk.2, def.SLE

4.2 Bemessung Aluminiumprofil

4.2.1 Allgemeine Informationen

Die Berechnung des Aluminiumprofils erfolgt iterativ über das Berechnungsprogramm Sofistik. In einem ersten Schritt wird eine bestimmte maximale Höhe des Brüstungssystems und eine maximale horizontale Belastung am Holm gewählt. Die Aufbringung dieser Last auf das Glas erzeugt Reaktionen im Profil (siehe Abbildungen).



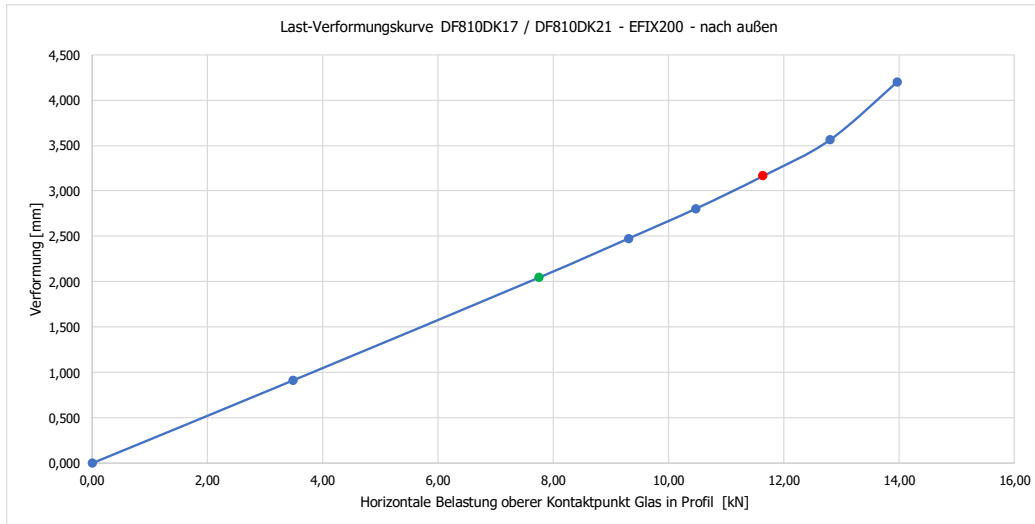


In einem zweiten Schritt werden diese beiden gegenläufigen Abstützkräfte Glas/Profil als lineare Lasten in der numerischen Berechnung auf die Stege des Profils aufgebracht. Diese Belastungen werden dann so lange iterativ modifiziert, bis sie im Profil die maximal erlaubten plastische Verformungen erzeugen bzw. generell die Tragfähigkeit des Profils erreicht ist. Somit kann anschließend unter Kenntnis dieser maximal aufnehmbaren Last des Profils für eine bestimmte vorgegebene Holmlast die maximal zusätzlich aufnehmbare Windlast unter Berücksichtigung folgender Formeln ermittelt werden:

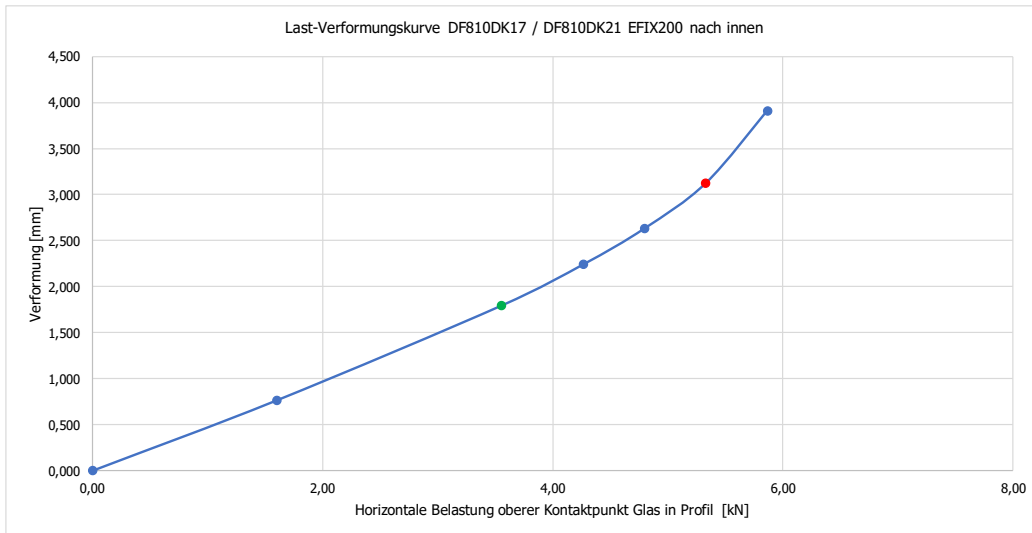
$F_{cd,max} = F_{cd,h} + F_{cd,wind}$	Maximale Reaktionskraft aus Verglasung auf Profil oben
$F_{cd,h} = h_d \cdot (L1 + L3) / L3$	Maximale Reaktionskraft oben aus Holmlast h_d
$F_{cd,wind} = W_d \cdot (L1 + L3)^2 / 2 \cdot L3$	Maximale Reaktionskraft oben aus Windlast w_d
→ w_d (wk)	Maximal zusätzlich zur Holmlast aufnehmbare Windlast

Nachfolgend sind die Ergebnisse der Profilbemessung in tabellarischer Form zusammengestellt. Für die Dokumentation der numerischen Berechnung mit Sofistik siehe Anhang.

Lastrichtung nach außen	Lastfaktor	FC.Rd.außen.FE	FC.Rd.außen.FE	Verformung
	-	kN	kN/m	mm
	0,00	0,00	0,00	0,000
	0,30	3,49	17,45	0,914
SLS	0,67	7,76	38,78	2,047
	0,80	9,31	46,54	2,477
	0,90	10,47	52,36	2,804
ULS	1,00	11,63	58,17	3,163
	1,10	12,80	63,99	3,561
	1,20	13,96	69,81	4,198



Lastrichtung nach innen	Lastfaktor	FC.Rd.innen.FE	FC.Rd.innen.FE	Verformung
	-	kN	kN/m	mm
	0,00	0,00	0,00	0,000
	0,30	1,60	8,00	0,763
SLS	0,67	3,56	17,78	1,792
	0,80	4,27	21,33	2,239
	0,90	4,80	24,00	2,630
ULS	1,00	5,33	26,66	3,122
	1,10	5,87	29,33	3,908

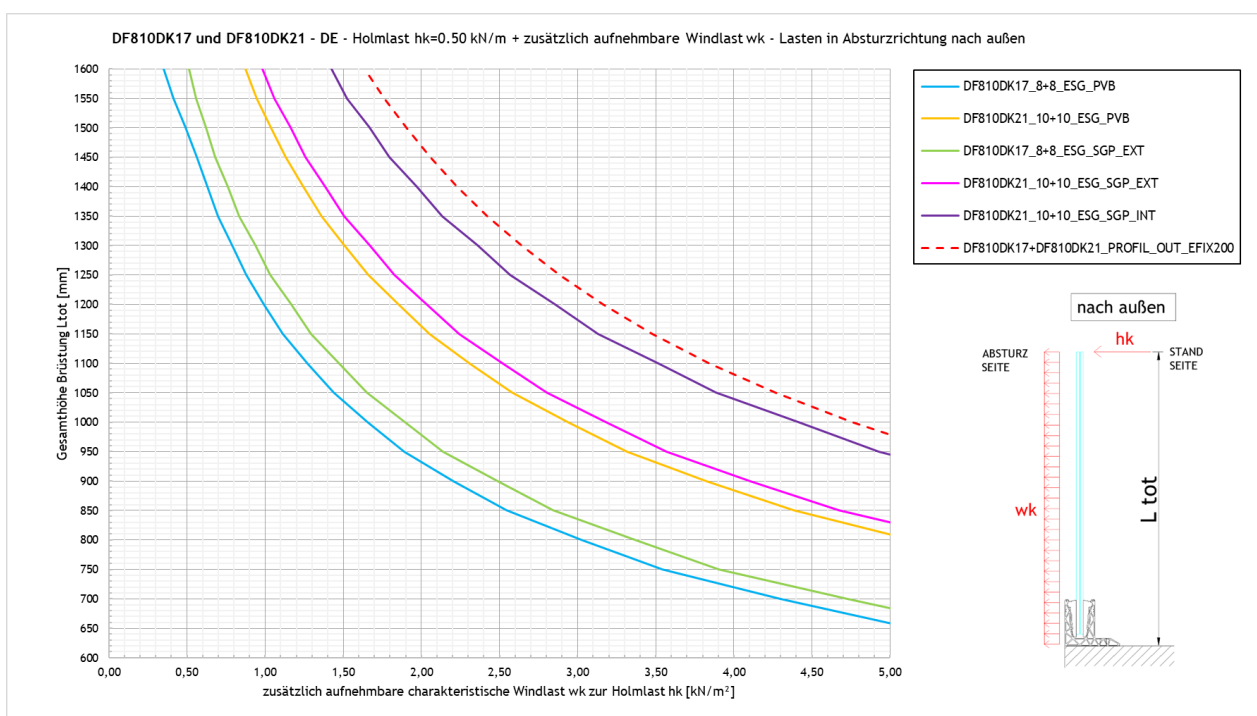


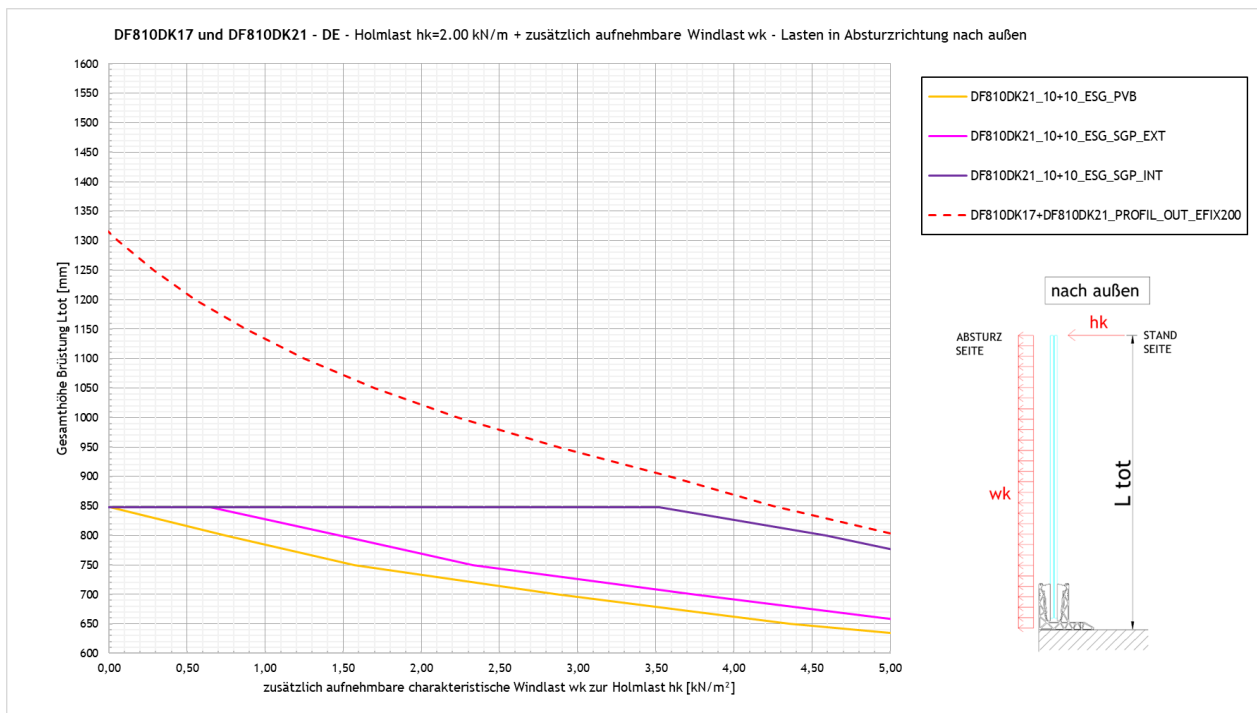
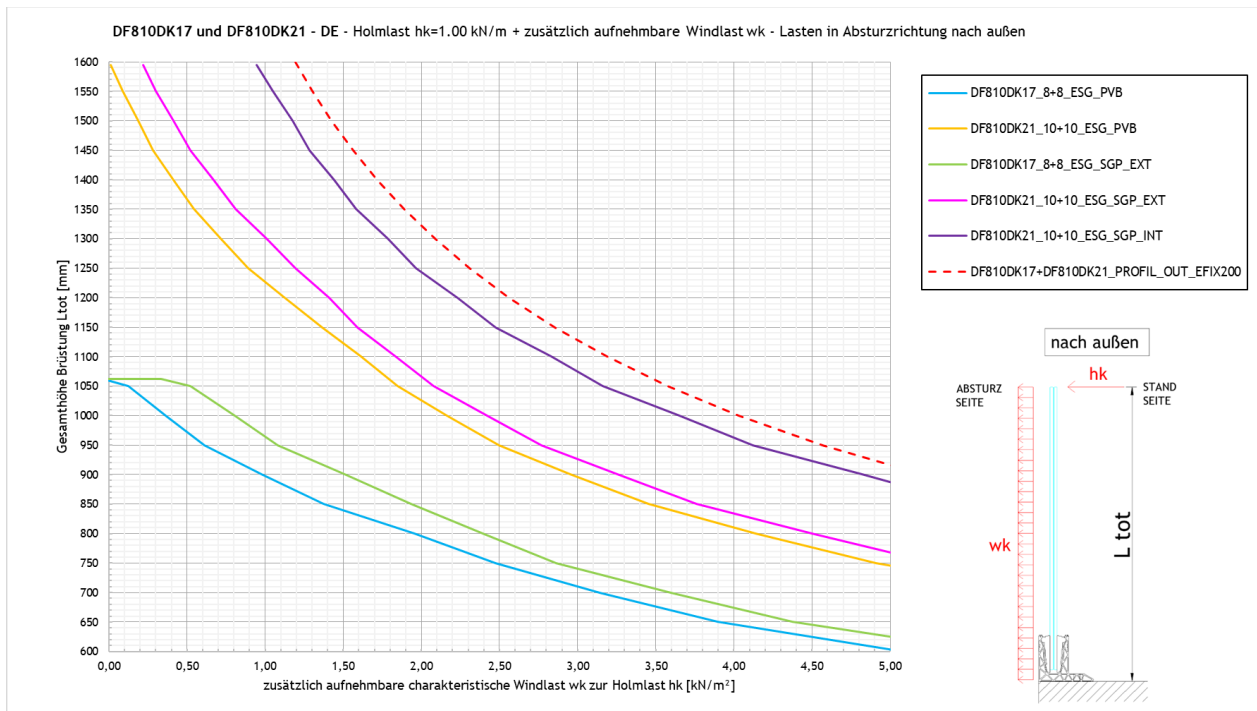
5 Zusammenfassung Ergebnisse Glas- und Profilbemessung

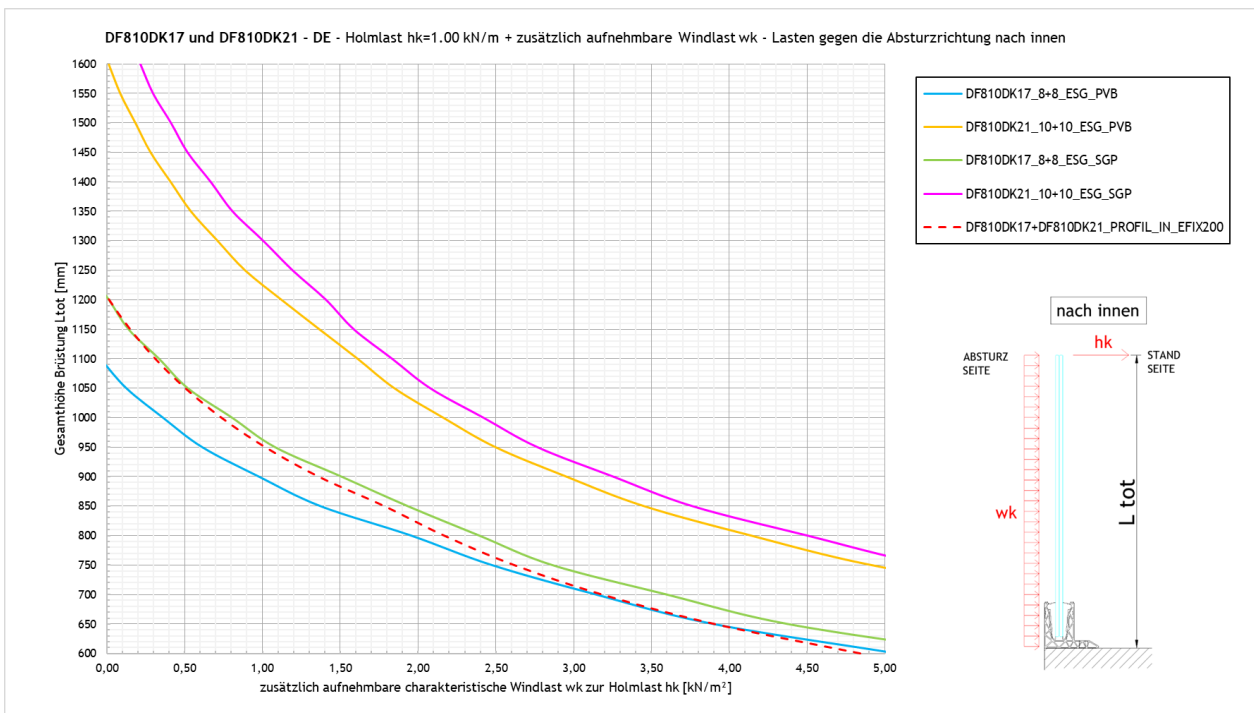
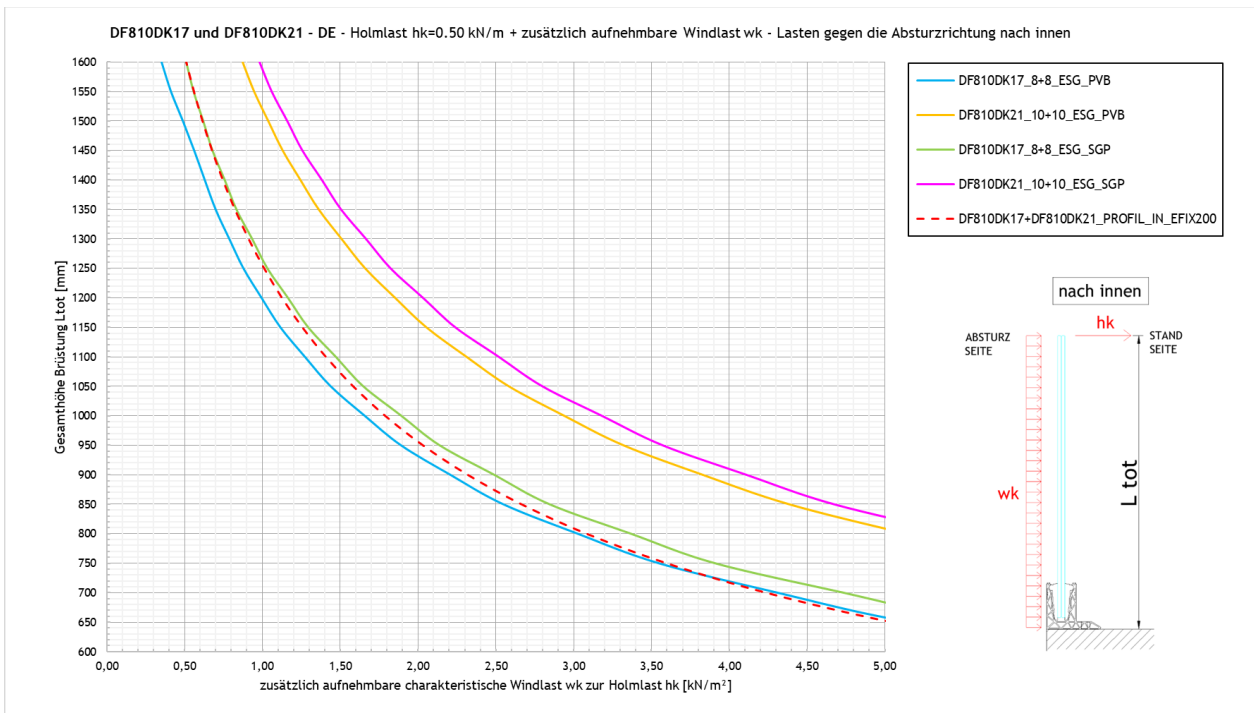
5.1 Maximale zusätzlich zur Holmlast aufnehmbare Windlast w_k

In den folgenden Abbildungen ist die maximale zusätzlich zur Holmlast noch aufnehmbare Windlast dargestellt, sowohl für die Absturzrichtung als auch entgegen der Absturzrichtung

Bei einem Einsatz im Gebäudeinneren ohne Windlast bzw. bei nur Betrachtung der Holmlast sind die Grafiken für eine Windlast von 0 kN/m^2 auszulesen, der Schnittpunkt der Kurven mit der Y-Achse ergibt dann direkt die maximal zulässige Brüstungshöhe.







5.2 Zusammenfassung Systemwiderstand für Holmlasten

In der nachfolgenden Tabelle sind für die Glasbrüstung DEFENDER DF810DK verschiedene Anwendungssituationen für unterschiedliche Glasaufbauten, Befestigungsabstände und Holmlasten zusammengefasst. Die Ergebnisse sind auf Basis der statischen Tragfähigkeit von Glas und Profil ermittelt.

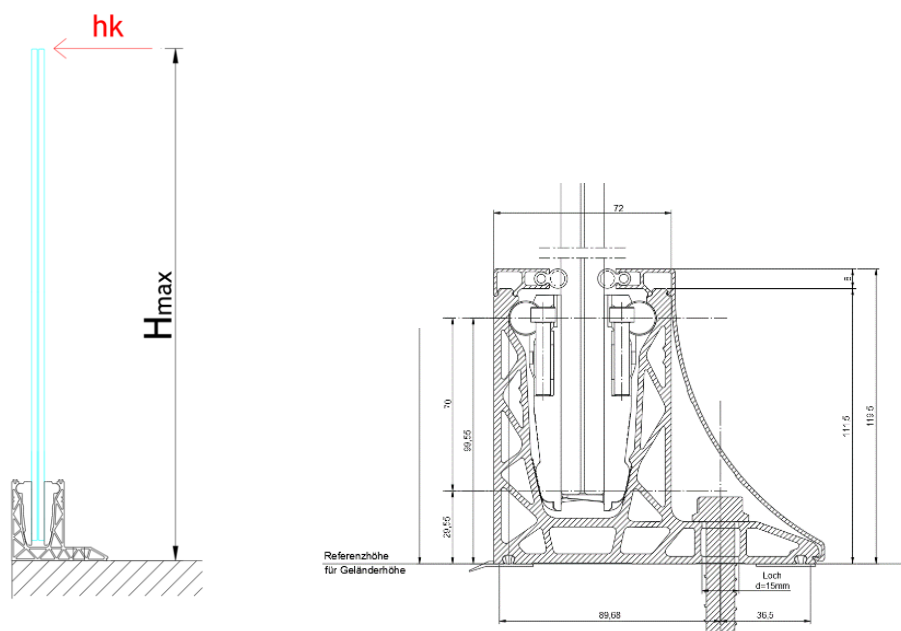
a) Vorbemessungstabelle für Brüstungssystem DF810DK ohne tragenden Handlauf aber mit Kantenschutz

DF810DK					
Anwendung	Glasaufbau	Abstand Befestigungsmittel in cm	Maximale Geländerrhöhe ² (Hmax) in [cm] - Bezugsebene = Unterkante Profil - siehe Skizze unten		
			hk=0,5 kN/m	hk=1,0 kN/m	hk=2,0 kN/m
Intern + Extern (Innenbereich / Fassadenbereich ¹) - nur Holmlasten ²	88.2 ESG mit PVB/Sentryglas®	20	130	100	-
		40	110	-	-
	1010.2 ESG mit PVB/Sentryglas®	20	130	130	80

¹ Innenbereich bzw. Fassadenbereich entsprechend den Vorgaben der AbZ Z-70.3-253 (Sentryglas®-Folie)

² Die Tabellenwerte gelten für Holmlasten nach außen in Absturzrichtung - siehe Richtung hk in der Grafik unten - und sind aus dem statischen Tragwiderstand im GZT von Glas und Aluminiumprofil abgeleitet.

Systemdarstellung und Lastrichtung für die zusammengefassten Ergebnisse in der Tabelle:



b) Vorbemessungstabelle für Brüstungssystem DF810DK mit tragendem Handlauf ³

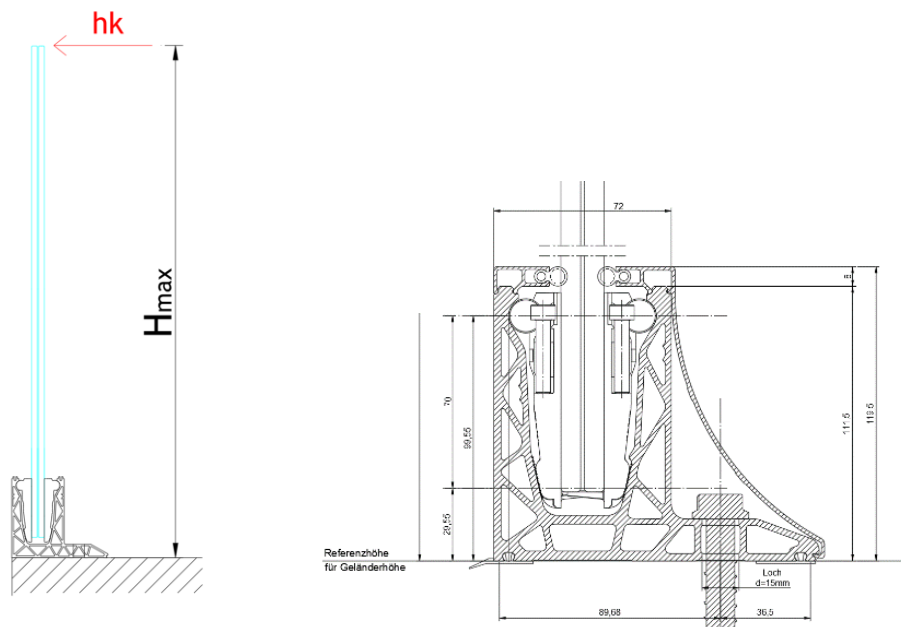
DF810DK					
Anwendung	Glasaufbau	Abstand Befestigungsmittel in cm	Maximale Geländerhöhe ² (Hmax) in [cm] - Bezugsebene = Unterkante Profil - siehe Skizze unten		
			hk=0,5 kN/m	hk=1,0 kN/m	hk=2,0 kN/m
Intern + Extern (Innenbereich / Fassadenbereich ¹) - nur Holmlasten ²	88.2 ESG mit PVB/Sentryglas®	20	130	100	-
		40	110	-	-
	88.2 ESG mit Sentryglas®	20	130	110	-
	1010.2 ESG mit PVB/Sentryglas®	20	130	130	80
Intern (Innenbereich ¹) - nur Holmlasten ²	1010.2 ESG mit Sentryglas®	20	130	130	110

¹ Innenbereich bzw. Fassadenbereich entsprechend den Vorgaben der AbZ Z-70.3-253 (Sentryglas®-Folie)

² Die Tabellenwerte gelten für Holmlasten nach außen in Absturzrichtung - siehe Richtung hk in der Grafik unten - und sind aus dem statischen Tragwiderstand im GZT von Glas und Aluminiumprofil abgeleitet.

³ Das Ausfallszenario für die Glasbrüstung (nach DIN 18008-4, 6.1.2) sowie der Nachweis des tragenden Handlaufs ist projektbezogen zu untersuchen, die Tabellenwerte beziehen sich auf die intakte VSG-Einheit.

Systemdarstellung und Lastrichtung für die zusammengefassten Ergebnisse in der Tabelle:

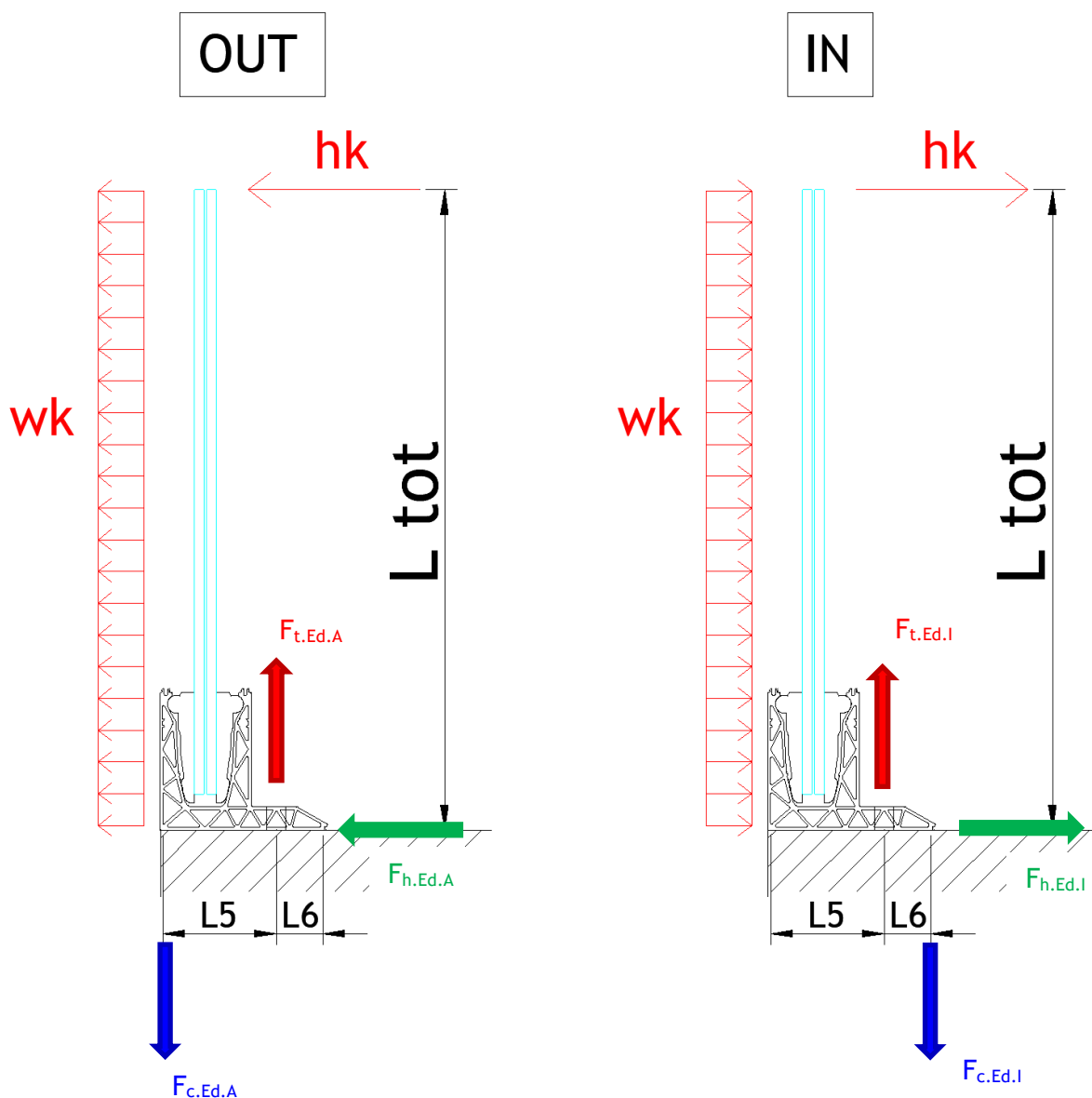


5.3 Reaktionskräfte Verankerung

Nachfolgend werden die Reaktionskräfte auf die Verankerung (Druck- und Zugkomponenten) bzw. die Formel für deren Berechnung für einen Verankerungsabstand von $e=200$ mm für beide Lastrichtungen nach außen und nach innen angegeben.

Nach außen in Absturzrichtung

Nach innen gegen die Absturzrichtung



Für Verankerungsabstand $e=200$ mm:

Nach außen in Absturzrichtung:

$$FtEd.A.e200 = e * \max\left(\frac{1.5 * hk * Ltot + 1.5 * 0.6 * wk * \frac{Ltot^2}{2}}{L5}; \frac{1.5 * 0.7 * hk * Ltot + 1.5 * wk * \frac{Ltot^2}{2}}{L5}\right)$$

$$FhEd.A.e200 = e * \max(1.5 * hk + 1.5 * 0.6 * wk * Ltot; 1.5 * 0.7 * hk + 1.5 * wk * Ltot)$$

$$\text{mit } e = 200\text{mm} + L5 = 89.6\text{mm}$$

$$FcEd.A.e200 = FtEd.A.e200$$

Nach innen gegen die Absturzrichtung:

$$FtEd.I.e200 = e * \max\left(\frac{1.5 * hk * Ltot + 1.5 * 0.6 * wk * \frac{Ltot^2}{2}}{L6}; \frac{1.5 * 0.7 * hk * Ltot + 1.5 * wk * \frac{Ltot^2}{2}}{L6}\right)$$

$$FhEd.I.e200 = e * \max(1.5 * hk + 1.5 * 0.6 * wk * Ltot; 1.5 * 0.7 * hk + 1.5 * wk * Ltot)$$

$$\text{mit } e = 200 \text{ mm} + L6 = 36.4\text{mm}$$

$$FcEd.I.e200 = FtEd.I.e200$$

Anhang - Numerische Berechnung

a) Grundlagen der numerischen Berechnung

23065 Defender 810 - GER+CH, Logli

DF810DK17 und DF810DK21

Einbauort: Deutschland, Schweiz

$$Y_{perm} := 1.35$$

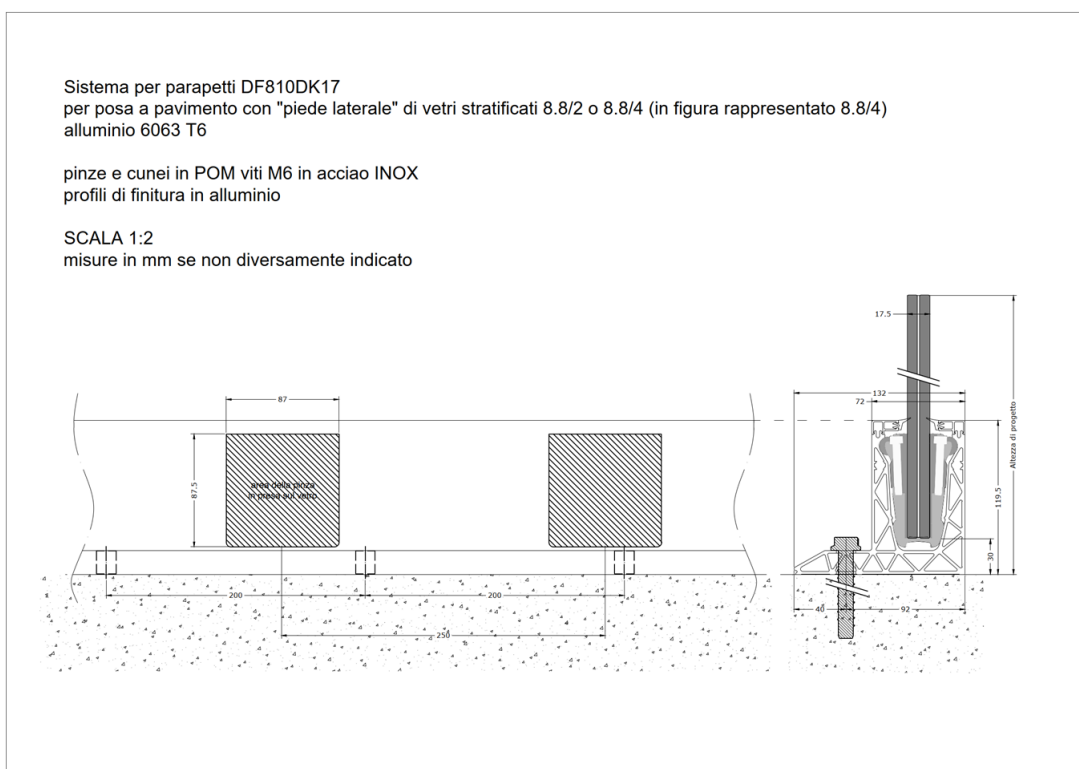
$$Y_{var} := 1.5$$

Legierung Aluprofile: EN AW6063-T6 mit $t \leq 25$ mm

$$f_{ok} := 160 \text{ MPa} \quad f_{uk} := 195 \text{ MPa} \quad Y_{0alu} := 1.10 \quad Y_{1alu} := 1.10 \quad Y_{2alu} := 1.25$$

$$E_{alu} := 70000 \text{ MPa} \quad \rho_{alu} := 27 \frac{\text{kN}}{\text{m}^3}$$

$$f_{od} := \frac{f_{ok}}{Y_{0alu}} = 145.4545 \frac{\text{N}}{\text{mm}^2}$$



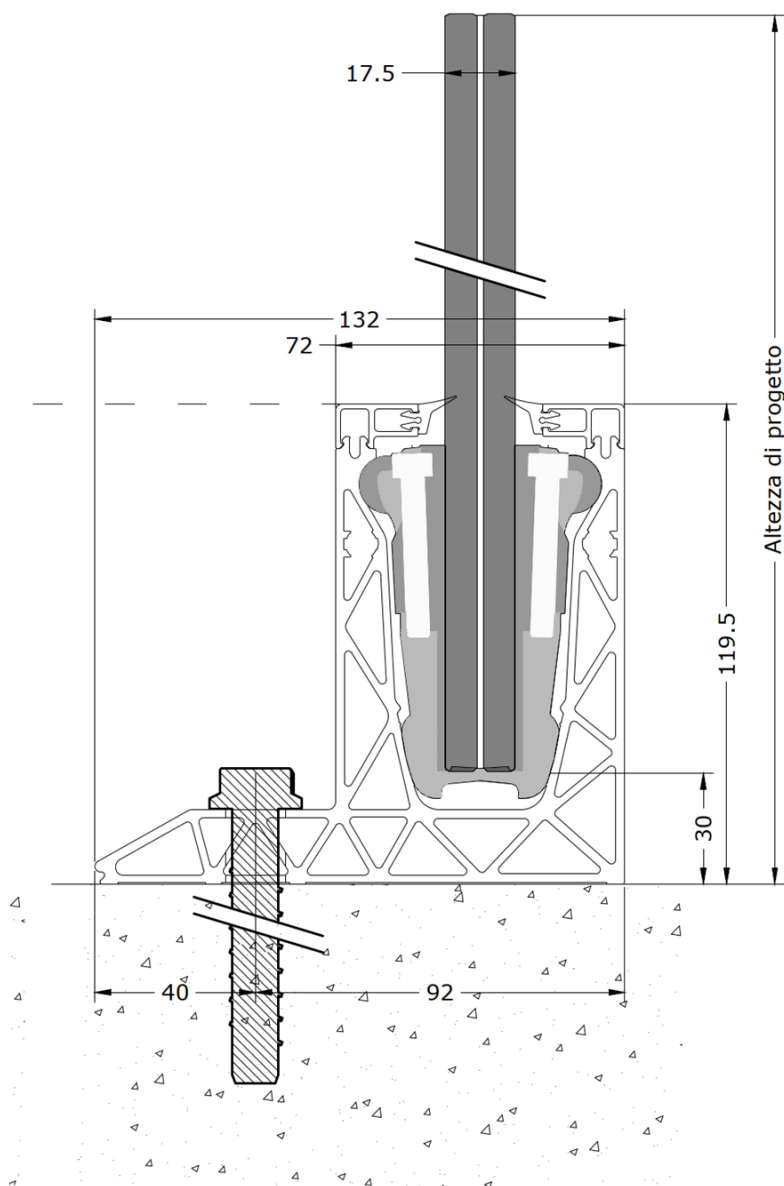
BESTIMMUNG REAKTIONSKRÄFTE GLAS / PROFIL

$$q_{max.ek.out} := 2.4 \frac{kN}{m}$$

$$q_{max.ed.out} := q_{max.ek.out} \cdot \gamma_{var} = 3.6 \frac{kN}{m}$$

$$q_{max.ek.in} := 1.1 \frac{kN}{m}$$

$$q_{max.ed.in} := q_{max.ek.in} \cdot \gamma_{var} = 1.65 \frac{kN}{m}$$



a) In Absturzrichtung nach außen

$$H_{tot} := 1100 \text{ mm}$$

$$l_4 := 33.50 \text{ mm}$$

$$l_3 := 66 \text{ mm}$$

$$l_{glass.1} := H_{tot} - l_3 - l_4 = 1000.5 \text{ mm}$$

$$e_{fix} := 200 \text{ mm}$$

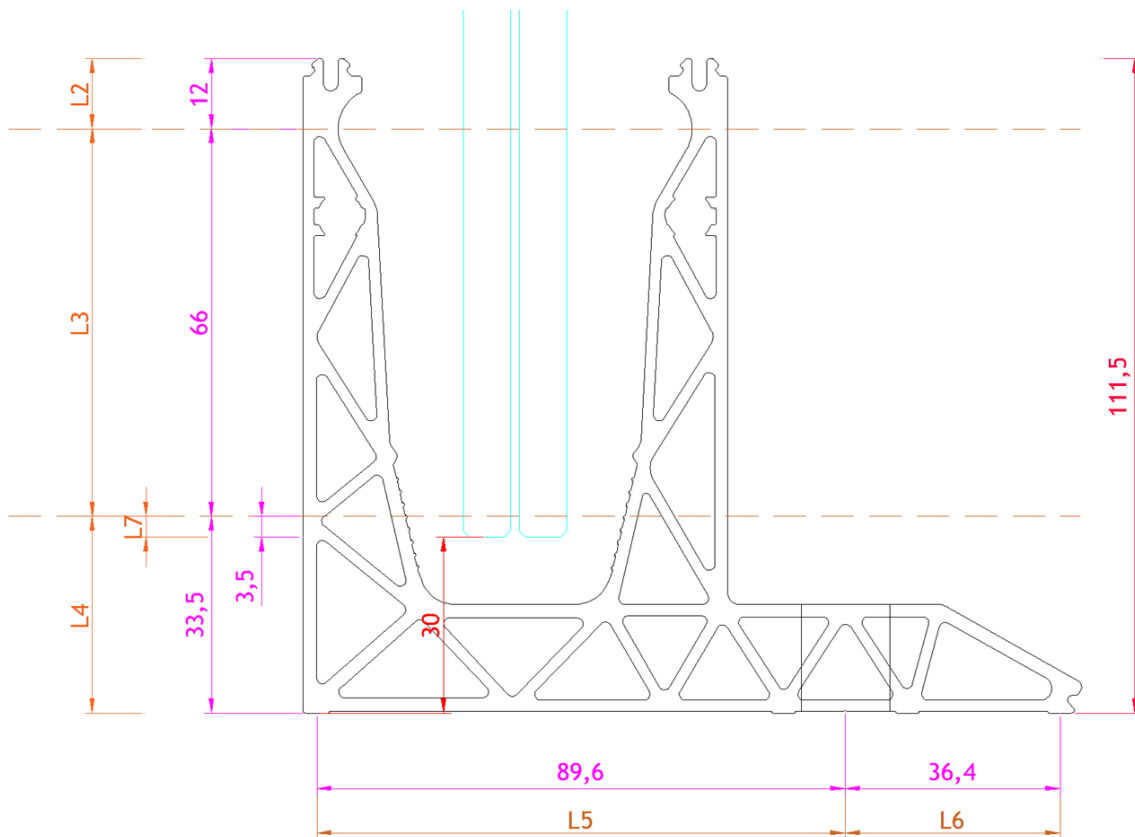
$$H_{Ed.1.out} := q_{max.ed.out} \cdot \left(\frac{l_{glass.1} + l_3}{l_3} \right) = 58.1727 \frac{\text{kN}}{\text{m}}$$

$$H_{Ed.1.out} \cdot e_{fix} = 11.6345 \text{ kN}$$

$$H_{Ed.2.out} := q_{max.ed.out} \cdot \left(\frac{l_{glass.1}}{l_3} \right) = 54.5727 \frac{\text{kN}}{\text{m}}$$

$$H_{Ed.2.out} \cdot e_{fix} = 10.9145 \text{ kN}$$

$$H_{Ed.1.out} - H_{Ed.2.out} = 3.6 \frac{\text{kN}}{\text{m}}$$



b) Gegen die Absturzrichtung nach innen

$$H_{tot} := 1100 \text{ mm}$$

$$l_4 := 33.50 \text{ mm}$$

$$l_3 := 66 \text{ mm}$$

$$l_{glass.1} := H_{tot} - l_3 - l_4 = 1000.5 \text{ mm}$$

$$e_{fix} := 200 \text{ mm}$$

$$H_{Ed.1.in} := q_{max.ed.in} \cdot \left(\frac{l_{glass.1} + l_3}{l_3} \right) = 26.6625 \frac{\text{kN}}{\text{m}}$$

$$H_{Ed.1.in} \cdot e_{fix} = 5.3325 \text{ kN}$$

$$H_{Ed.2.in} := q_{max.ed.in} \cdot \left(\frac{l_{glass.1}}{l_3} \right) = 25.0125 \frac{\text{kN}}{\text{m}}$$

$$H_{Ed.2.in} \cdot e_{fix} = 5.0025 \text{ kN}$$

$$H_{Ed.1.in} - H_{Ed.2.in} = 1.65 \frac{\text{kN}}{\text{m}}$$

BESTIMMUNG REAKTIONSKRÄFTE PROFIL AUF UNTERGRUND
--

$$l_5 := 89.6 \text{ mm}$$

$$l_6 := 36.4 \text{ mm}$$

$$e_{fix} := 200 \text{ mm}$$

$$H_{tot} = 1100 \text{ mm}$$

Für die Belastung in Absturzrichtung (out)

$$q_{max.ed.out} = 3.6 \frac{\text{kN}}{\text{m}}$$

$F_{t.Ed.out} := q_{max.ed.out} \cdot \left(\frac{H_{tot}}{l_5} \right) \cdot e_{fix} = 8.8393 \text{ kN}$

$F_{c.Ed.out} := q_{max.ed.out} \cdot \left(\frac{H_{tot}}{l_5} \right) \cdot e_{fix} = 8.8393 \text{ kN}$

$$F_{h.Ed.out} := q_{max.ed.out} \cdot e_{fix} = 0.72 \text{ kN}$$

Vereinfachte Kontrolle Betonpressung

$$f_{cd} := \frac{25 \text{ MPa}}{1.5} = 16.6667 \text{ MPa}$$

$$b_c := 1.88 \text{ mm} \cdot 2 = 3.76 \text{ mm}$$

$$A_c := b_c \cdot e_{fix} = 752 \text{ mm}^2$$

$$F_{c.Rd} := A_c \cdot f_{cd} = 12.5333 \text{ kN}$$

$\frac{F_{c.Ed.out}}{F_{c.Rd}} = 0.7053$
--

Für die Belastung gegen die Absturzrichtung (in)

$$q_{max.ed.in} = 1.65 \frac{\text{kN}}{\text{m}}$$

$$F_{t.Ed.in} := q_{max.ed.in} \cdot \left(\frac{H_{tot}}{l_6} \right) \cdot e_{fix} = 9.9725 \text{ kN}$$

$$F_{c.Ed.in} := q_{max.ed.in} \cdot \left(\frac{H_{tot}}{l_6} \right) \cdot e_{fix} = 9.9725 \text{ kN}$$

$$F_{h.Ed.in} := q_{max.ed.in} \cdot e_{fix} = 0.33 \text{ kN}$$

Vereinfachte Kontrolle Betonpressung

$$f_{cd} := \frac{25 \text{ MPa}}{1.5} = 16.6667 \text{ MPa}$$

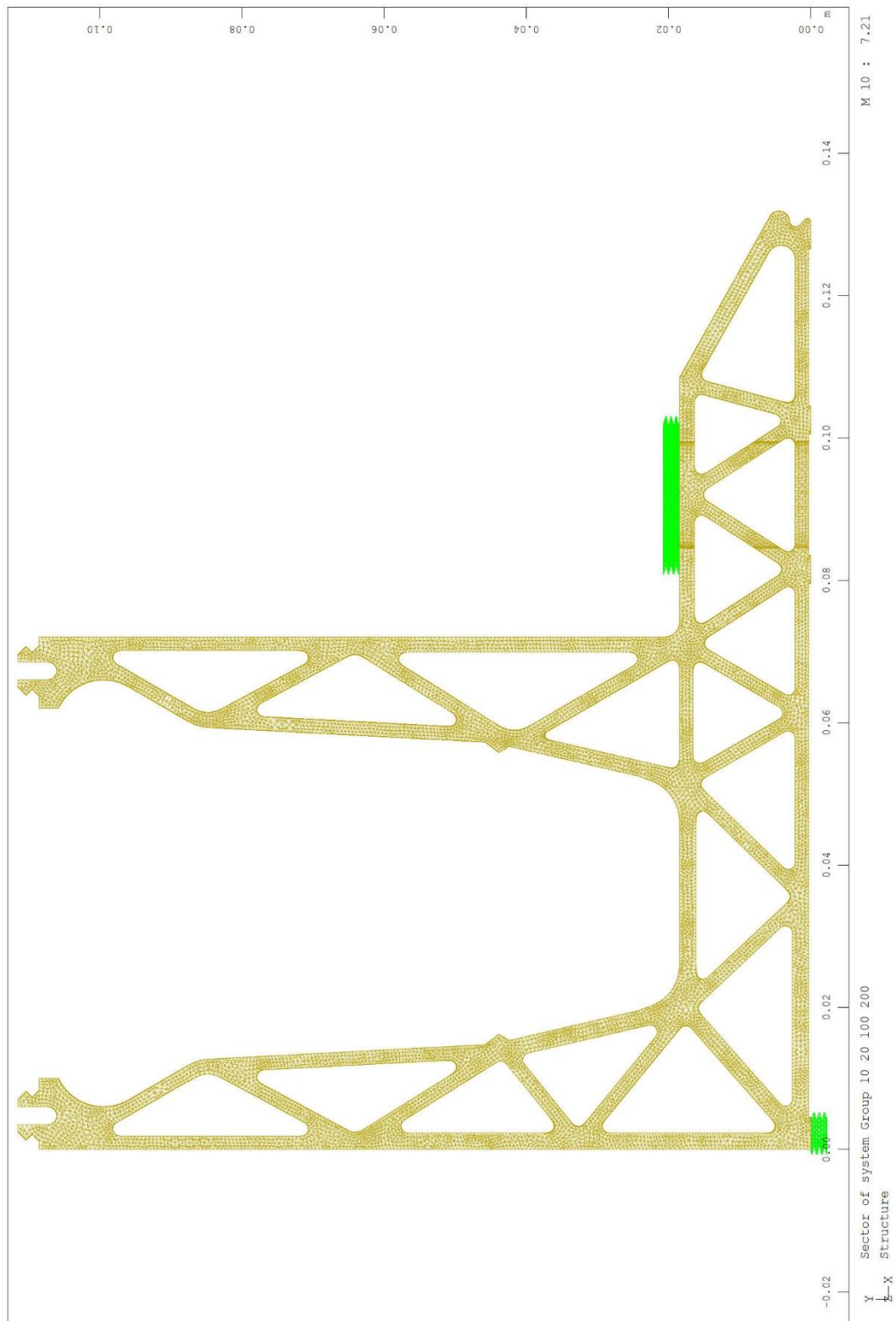
$$b_c := 1.88 \text{ mm} \cdot 2 = 3.76 \text{ mm}$$

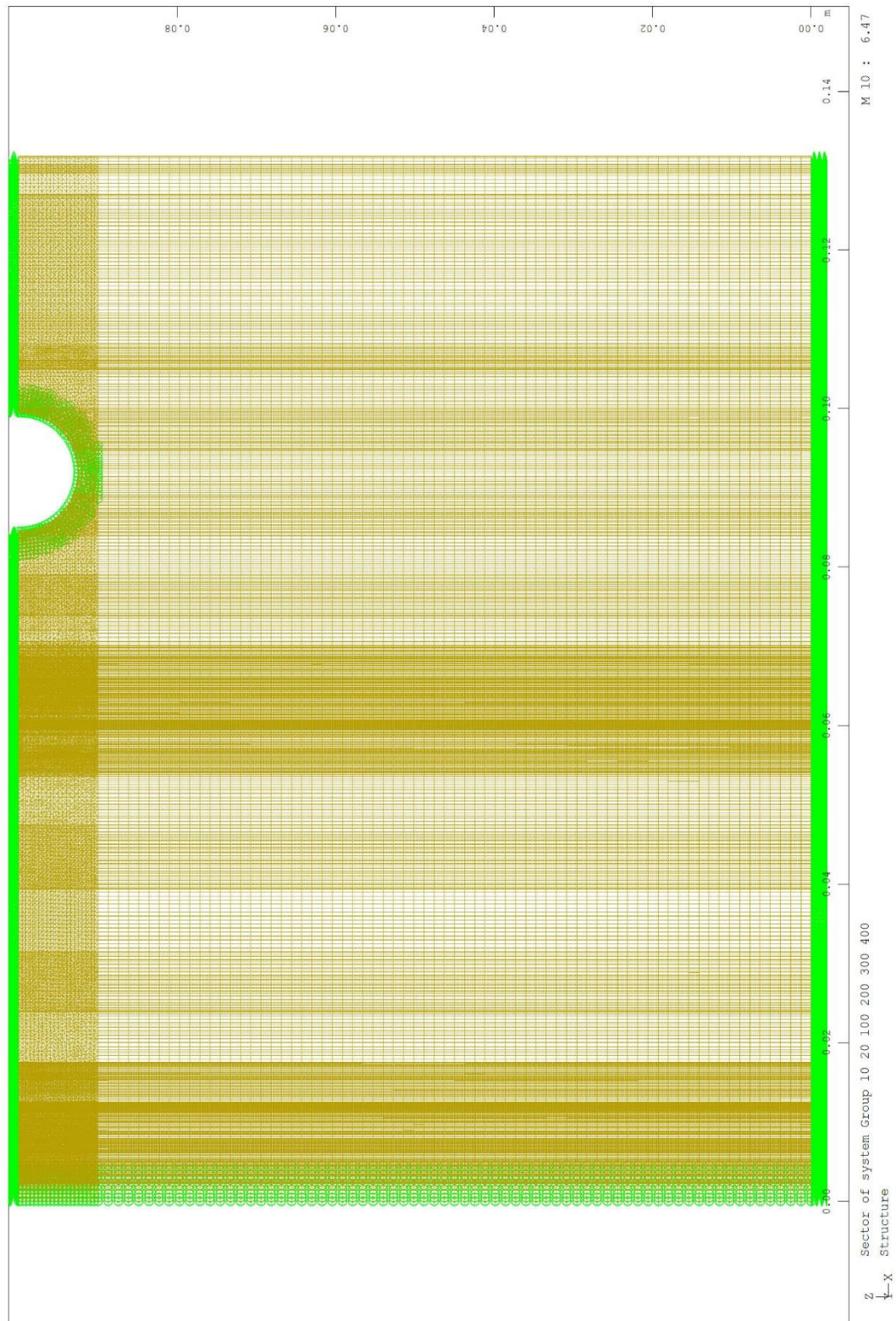
$$A_c := b_c \cdot e_{fix} = 752 \text{ mm}^2$$

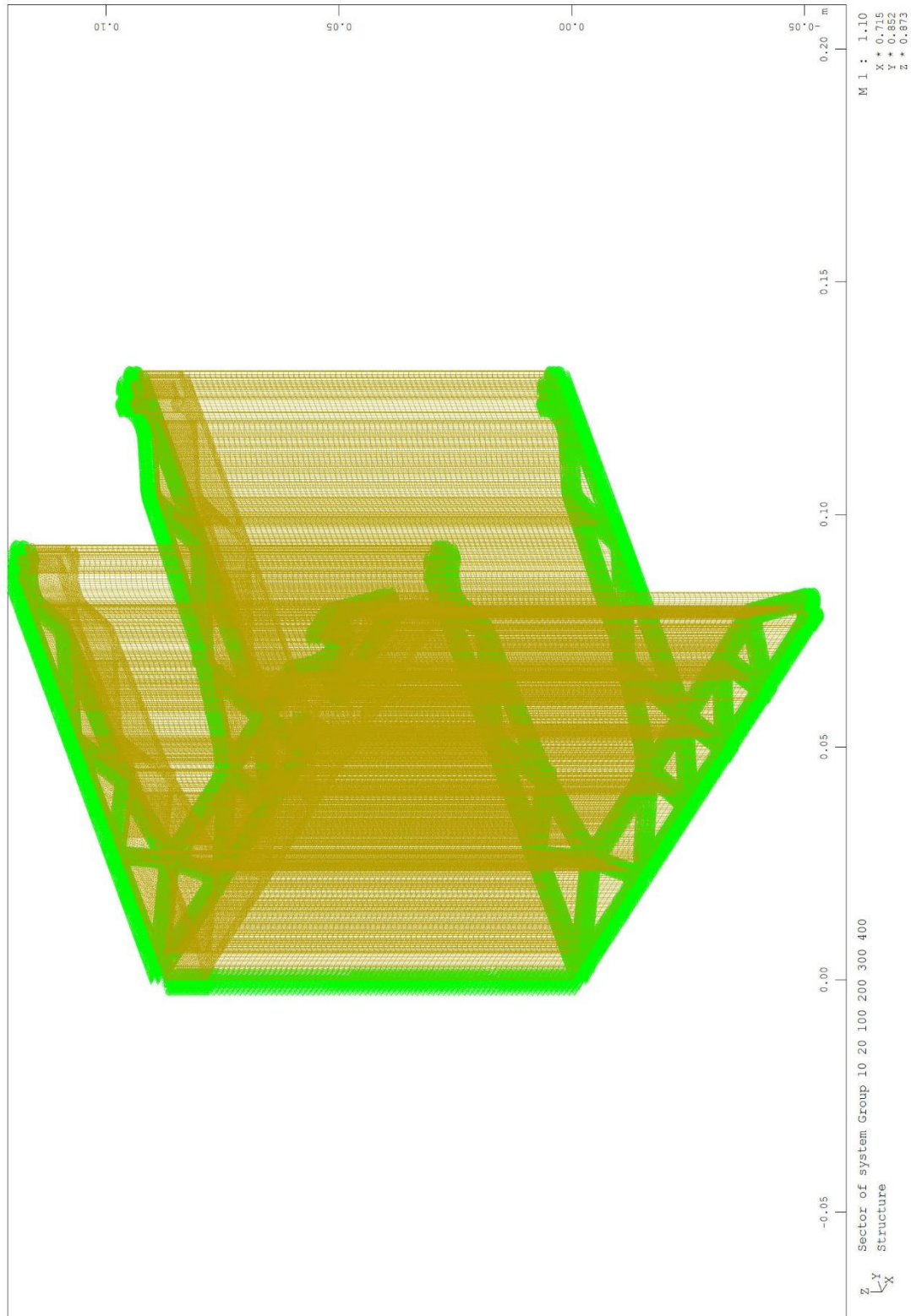
$$F_{c.Rd} := A_c \cdot f_{cd} = 12.5333 \text{ kN}$$

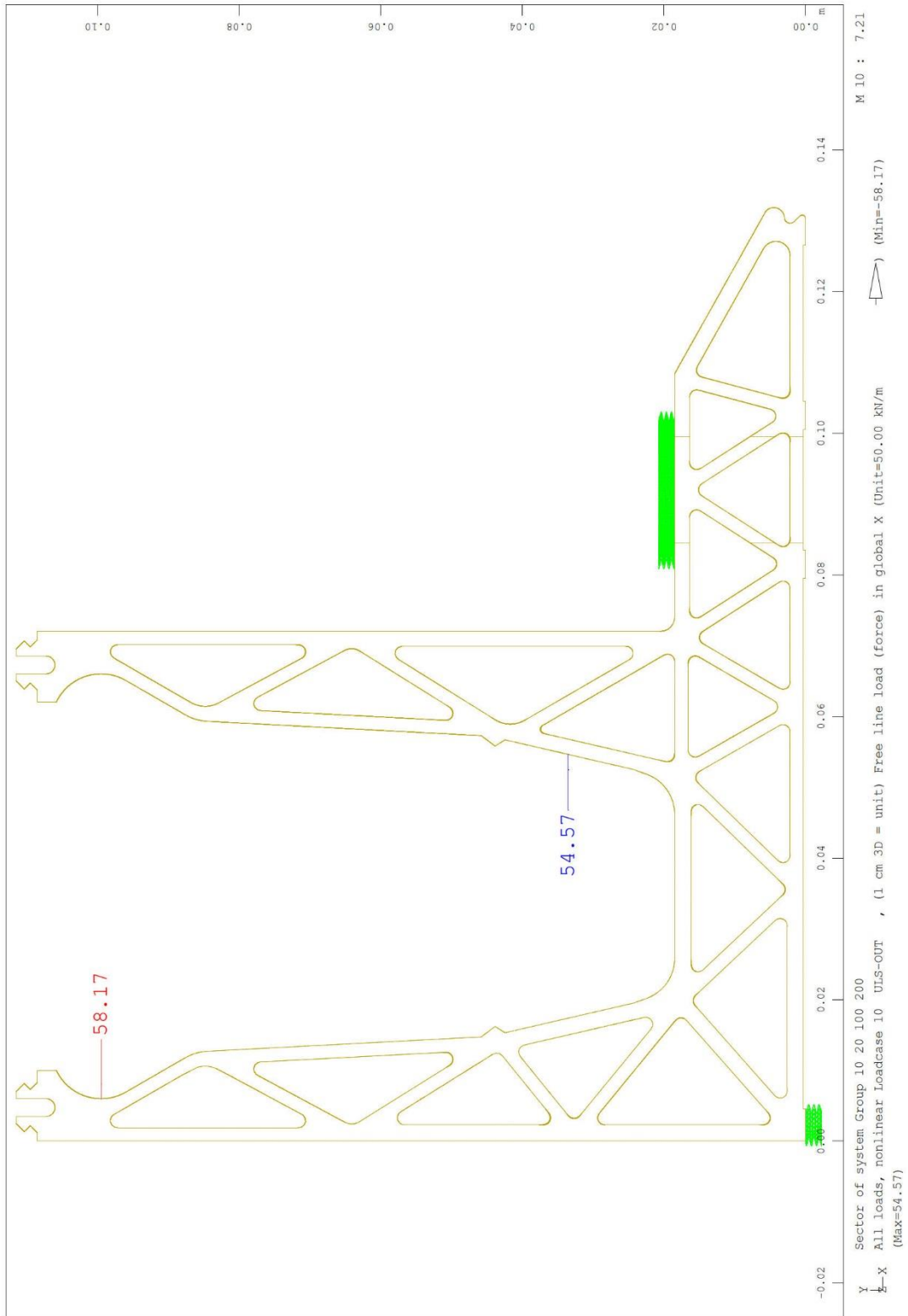
$$\frac{F_{c.Ed.in}}{F_{c.Rd}} = 0.7957$$

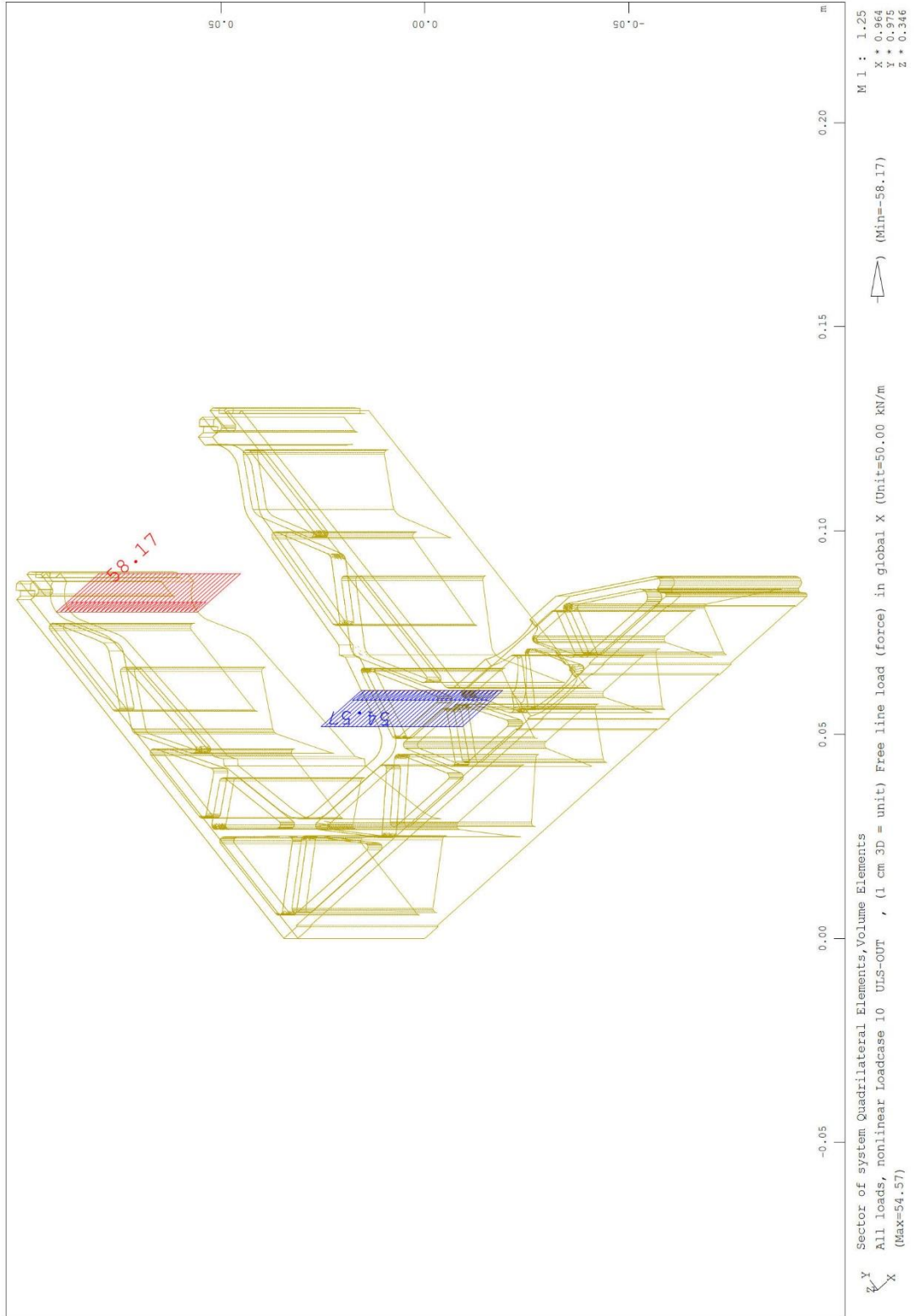
b) Ergebnisse numerische Berechnung DF810DK



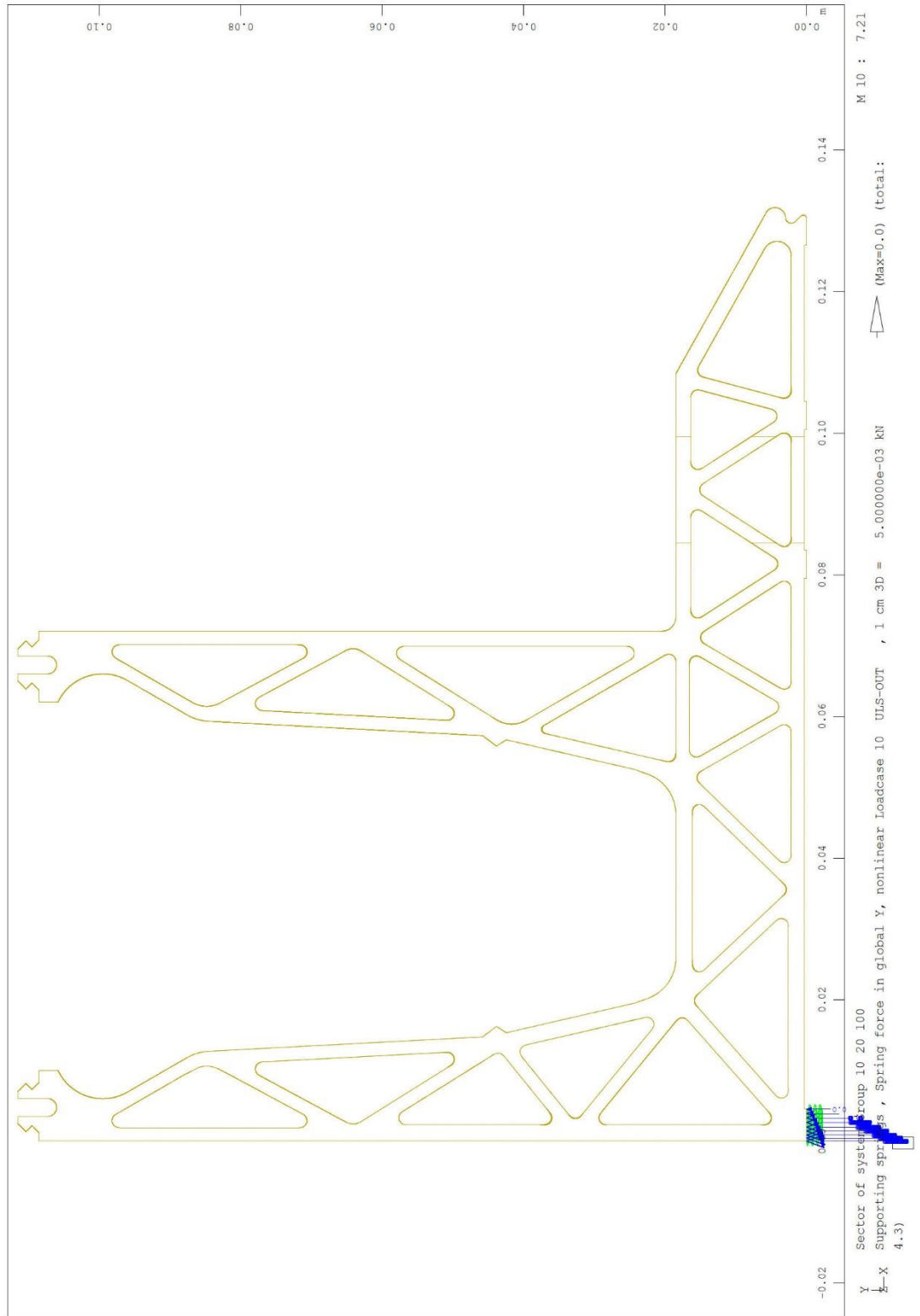


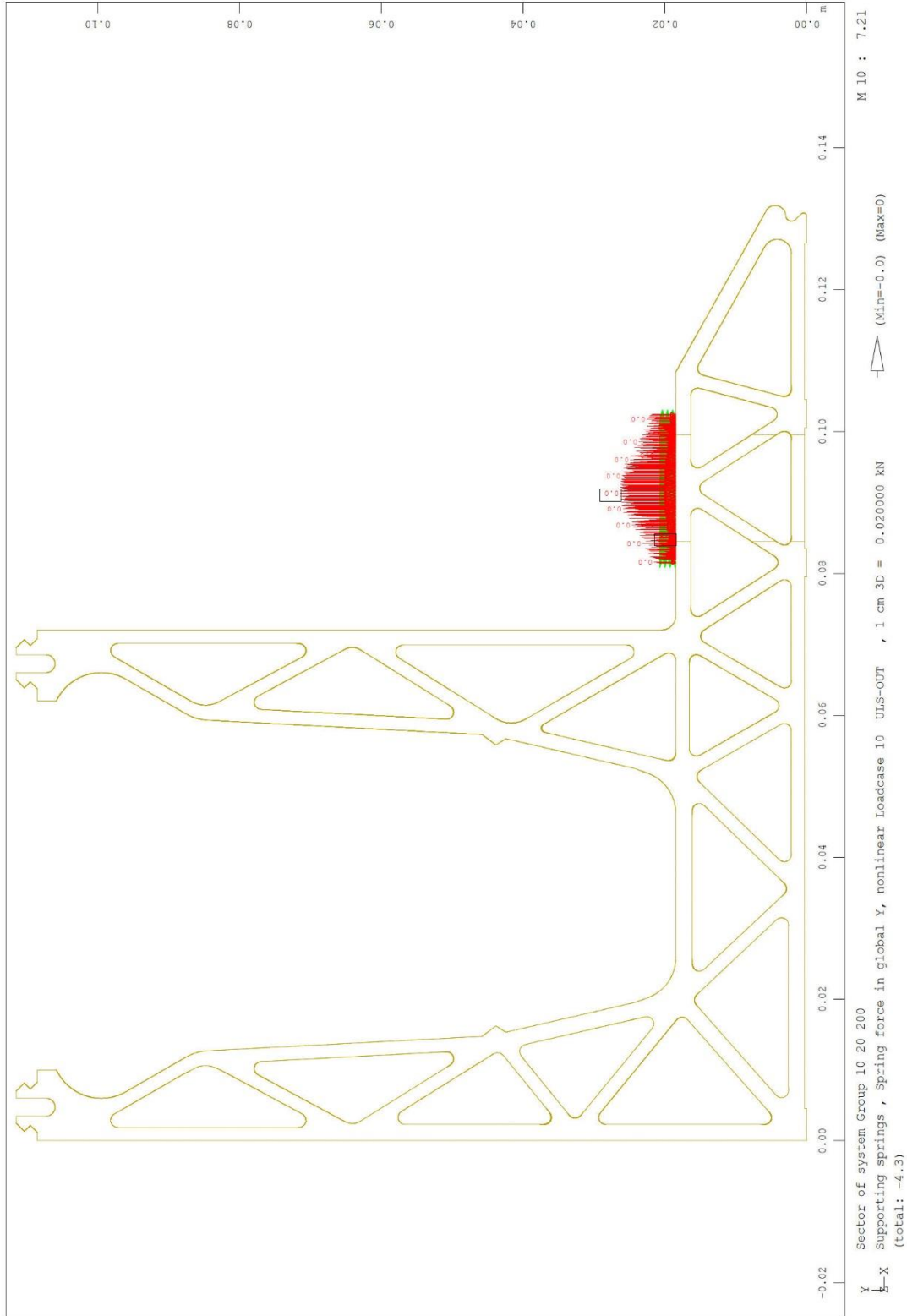


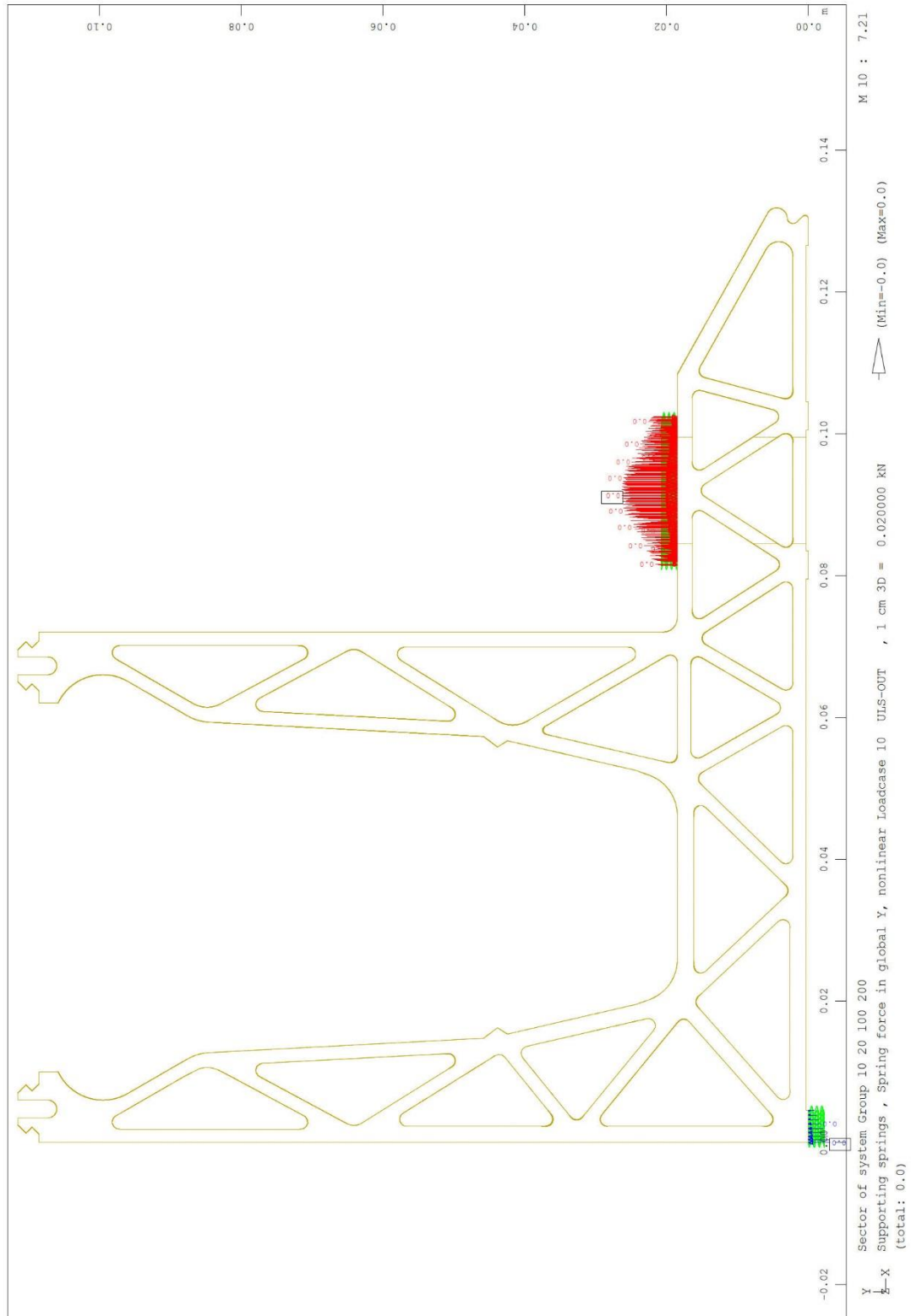


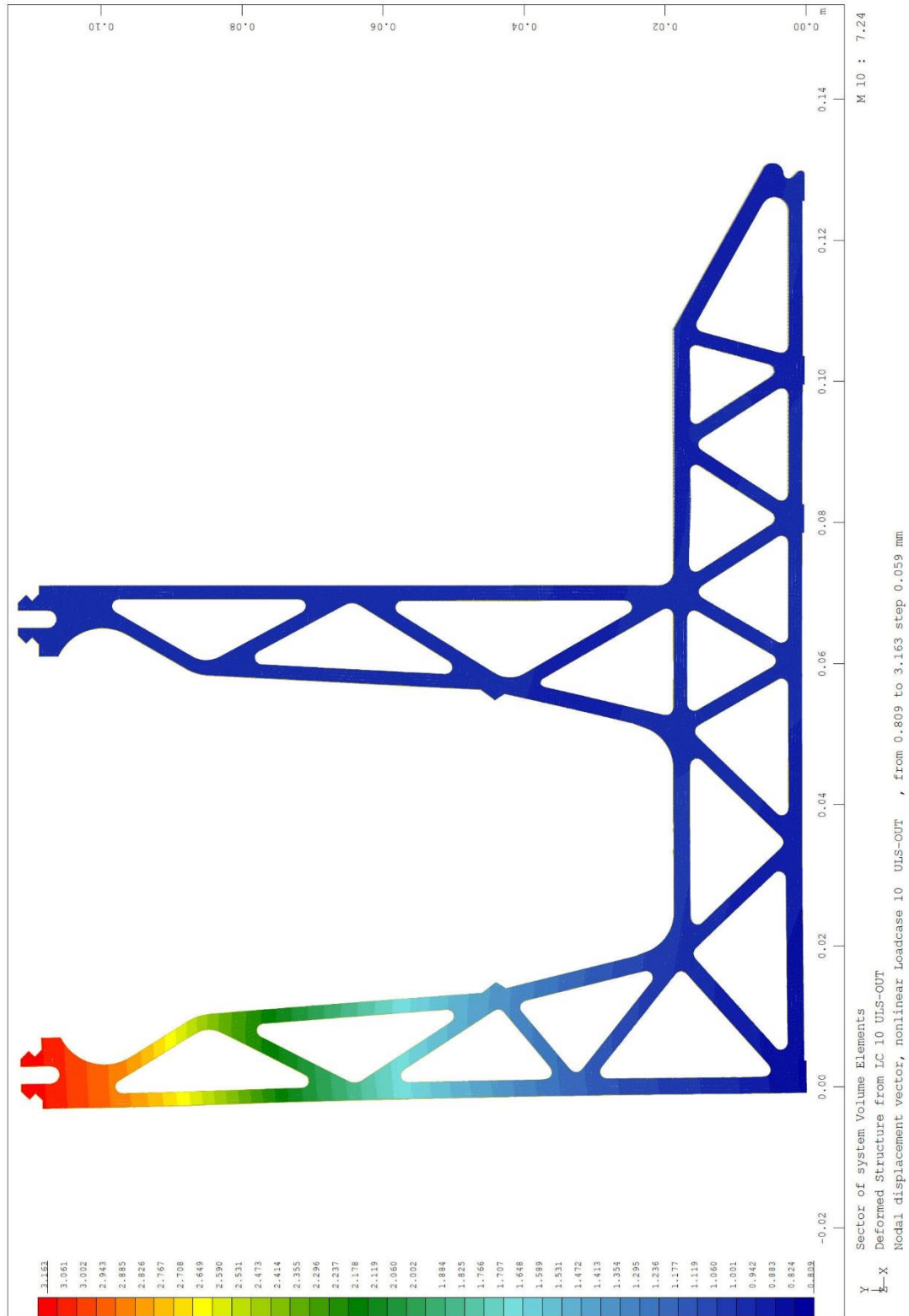


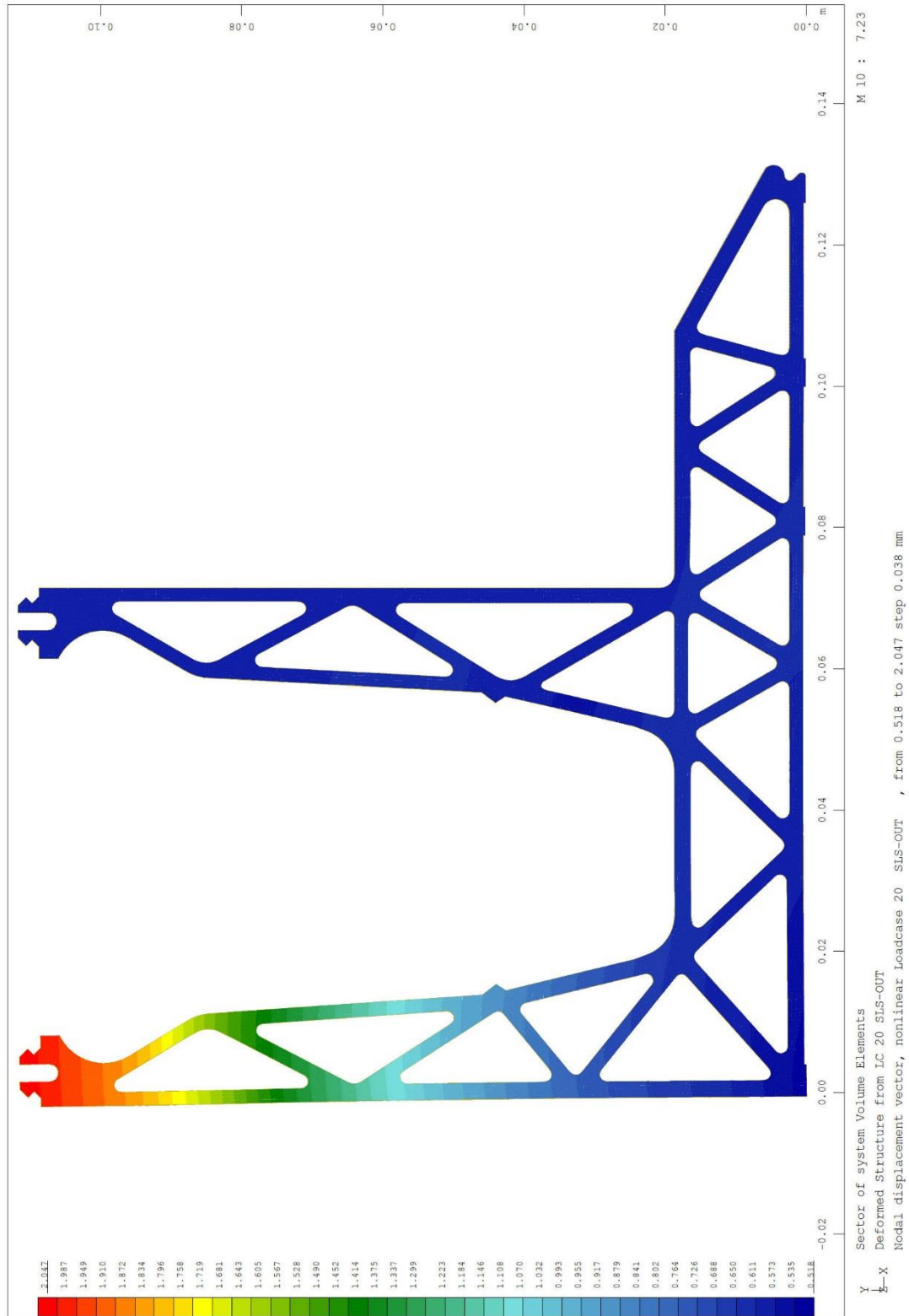


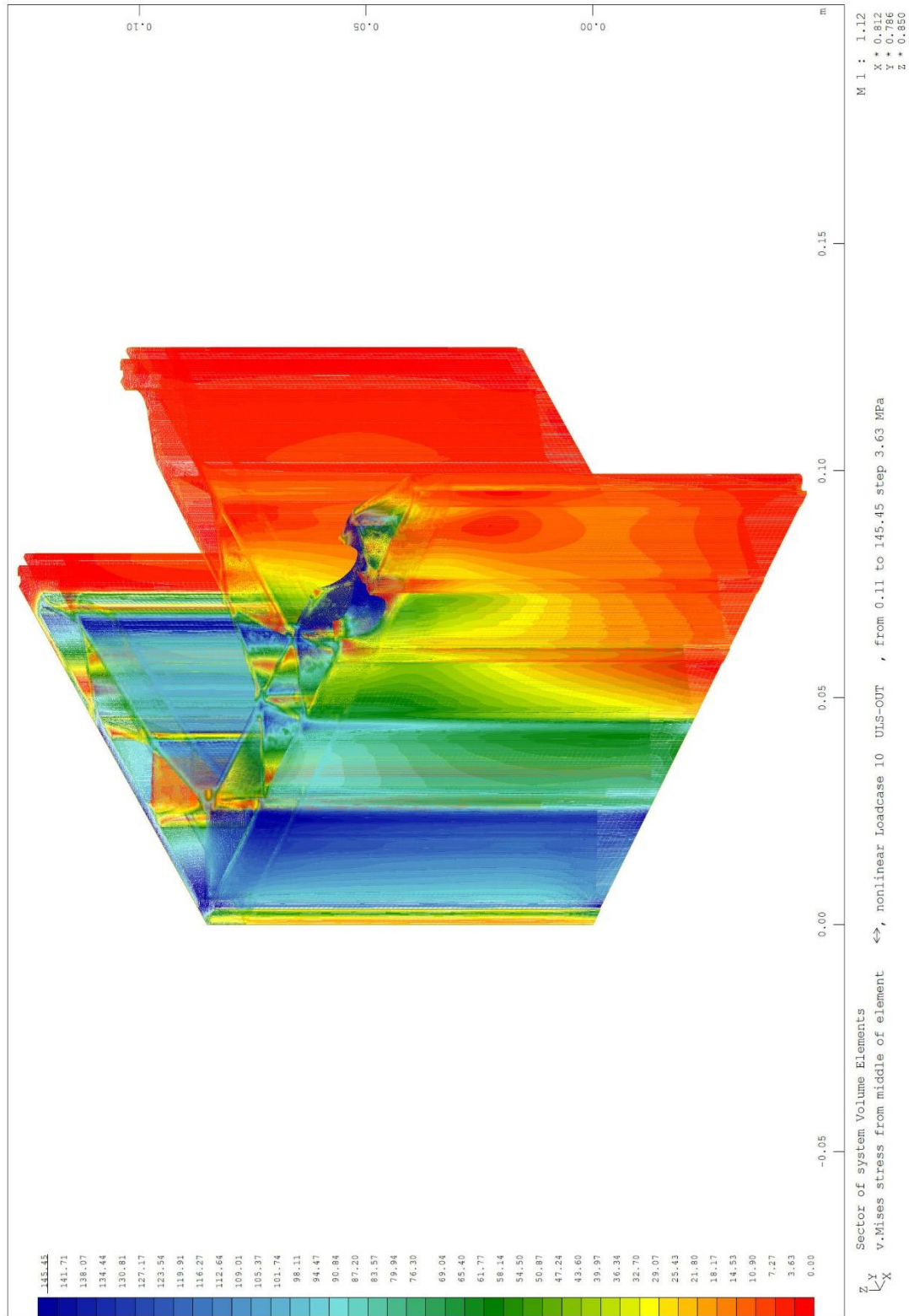


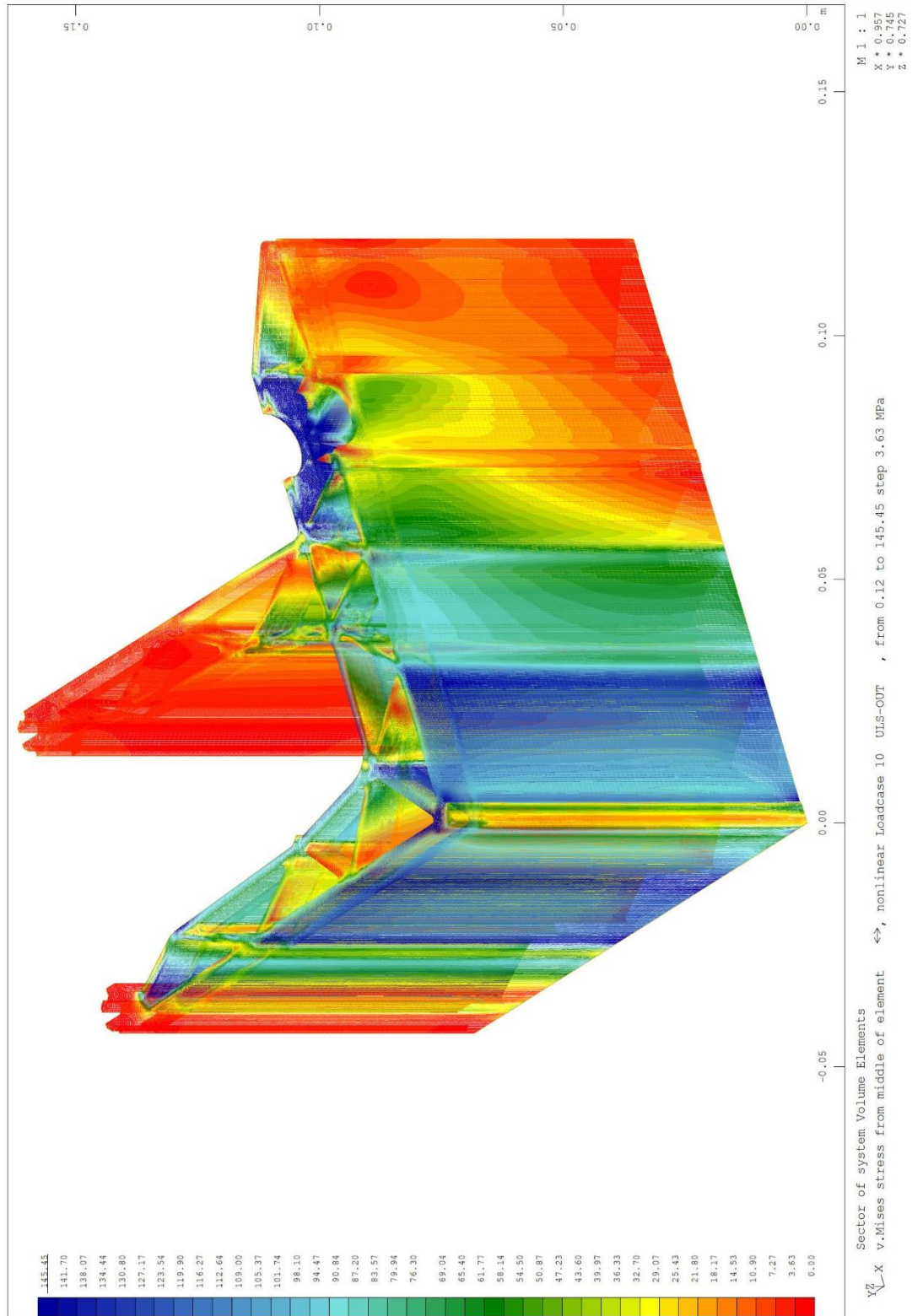


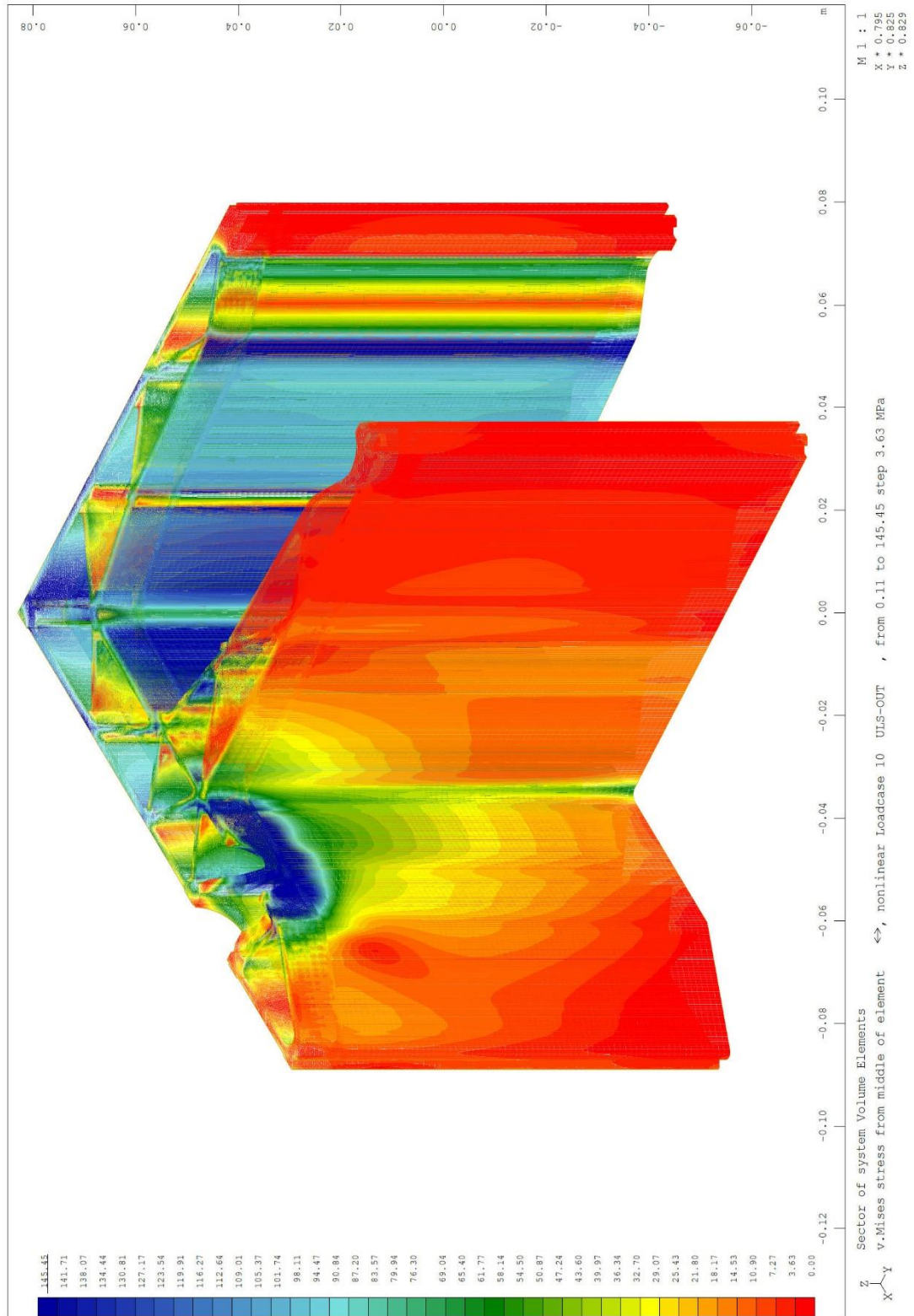


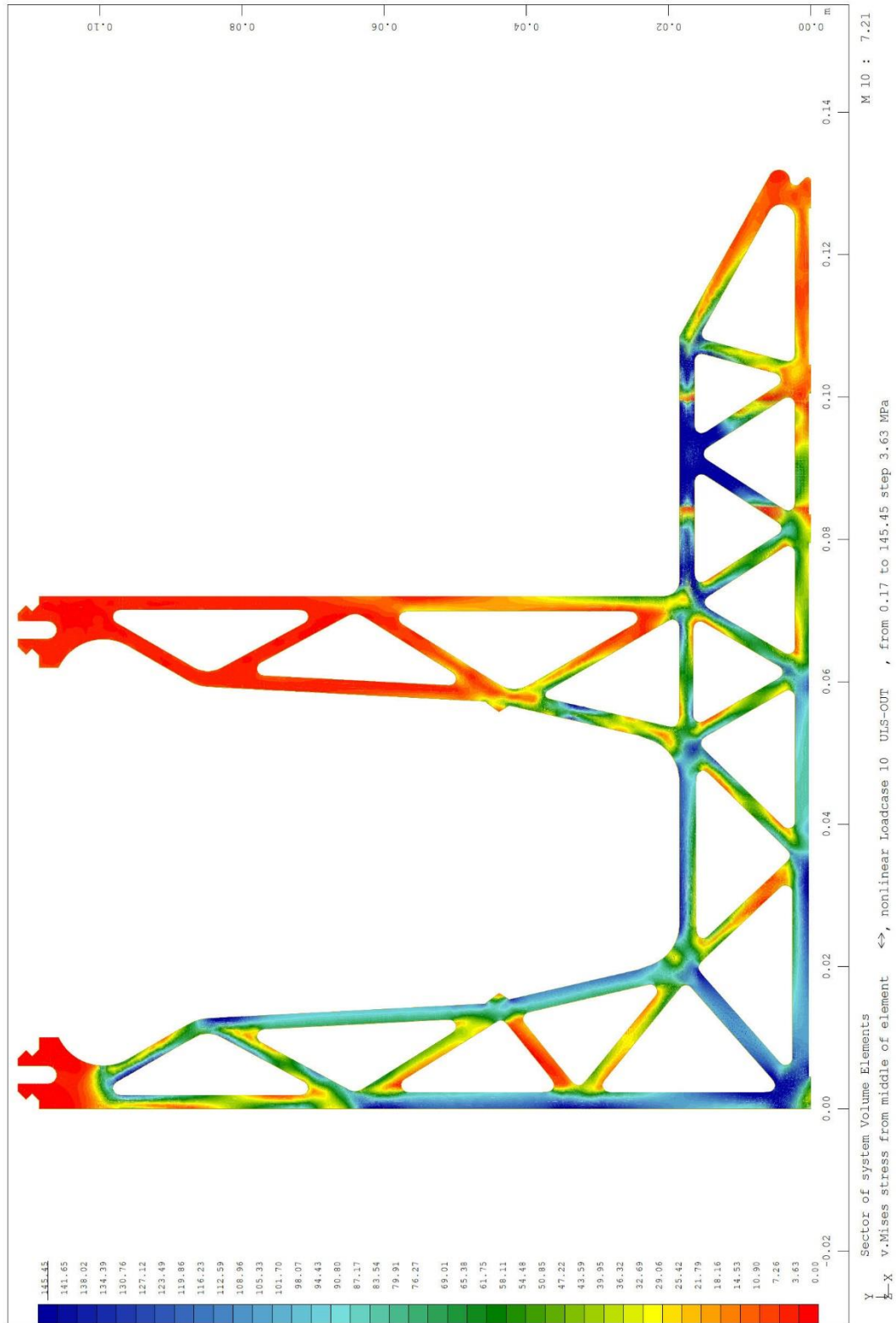


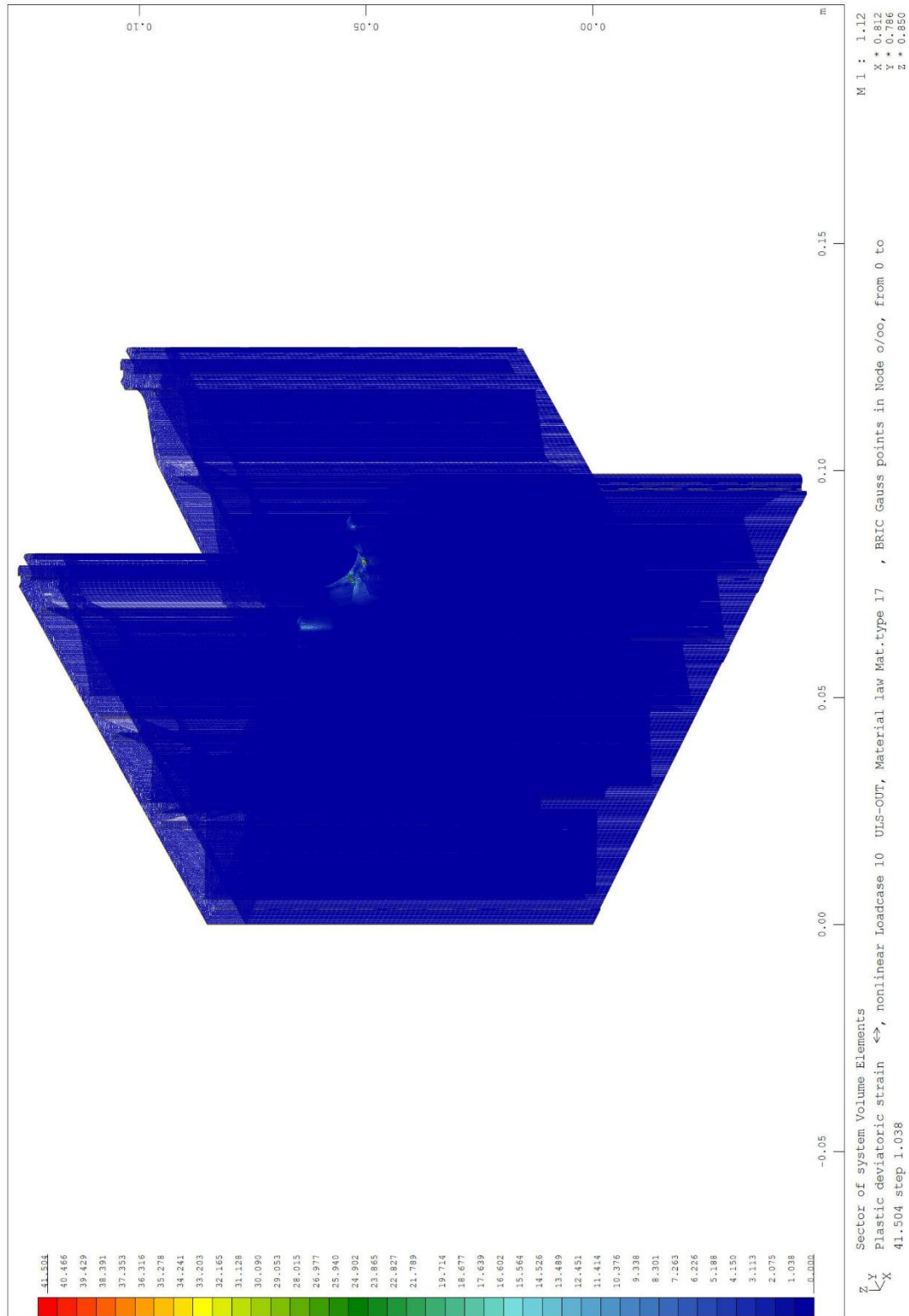


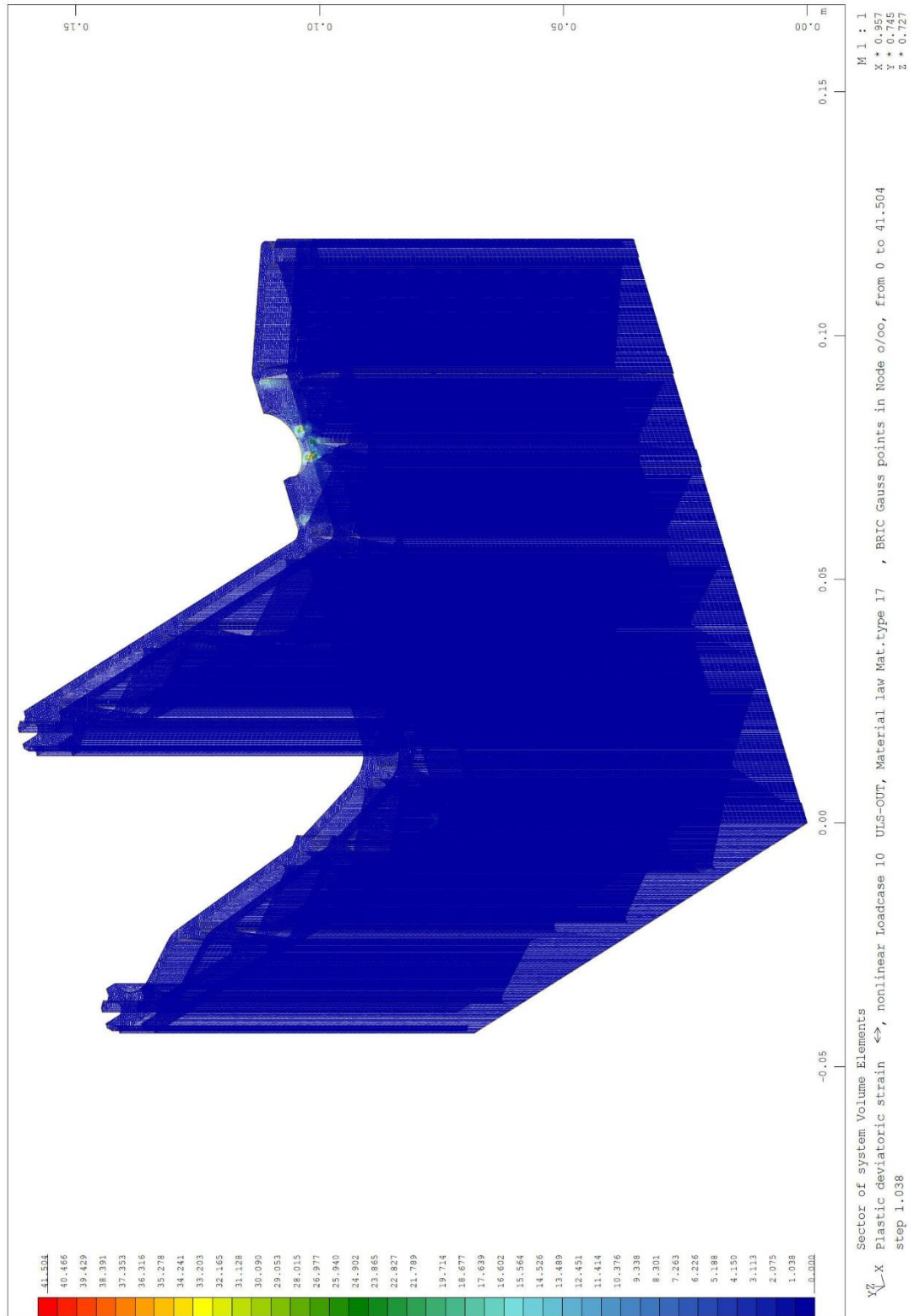


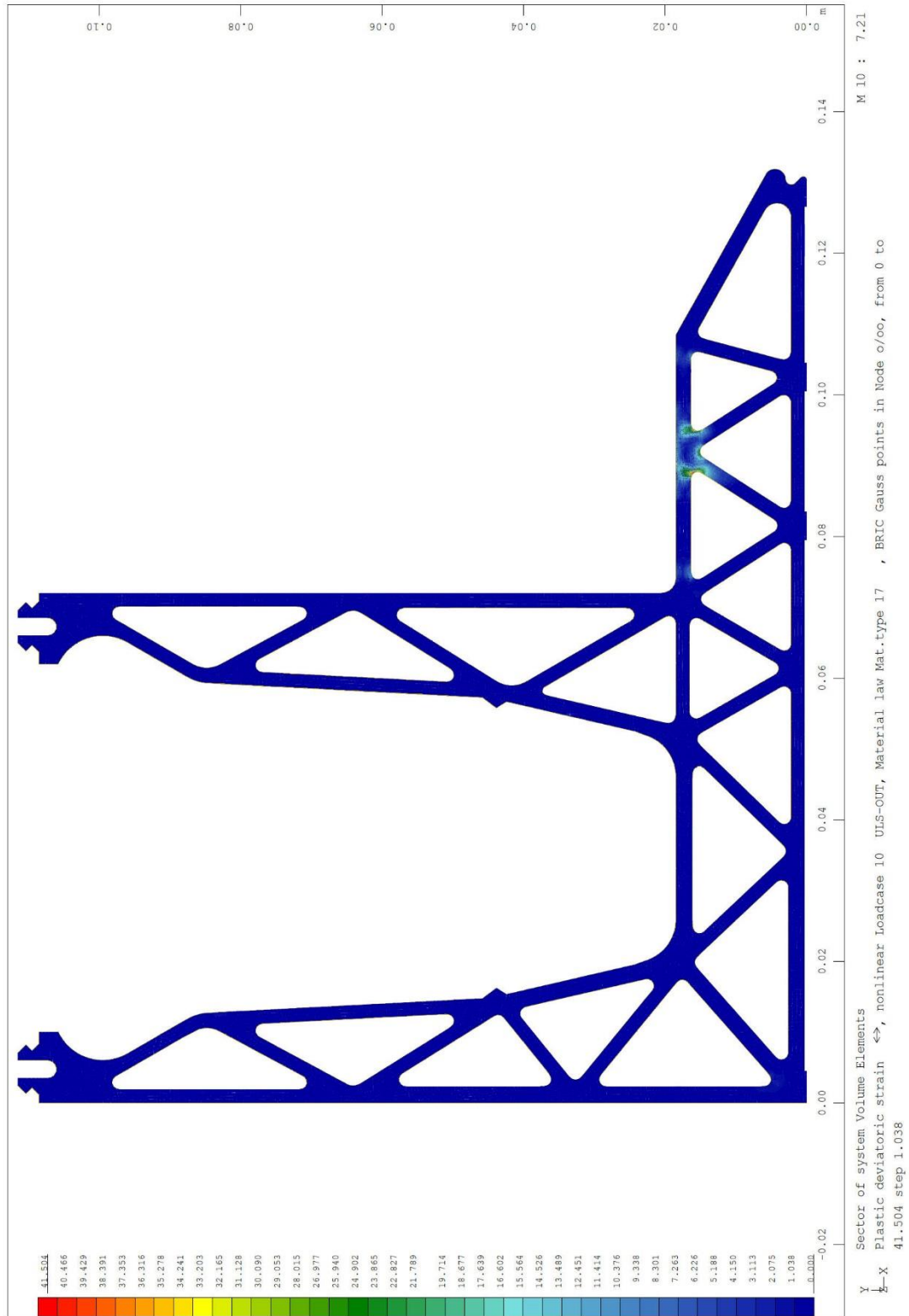


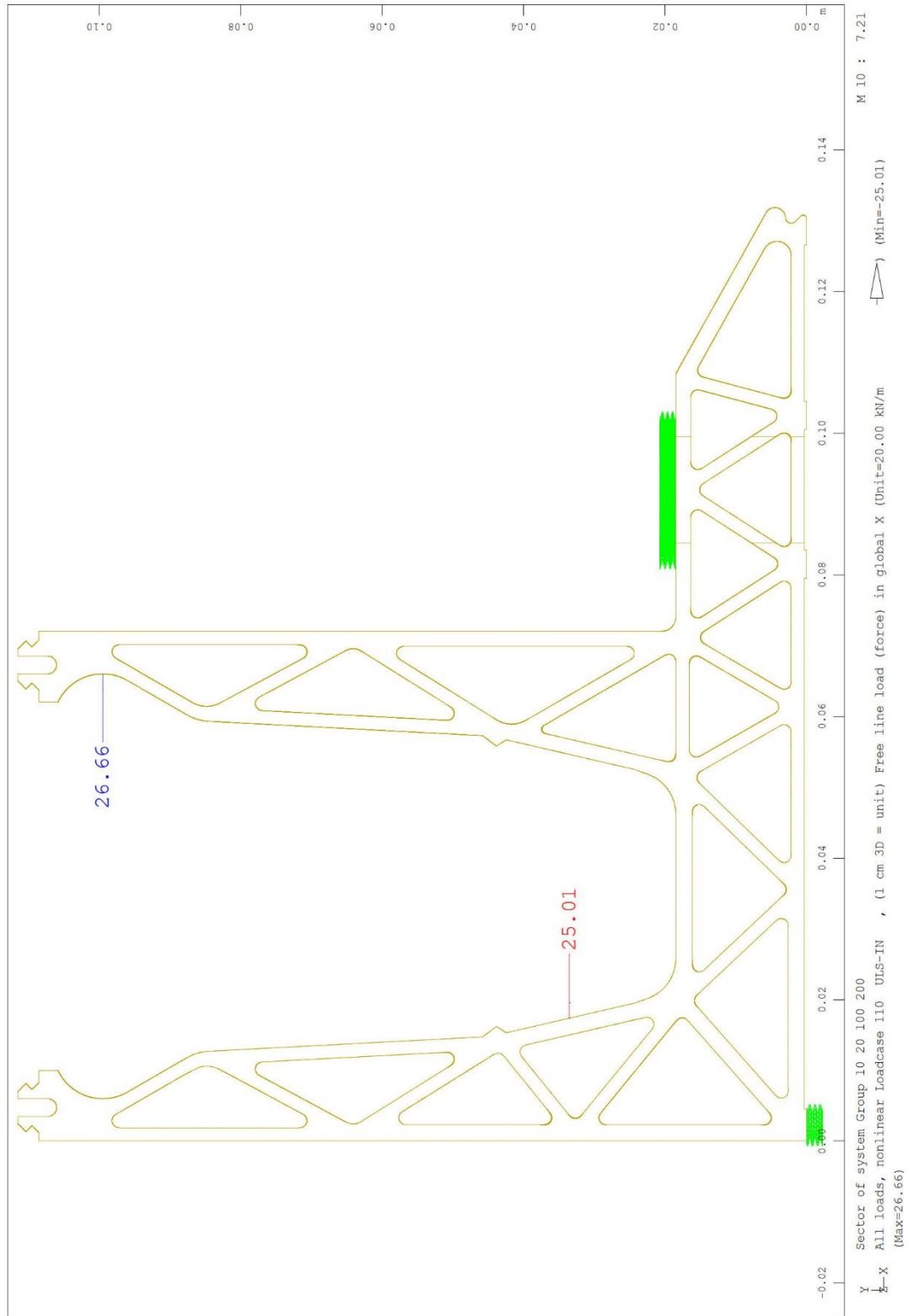


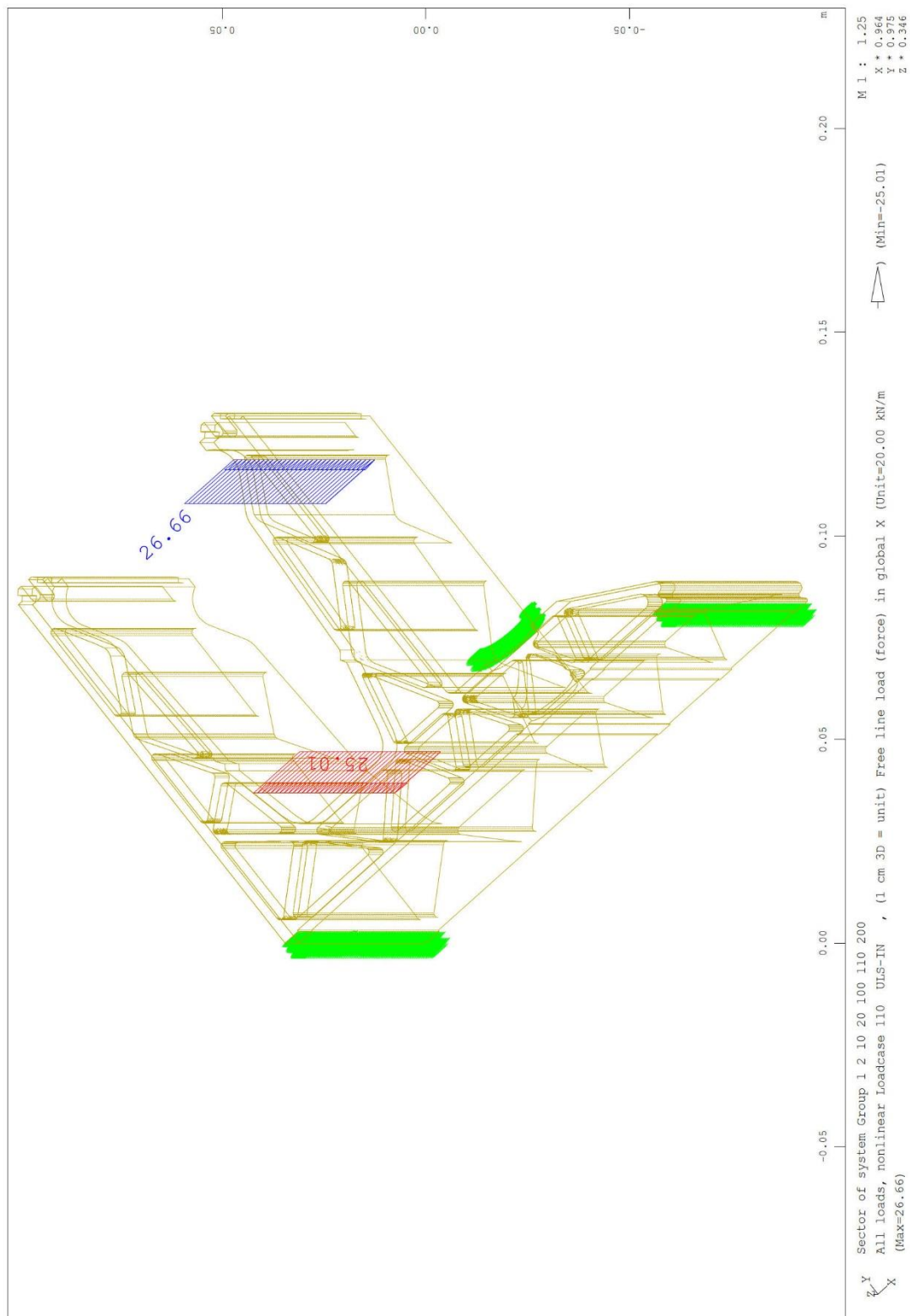




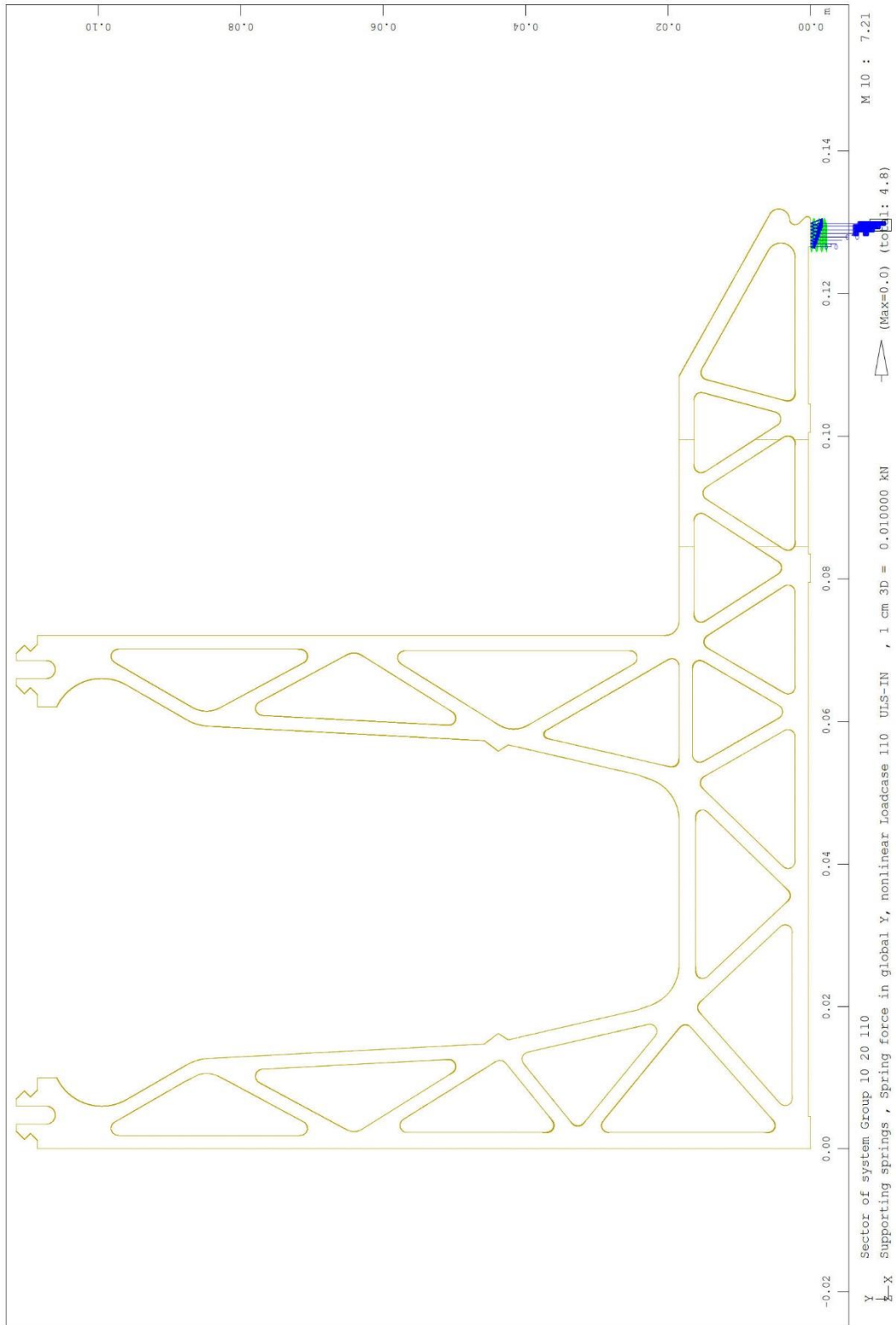


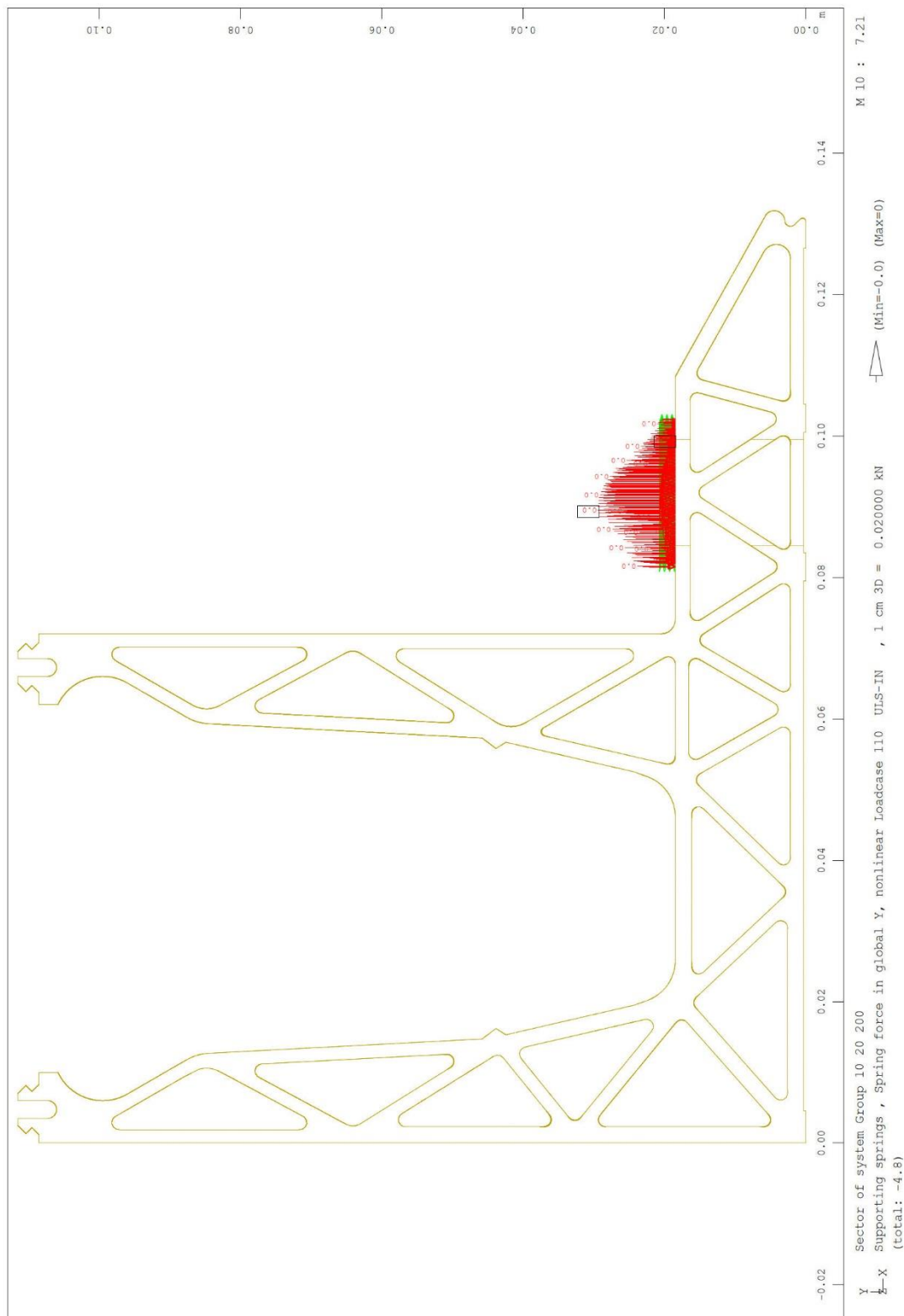


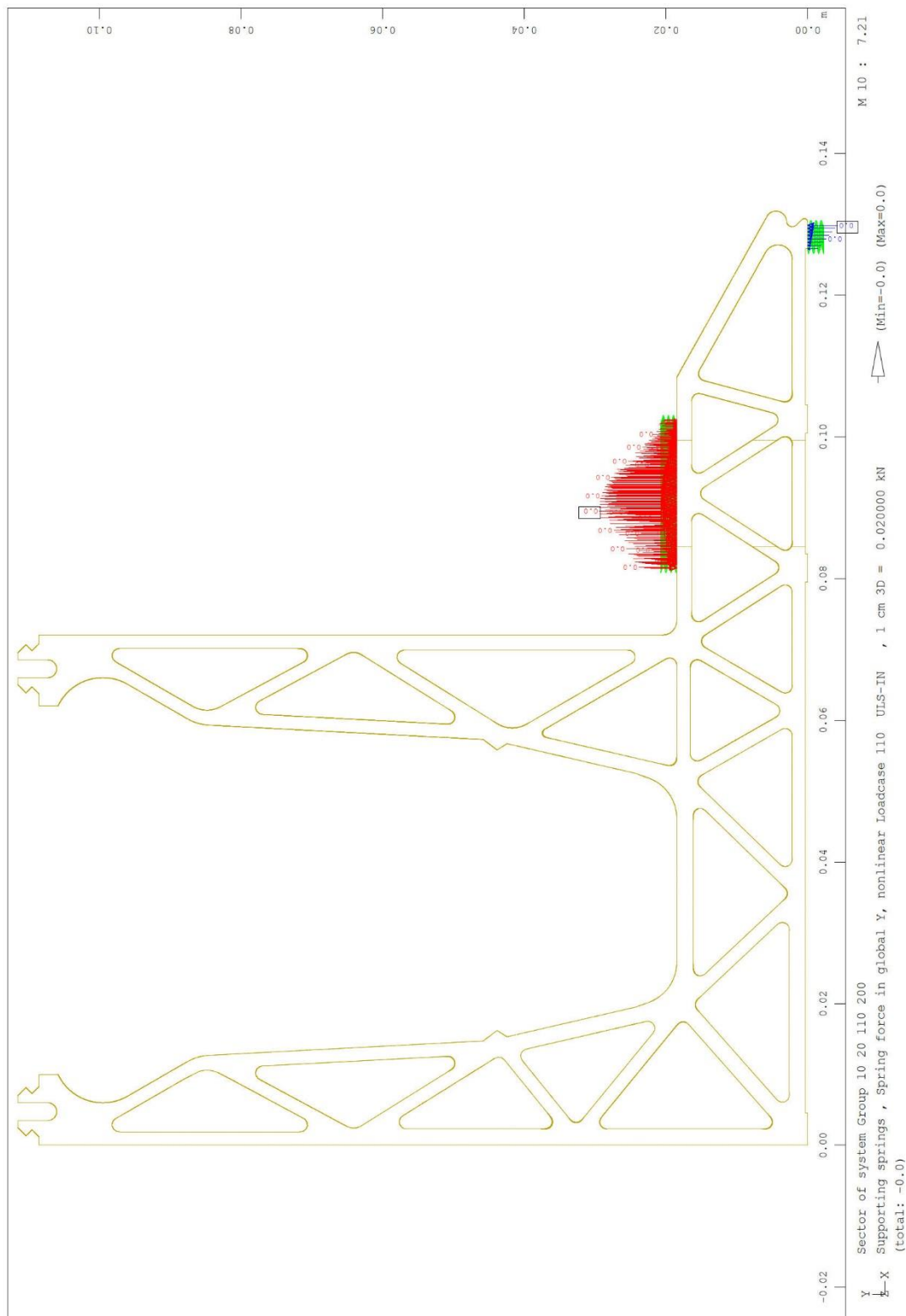


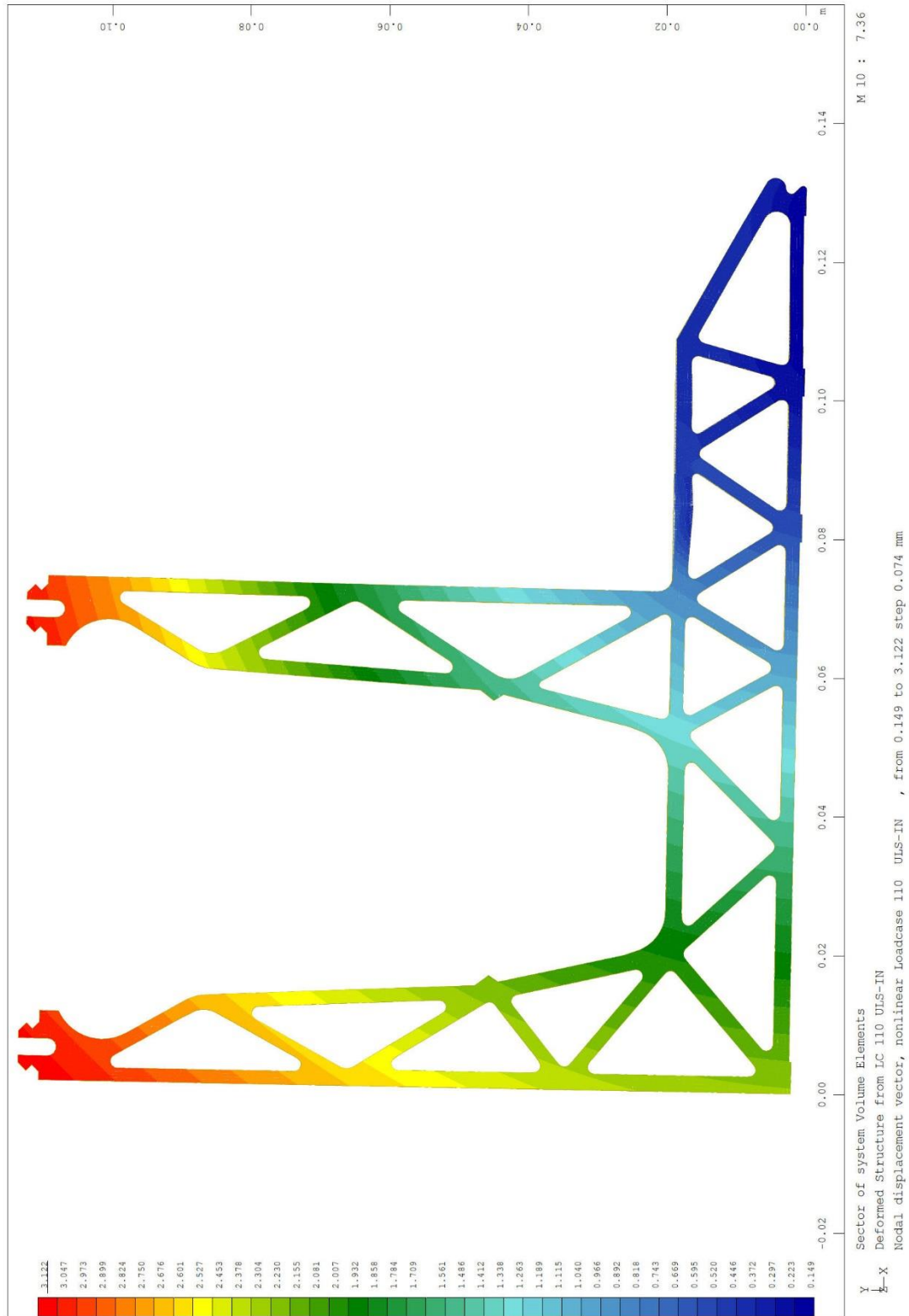


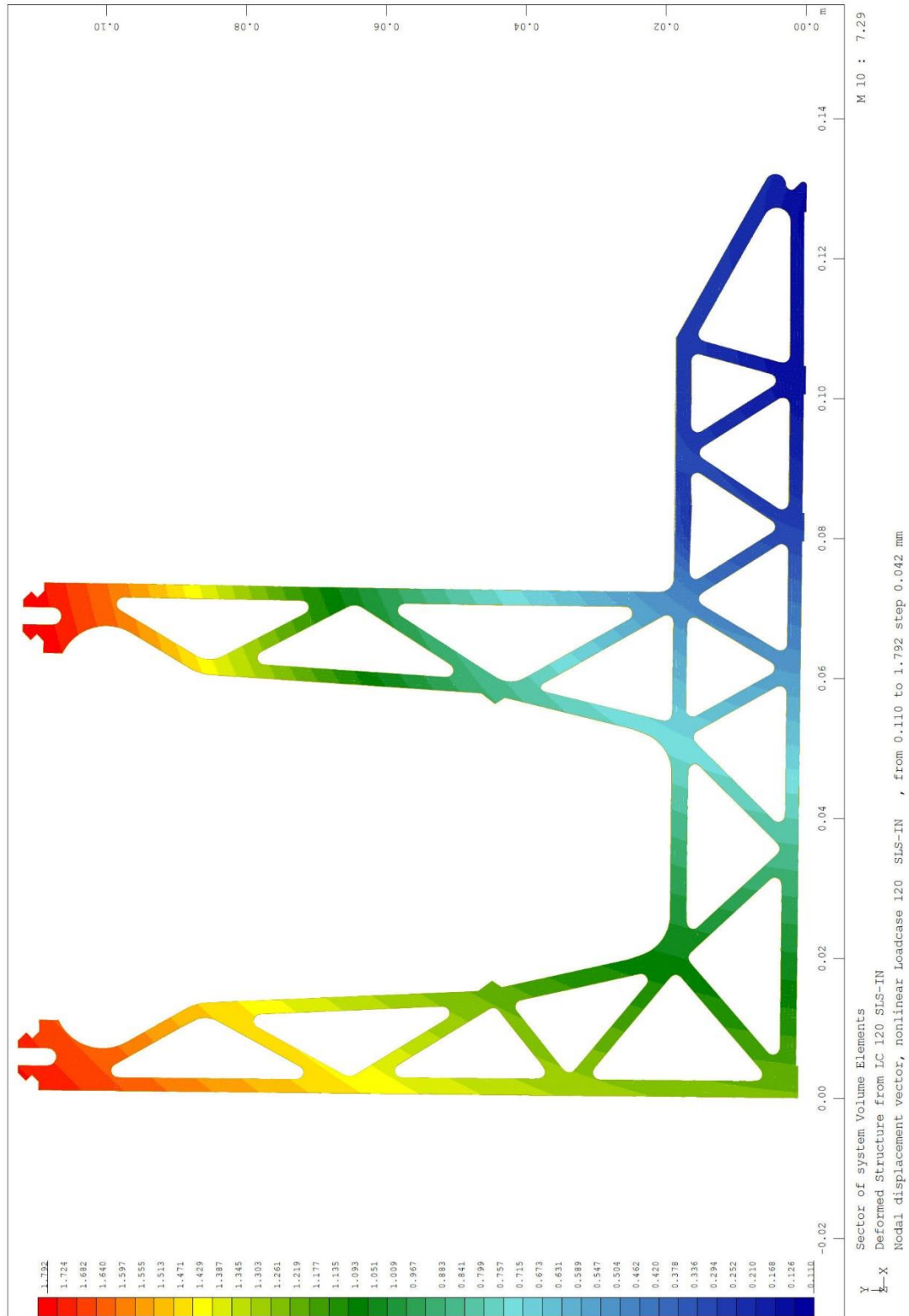


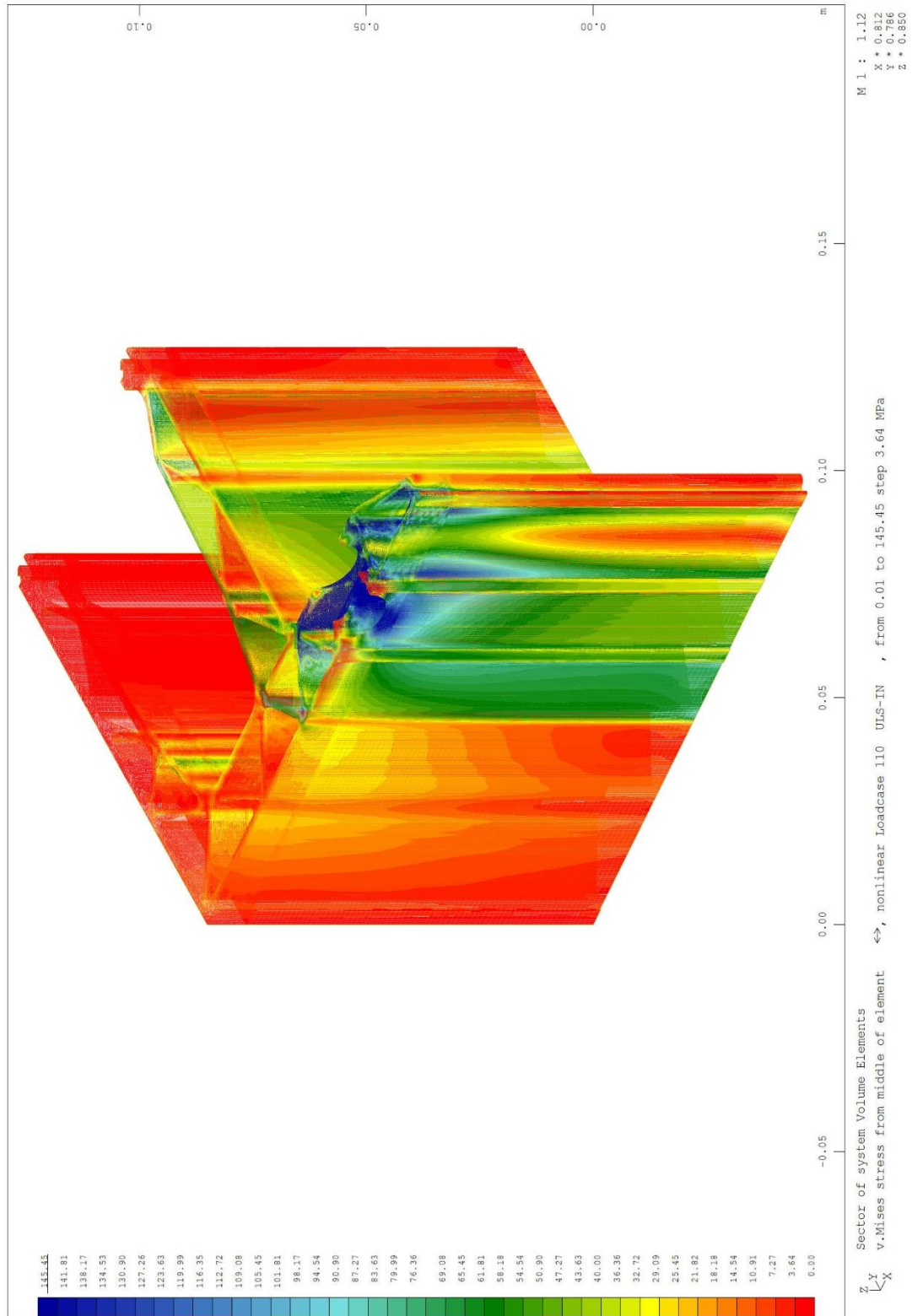


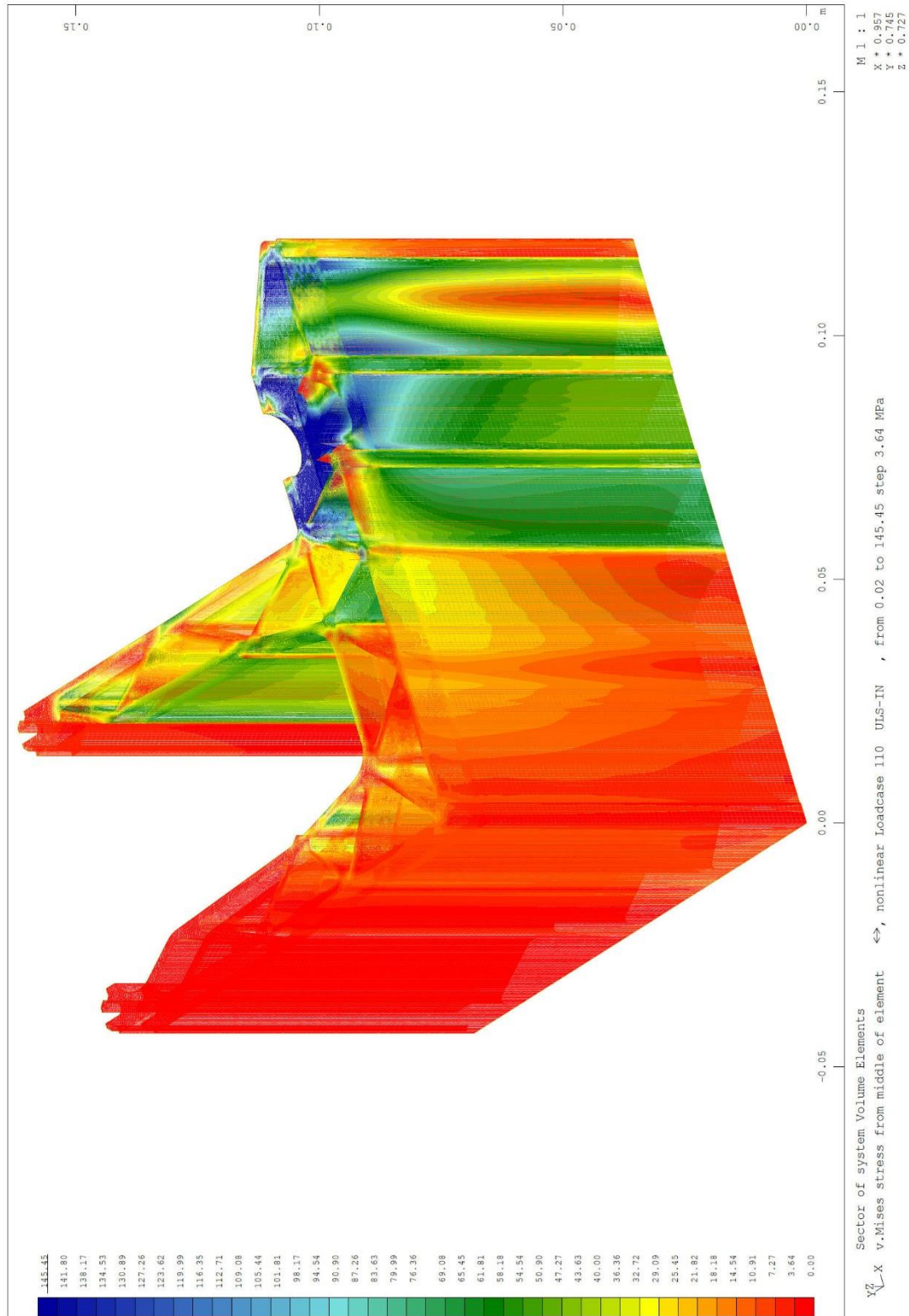


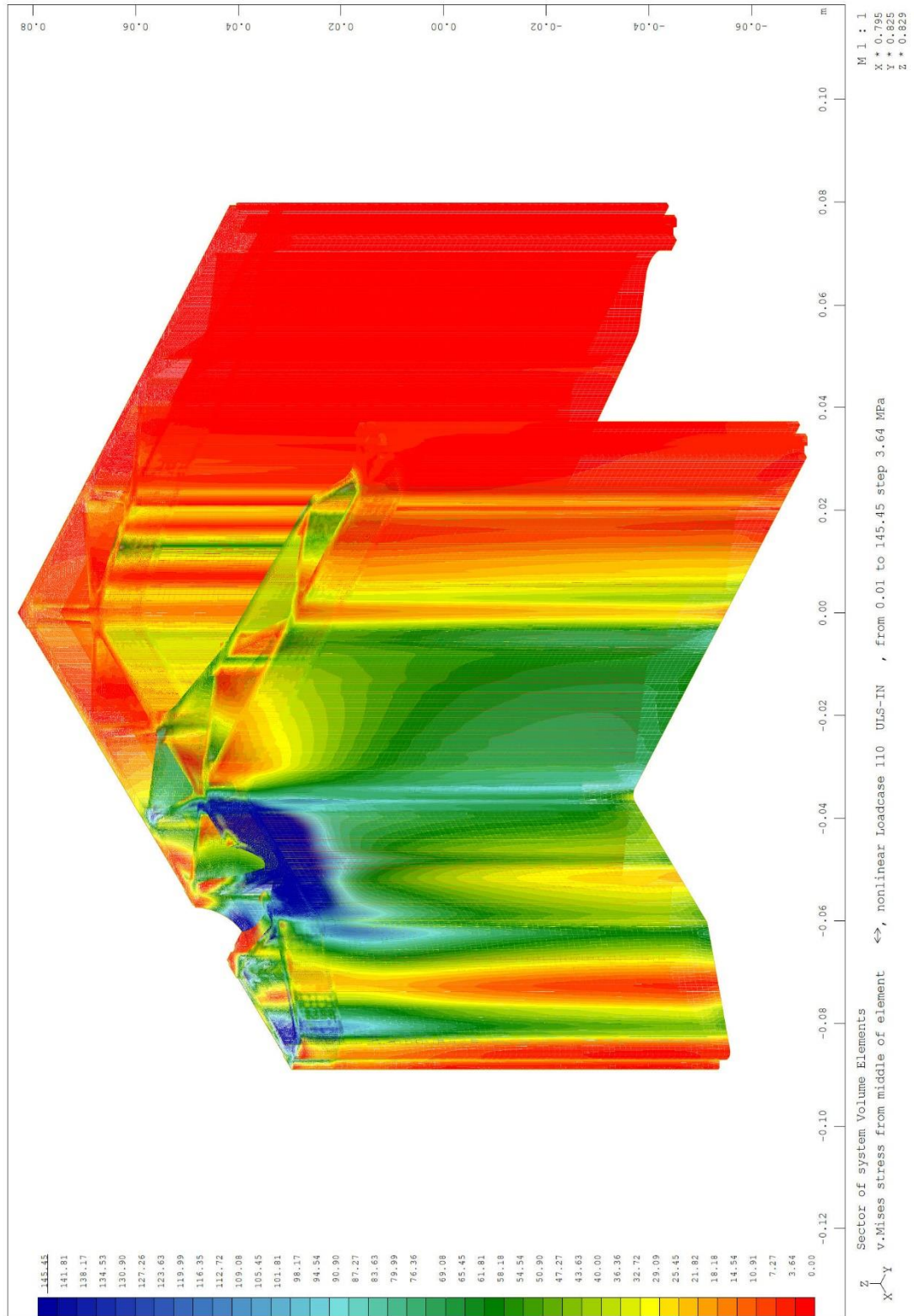


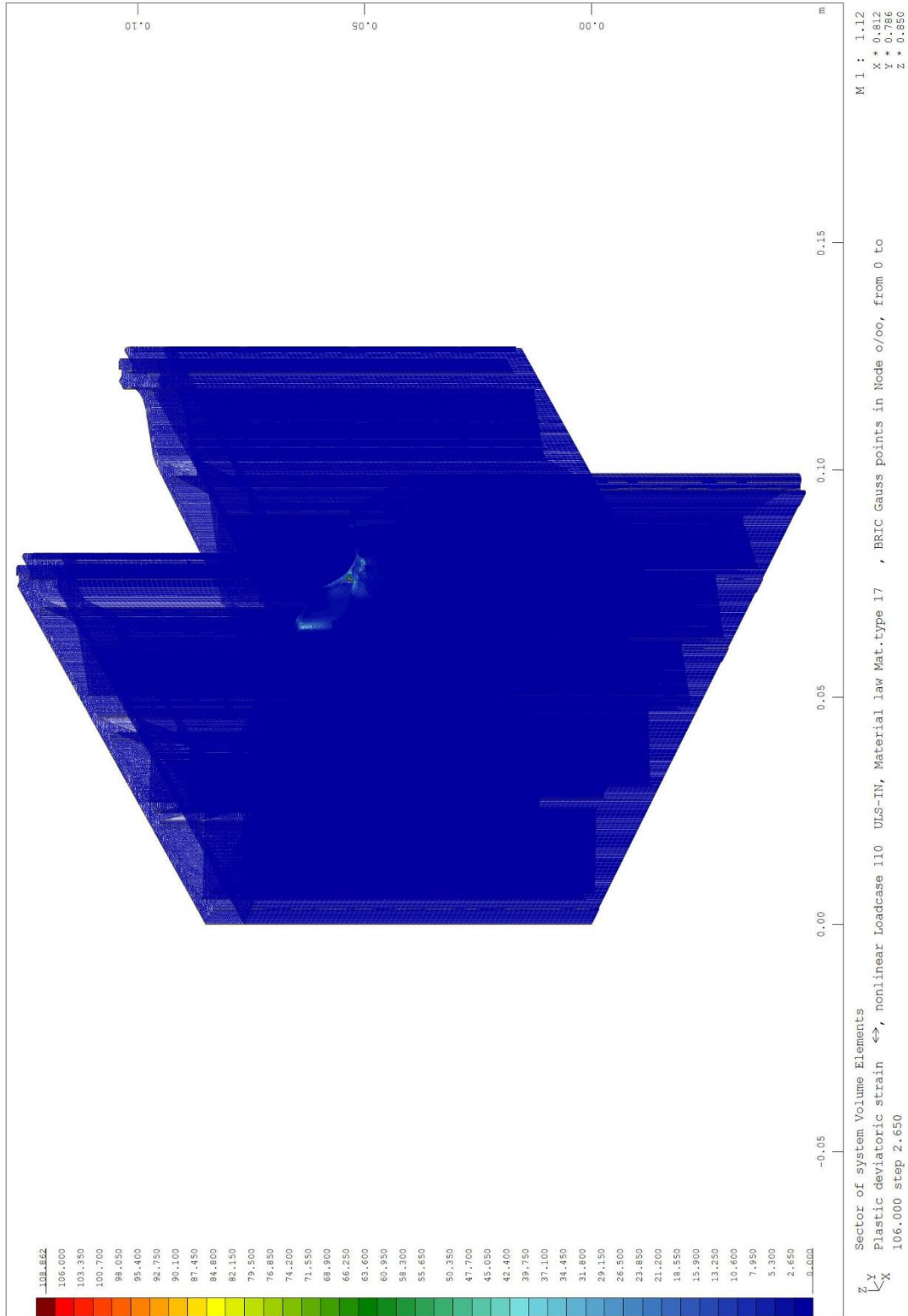


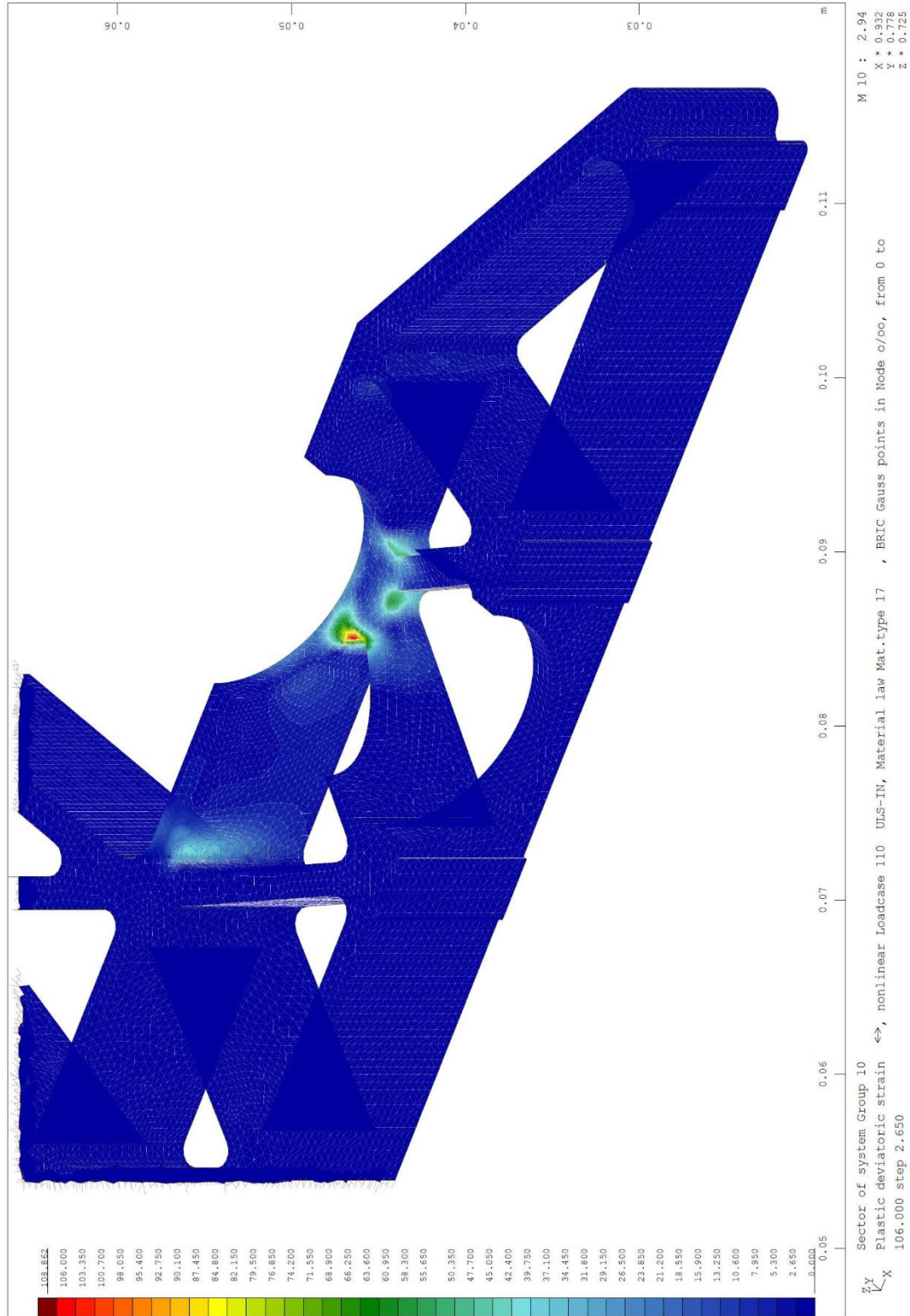












Die maximal zulässige plastische Dehnung ist nur sehr lokal im spitzen Anschnittbereich am Loch knapp überschritten. Dies kommt zum einen aus der lokalen Lasteinleitung dort an der Spitze bzw. auch numerisch aus der geringeren Elementqualität dort aufgrund verzerrierter Elementgeometrie.

Die Lastverformungskurve (siehe Kapitel 4.2.2) zeigt, dass am Auswertzeitpunkt von ULS am Gesamtsystem noch einige Reserven vorhanden sind und dass global gesehen die maximale Tragfähigkeit des Profils gar noch nicht erreicht ist. Das Profil ist daher für die gewählte maximale aufnehmbare Last im ULS statisch nachgewiesen.